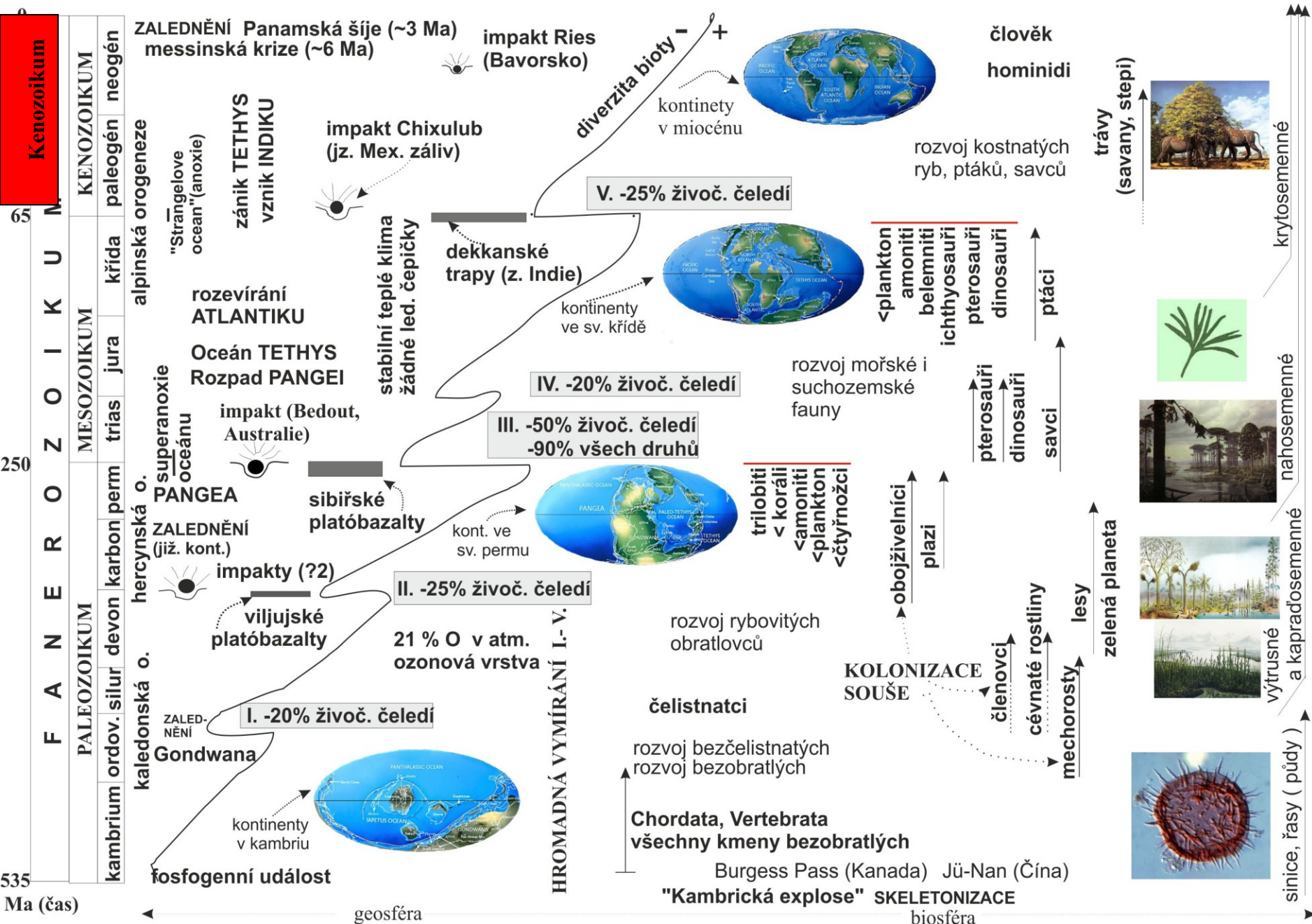


Biotické krize a globální ekosystémy v historii Země – část IX.

Kenozoikum

Rostislav Brzobohatý

výběrovka 2019



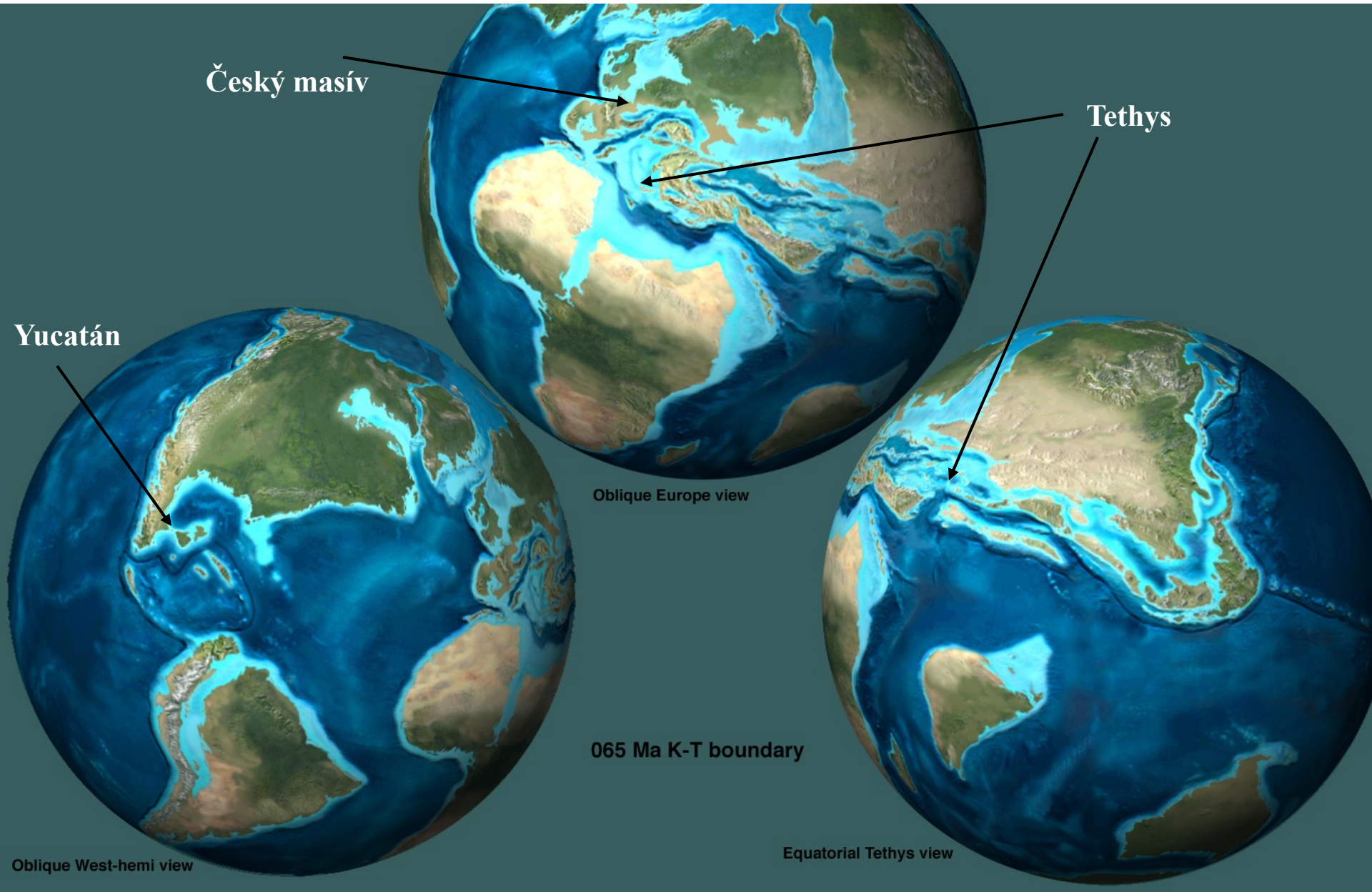
KENOZOIKUM (65-0 Ma)

- Globální ekosystém se od mesozoického výrazně liší
- Nehledě na výkyvy – postupné ochlazování => ostrá klimatická pásma, první známky zalednění – tání – vznik psychrosféry (<10 st.C)
- Pokračuje rozpínání oceánského dna – pohyb litosf. desek – pásemná pohoří – vrcholí alpinská orogeneze
- Nové oceánské proudy (cirkumantarktický) a změny směru
- V závěru období zalednění – kontinentální ledovce a s tím související migrace flóry a fauny

Uvolnění životních prostor v oceánech i na kontinentech po K/T krizi = explozivní rozvoj nových skupin organizmů především III. moderní fauny během paleogénu a neogénu v mořích a nových skupin na souši:

- oceánský plankton (nanoplankton, foraminifera, radiolária, rozsivky, silikoflageláti)
- nové hlubinné společenstvo bentické fauny
- žraloci a kostnaté ryby (zcela nahradili biologicky hlavonožce)
- savci (země, voda, vzduch), diferenciace podle kontinentů (Austrálie - < vačnatci) Jižní Amerika (< vačnatci, chudozubí, starobylí kopytníci), Afrika, Eurasie (< ostatní + rozvoj primátů), v závěru období vynoření hominidů a dominance rodu *Homo*
- ptáci
- ve spolupráci s nimi rozvoj kryptosemenné flóry (kvetoucí rostlinstvo,)

Paleogeografie z pohledu polokoulí, hranice K/T

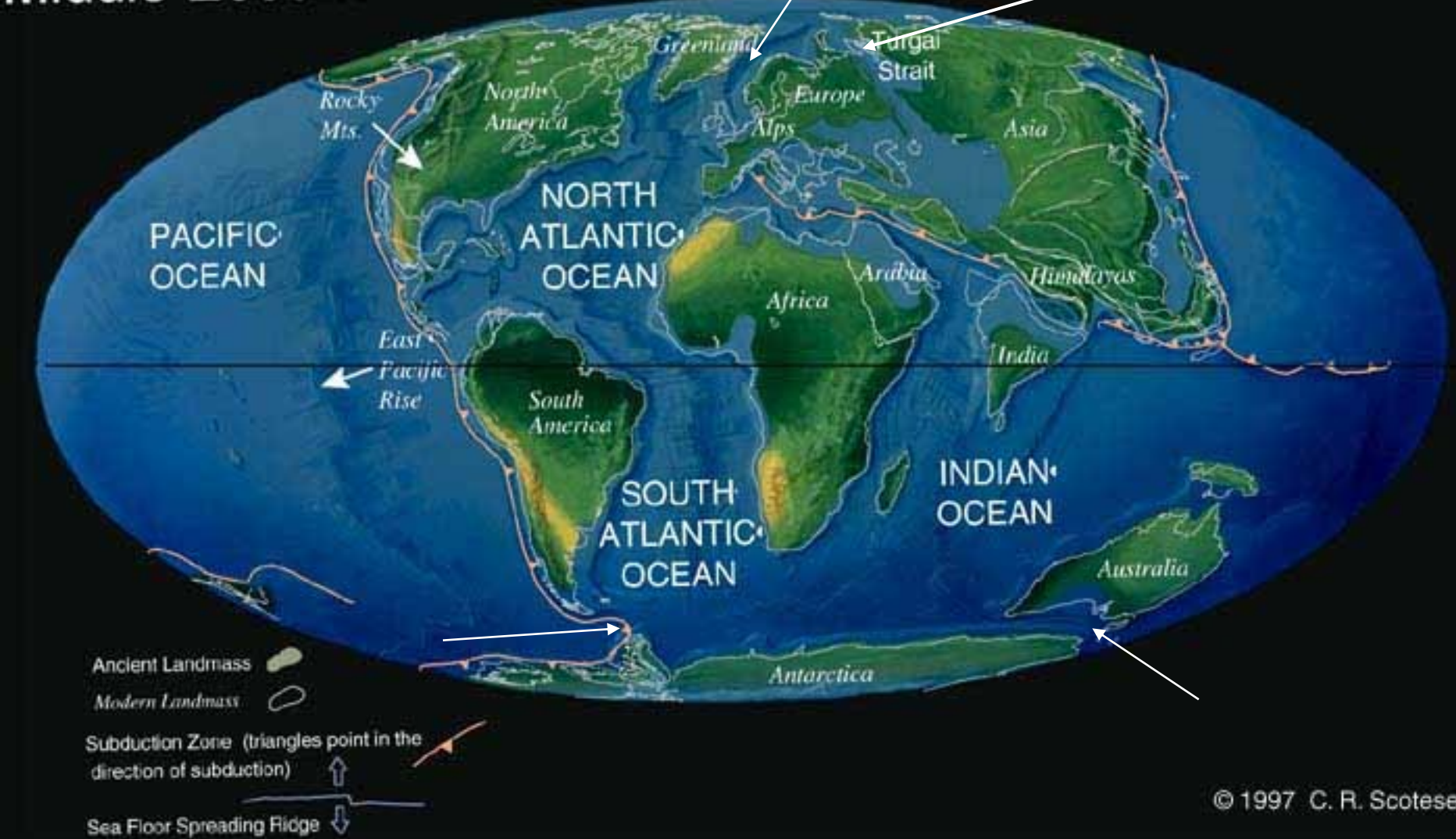


Paleogeografie středního eocénu

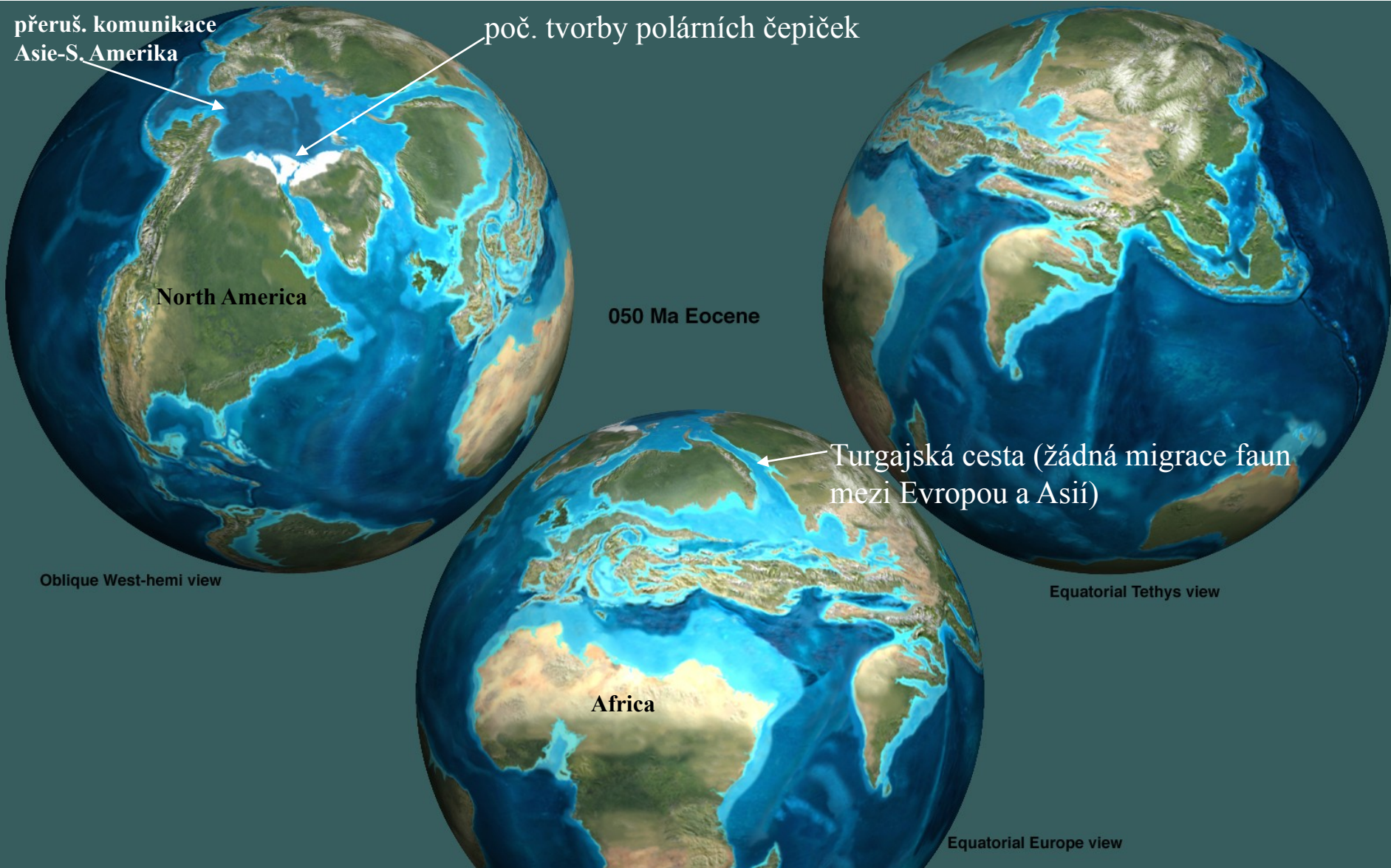
Middle Eocene 50.2 Ma

rozevírání Severního moře

Turgajská cesta

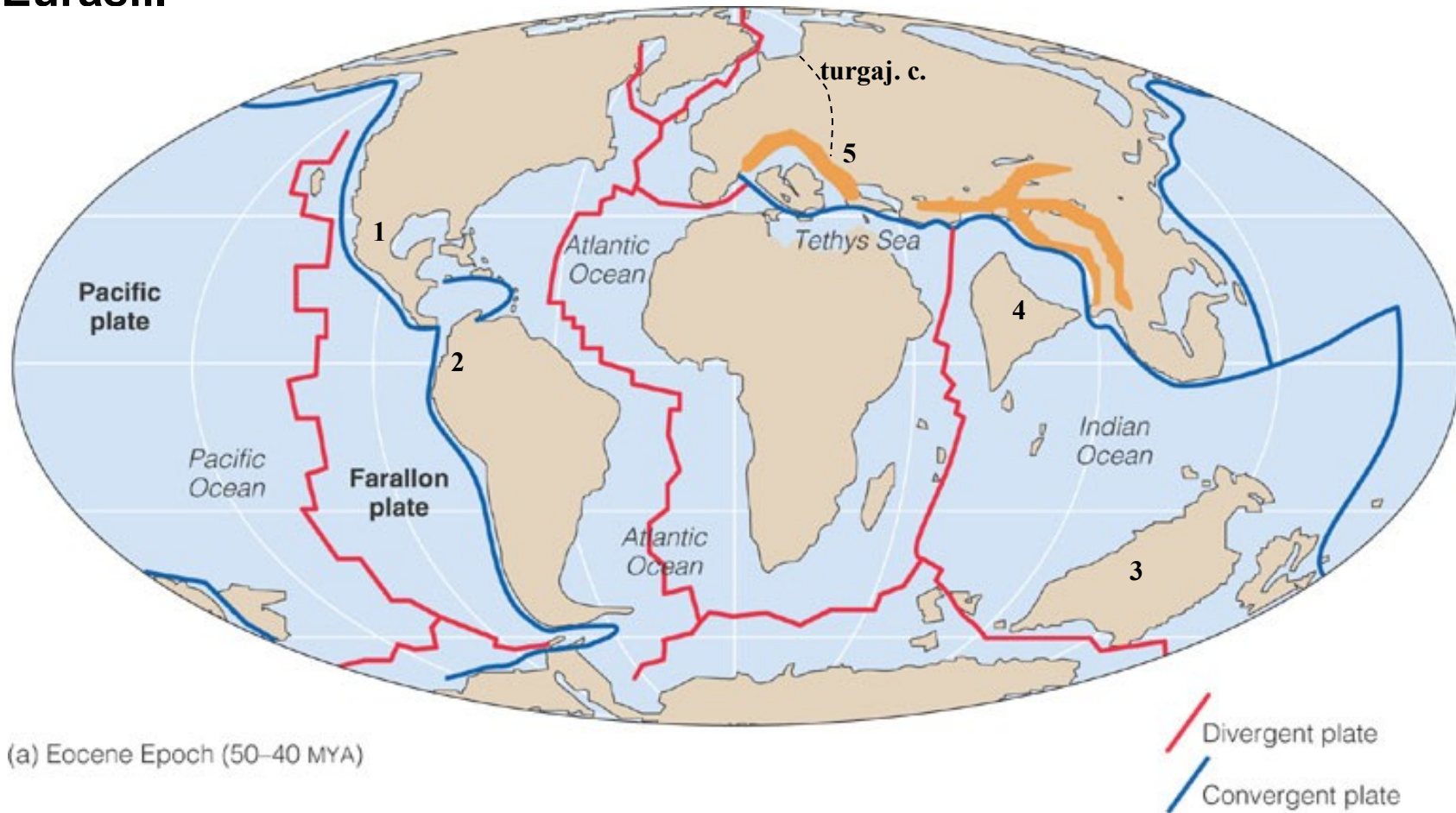


Pohled na polokoule v eocénu (koncem eocénu výrazné snížování teploty, sezónnost, jižní kontinenty volné, severní moře (Grónsko-Norsko) = mísení studených a teplých vod v oceánech

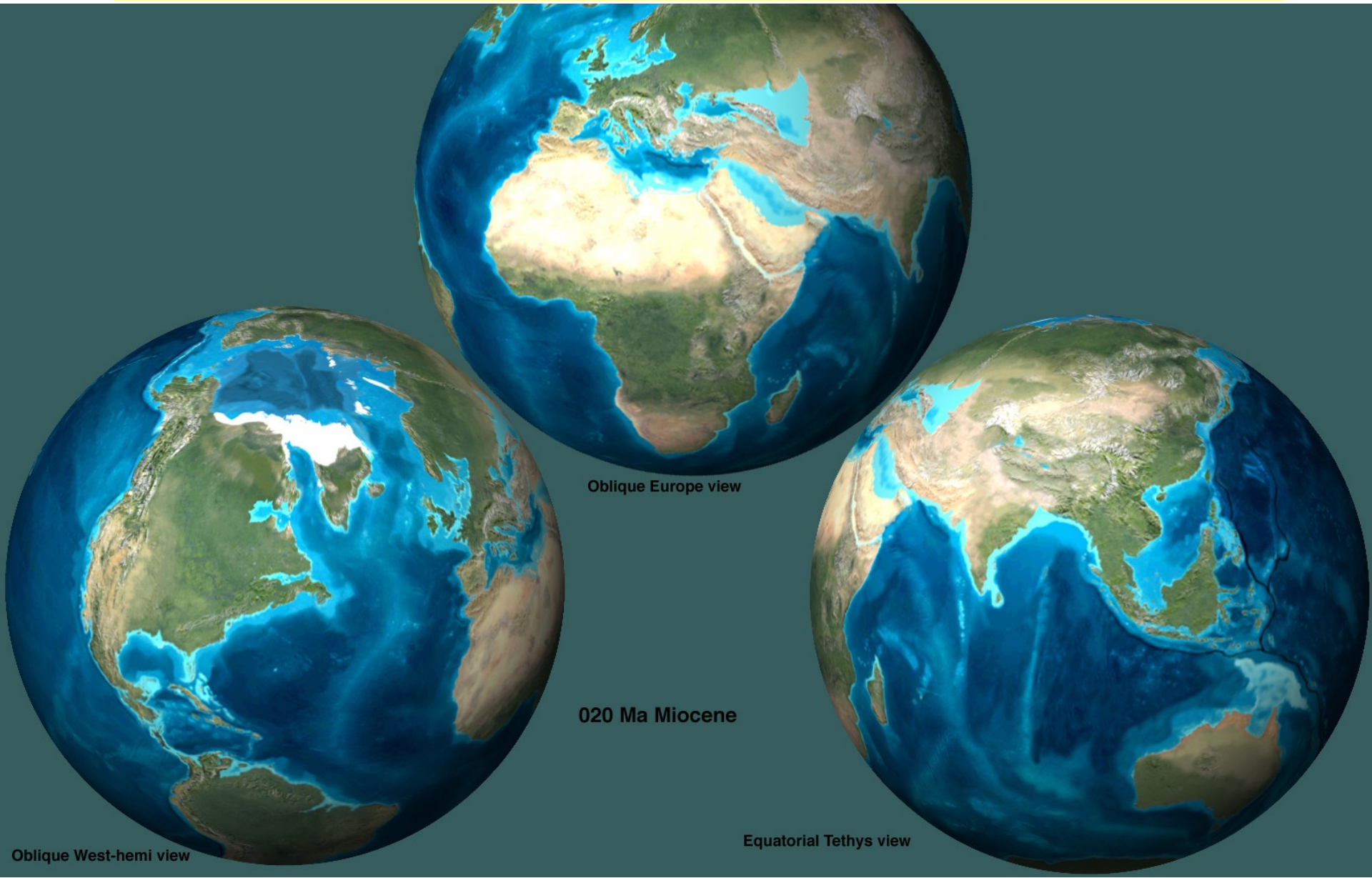


Kenozoická desková tektonika

- V eocénu byla Amerika (1-2) kompletně separována, Austrálie (3) se oddělila od Antarktidy, Indie (4) ležela jako ostrov v Indiku. Jižní Amerika a Antarktida jsou ještě téměř spojeny. Alpinské vrásnění (5) v Eurasii.



Pohled na polokoule ve spodním miocénu (Antarktida je pod ledem,
na jihu Afriky a J. Ameriky vzniká tundra, severní tundra je pozdější-
pliocénní)



Paleogeografie ve středním miocénu

Middle Miocene 14 Ma

Paratethys

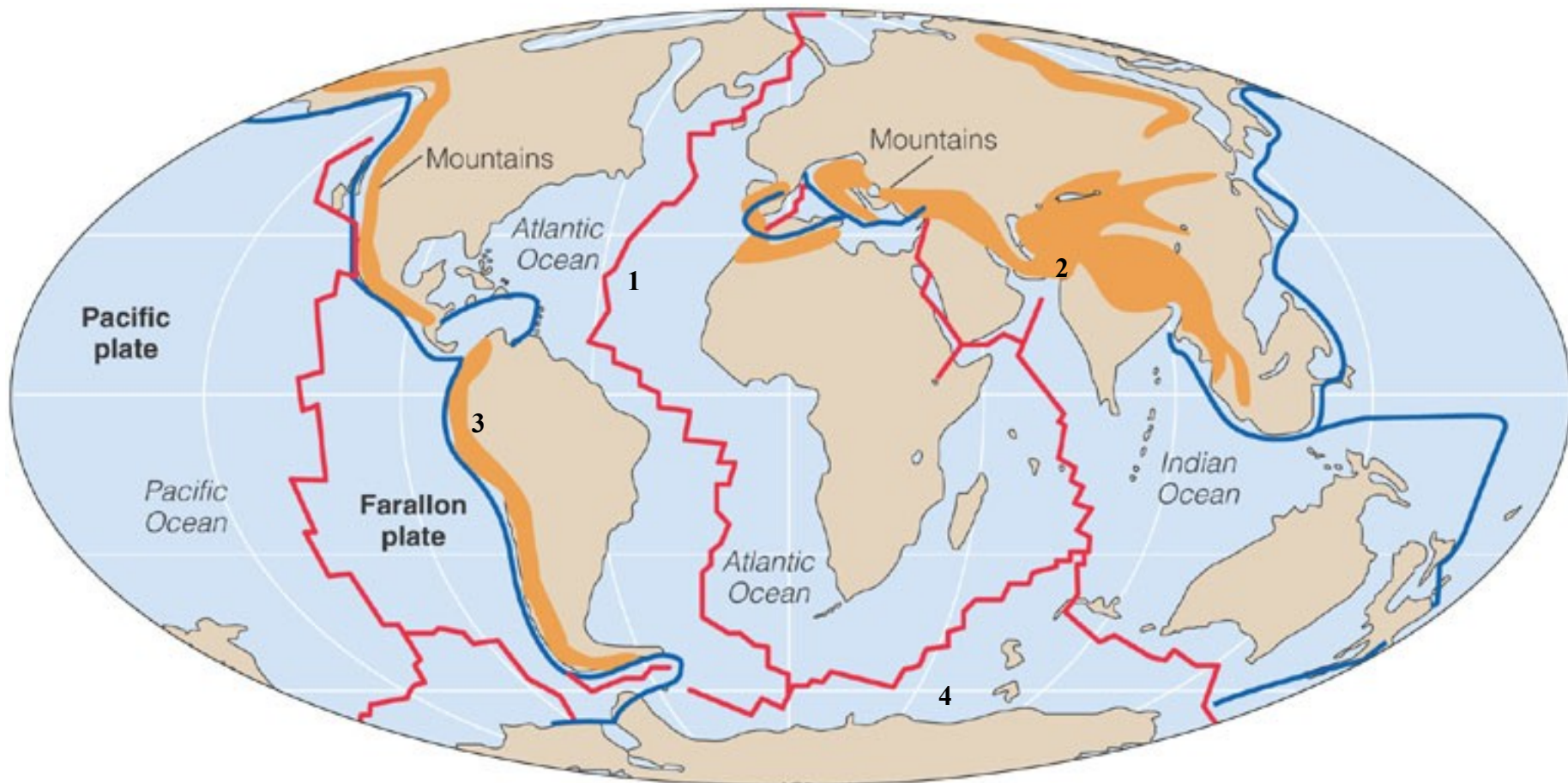


Subduction Zone (triangles point in the direction of subduction)

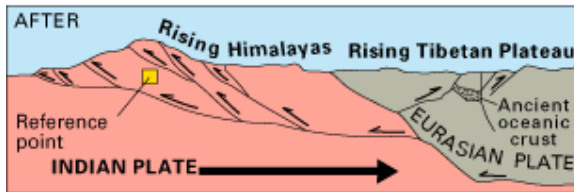
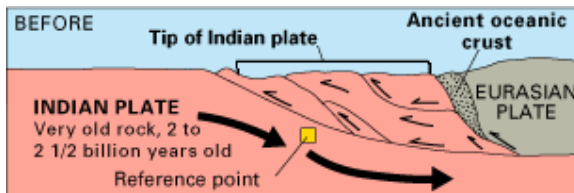
Sea Floor Spreading Ridge

- Během miocénu: Atlantik (1) se kontinuálně rozširoval, Indie i arabská deska (2) kolidovala s Eurasíí = vrcholí alpinská orogeneze (dtto záp. J. a S. Ameriky) (3)

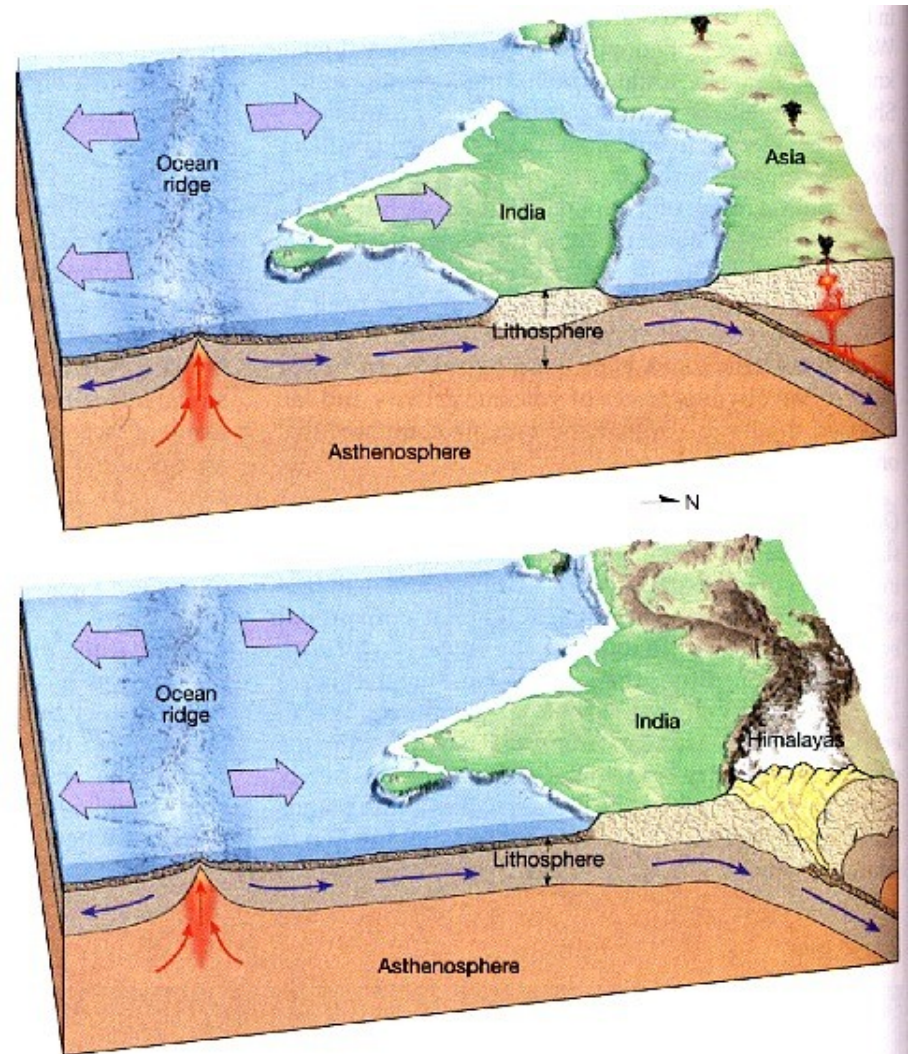
Cirkumantarktická cesta (4) byla plně otevřená (studený proud) => rozširování antarktického kontinentálního ledovce



(b) Miocene Epoch (25–15 MYA)



Model kolise indické a eurasijské desky



from: <http://www.geo.lsa.umich.edu/~crlb/COURSES/270>

Impakty

Impact ejecta at the Paleocene-Eocene boundary

Morgan F. Schaller,^{1*} Megan K. Fung,¹ James D. Wright,²
Miriam E. Katz,¹ Dennis V. Kent^{2,3} - Science 354 (2016)

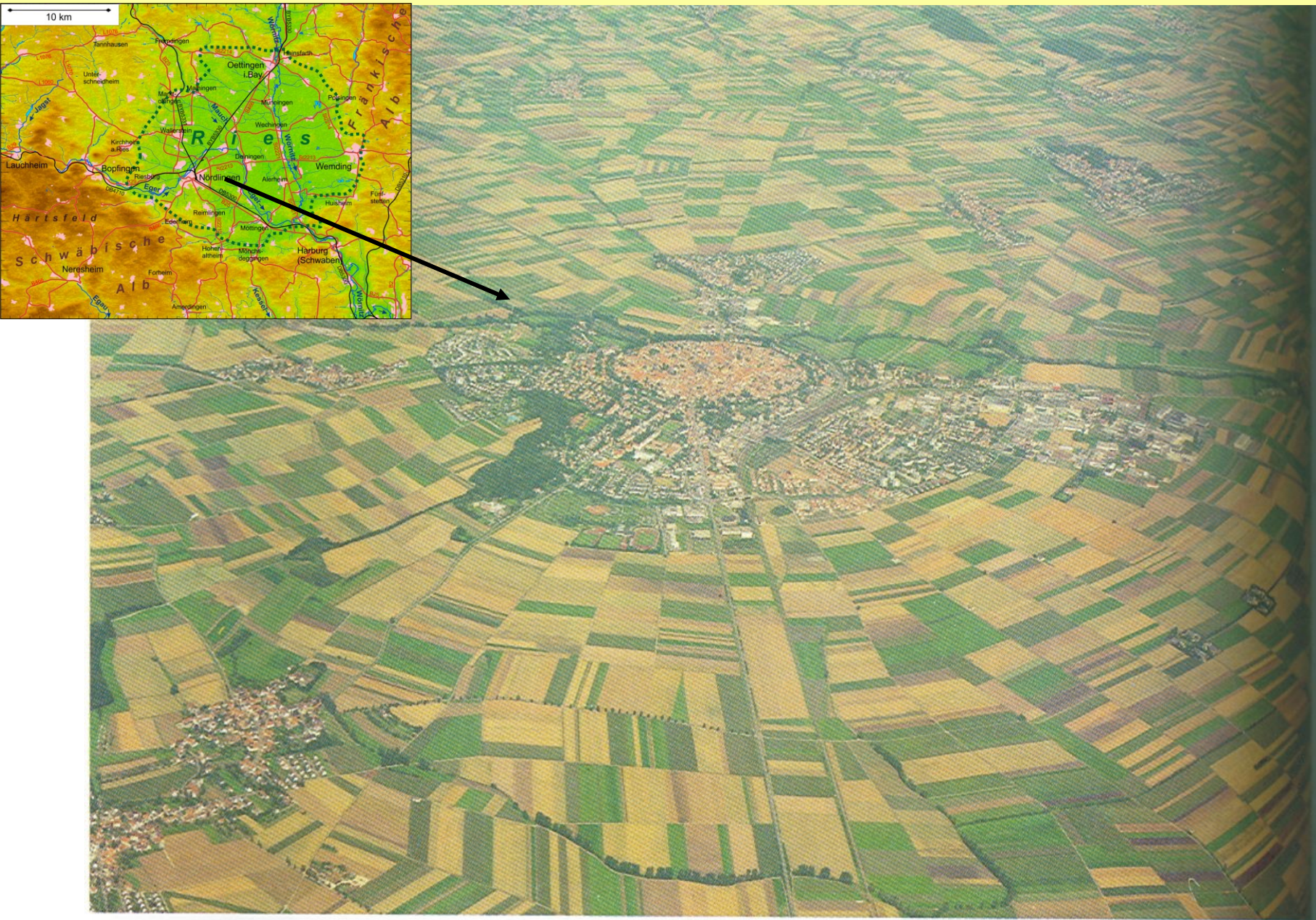
Extraterrestrial impacts have left a substantial imprint on the climate and evolutionary history of Earth. A rapid carbon cycle perturbation and global warming event about 56 million years ago at the Paleocene-Eocene (P-E) boundary (the Paleocene-Eocene Thermal Maximum) was accompanied by rapid expansions of mammals and terrestrial plants and extinctions of deep-sea benthic organisms. Here, we report the discovery of silicate glass spherules in a discrete stratigraphic layer from three marine P-E boundary sections on the Atlantic margin. Distinct characteristics identify the spherules as microtektites and microkrystites, indicating that an extraterrestrial impact occurred during the carbon isotope excursion at the P-E boundary.

We hypothesize that the rapid onset of the carbon isotope excursion (CIE) at the Paleocene/Eocene boundary (V55 Ma) may have resulted from the accretion of a significant amount of ¹²C-enriched carbon from the impact of a V10 km comet, an event that would also trigger greenhouse warming leading to the Paleocene/Eocene thermal maximum and, possibly, thermal dissociation of seafloor methane hydrate. Indirect evidence of an impact is the unusual abundance of magnetic nanoparticles in kaolinite-rich shelf sediments that closely coincide with the onset and nadir of the CIE at three drill sites on the Atlantic Coastal Plain. After considering various alternative mechanisms that could have produced the magnetic nanoparticle assemblage and by analogy with the reported detection of iron-rich nanophase material at the Cretaceous/Tertiary boundary, we suggest that the CIE occurrence was derived from an impact plume condensate.



**Popigaj – Sibiř, Rusko, impakt 35.7 ± 0.2 Ma, svrchní eocén,
prům. impaktu cca 8 km, prům. kráteru = 100 km**

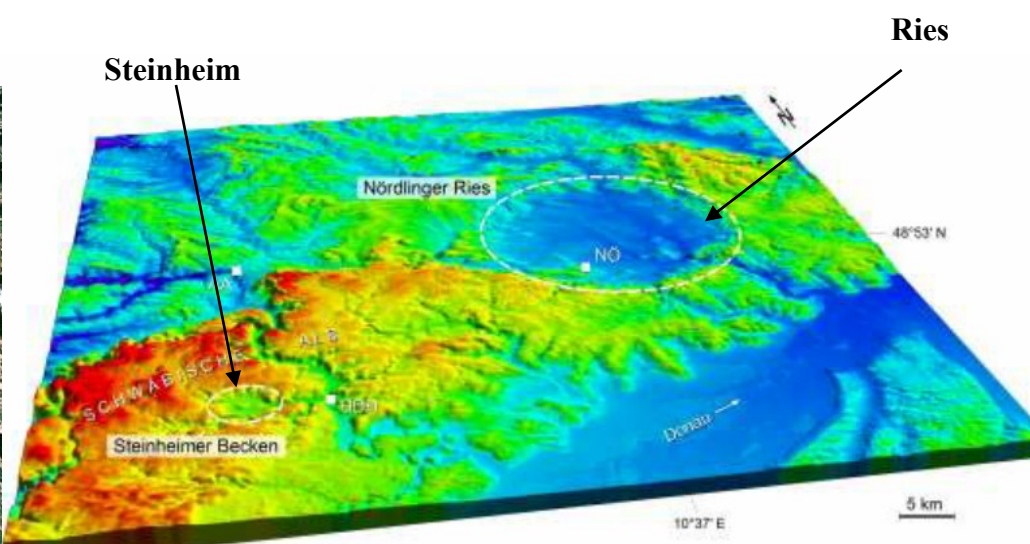
Městečko Nördlingen v kráteru Ries (Bavorsko), impakt před 14,9 miliony let, vltavíny



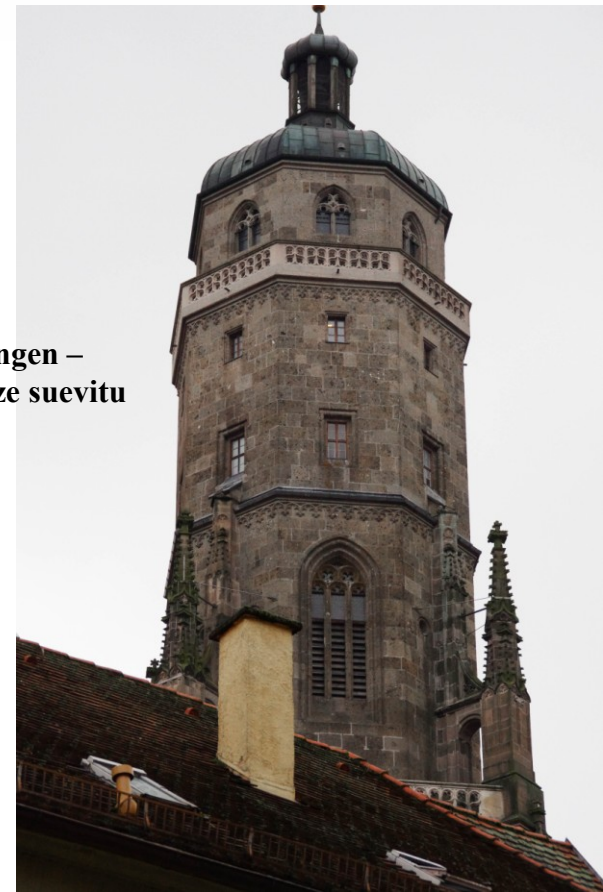
Meteteorit o průměru více než 500 m vytvořil kráter Ries (hradec) 22 km. Druhý významný je kráter v Nördlingen.

---- a bližší pohled



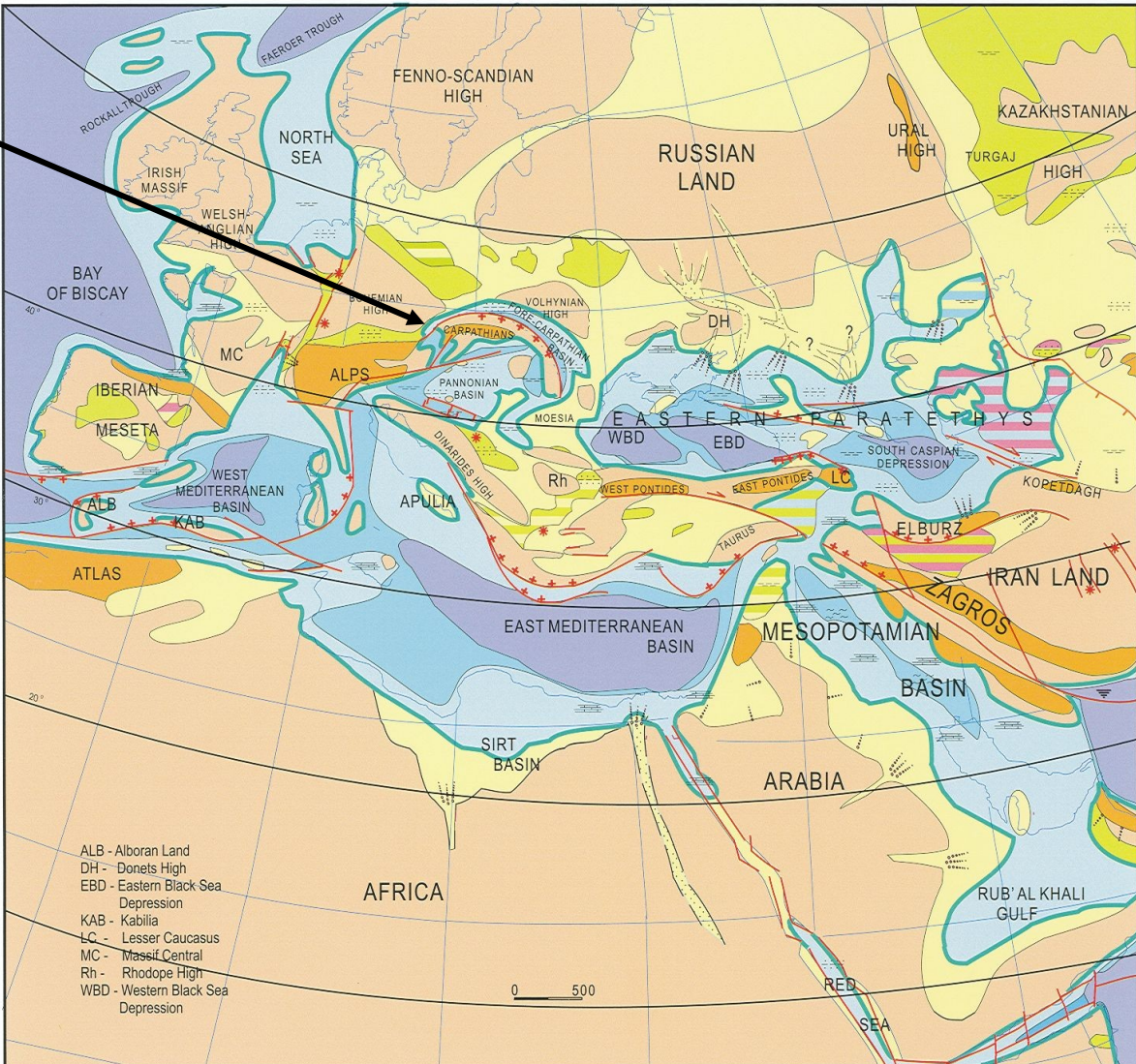


Suevit – roztavený a utuhlý horninový materiál po impaktu



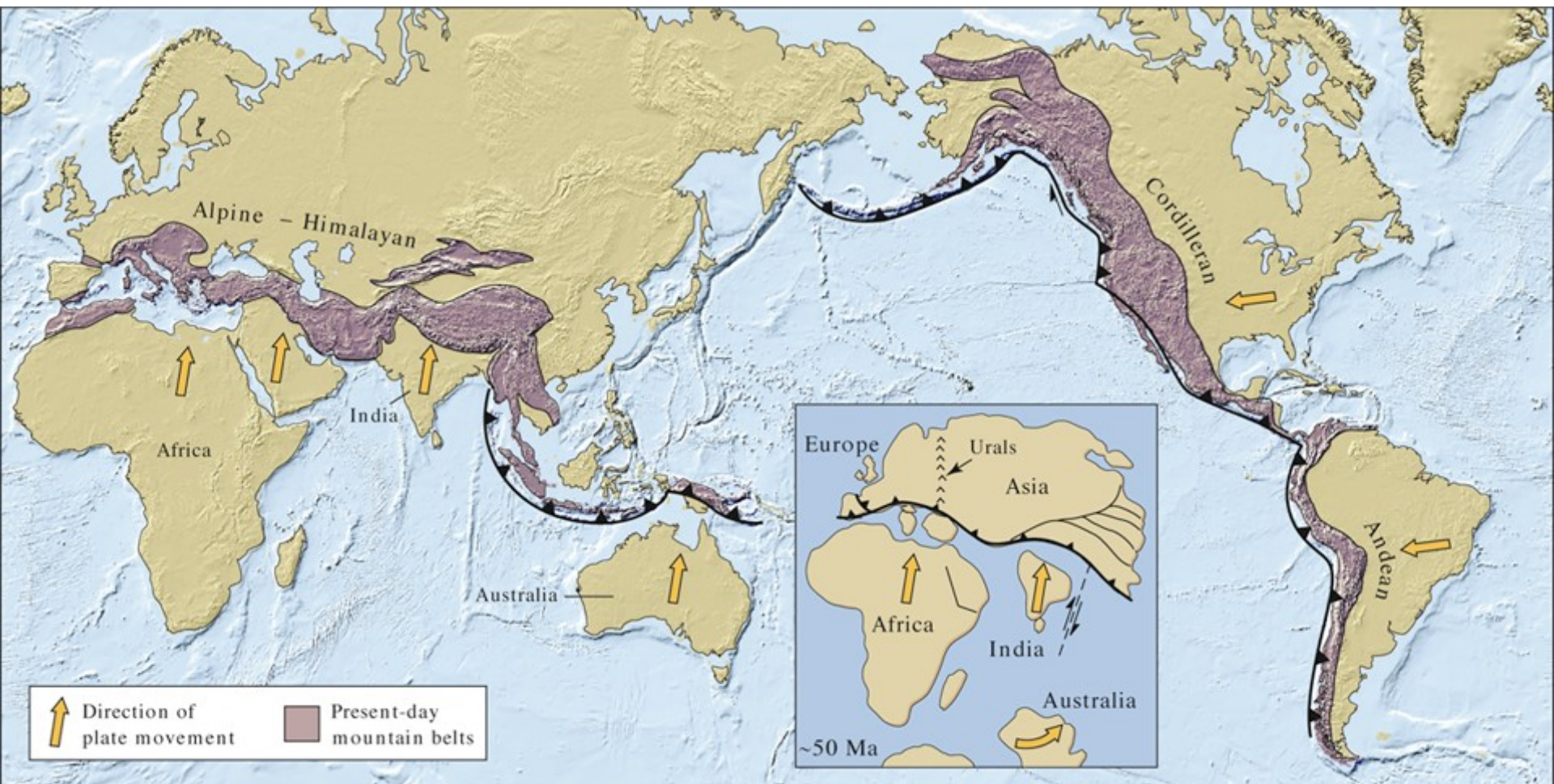
Paleogeografie mediteránní oblasti a Paratethys ve středním miocénu

J. Morava



Paleontological Institute RAS, Moscow

Orogény v neogénu



Messinská krize (kombinace klima/tektonika):

- Během posledních 20 Ma:
 - Arabská deska narází na eurasiskou, blokuje spojení Středozemní oblasti s Indikem
 - Mediterrán se stává epikontinentálním mořem spojeným úzkým průlivem jen s Atlantikem
 - I toto spojení se periodicky uzavírá vlivem posunu africké desky k severu
 - ~ 6,0 - 5,5 Ma = úplné uzavření Gibraltaru vede k vysušování mediterránní oblasti, popř. opakované vysoušení a zaplavování
 - 4,8 Ma návrat mořského režimu prostřednictvím Gibraltaru

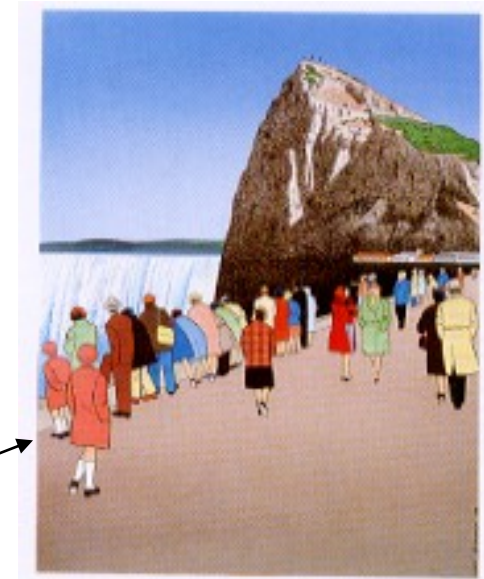
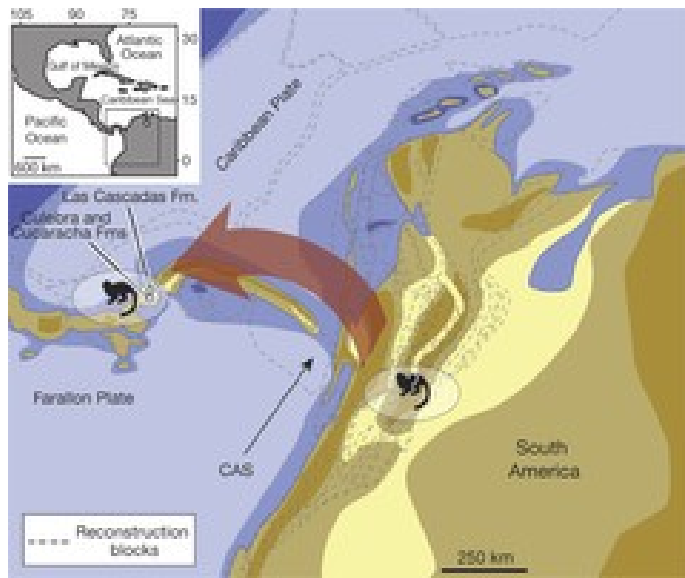


Figure 6.14 The Gibraltar Waterfall.
(Artist: Guy Billout.)

100 x větší než Viktoriiny vodopády

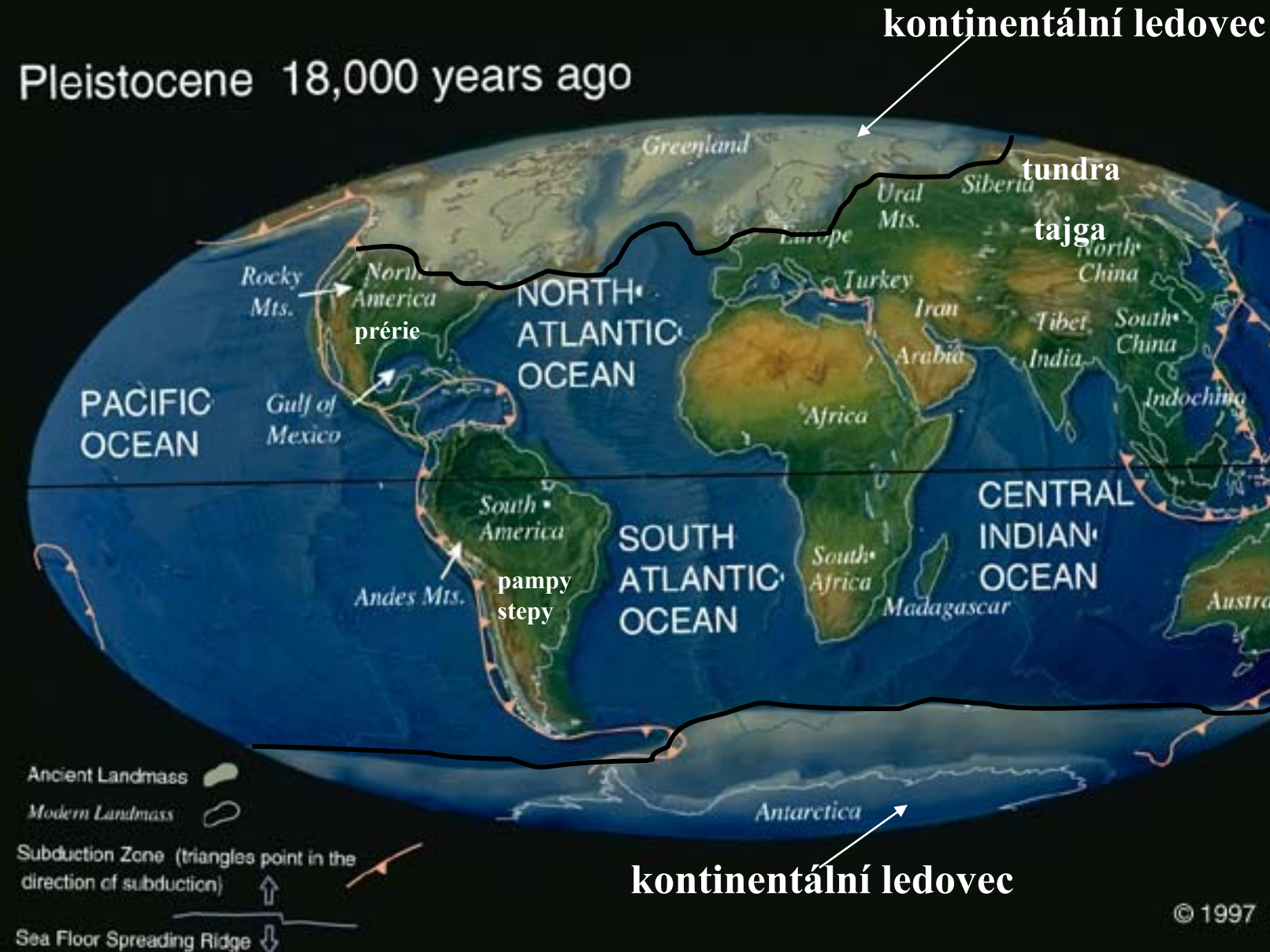


Messin (Medit. oblast)



Doklady propojení S. aj. Ameriky se začínají objevovat již před 10 Ma.

Paleogeografie v pleistocénu

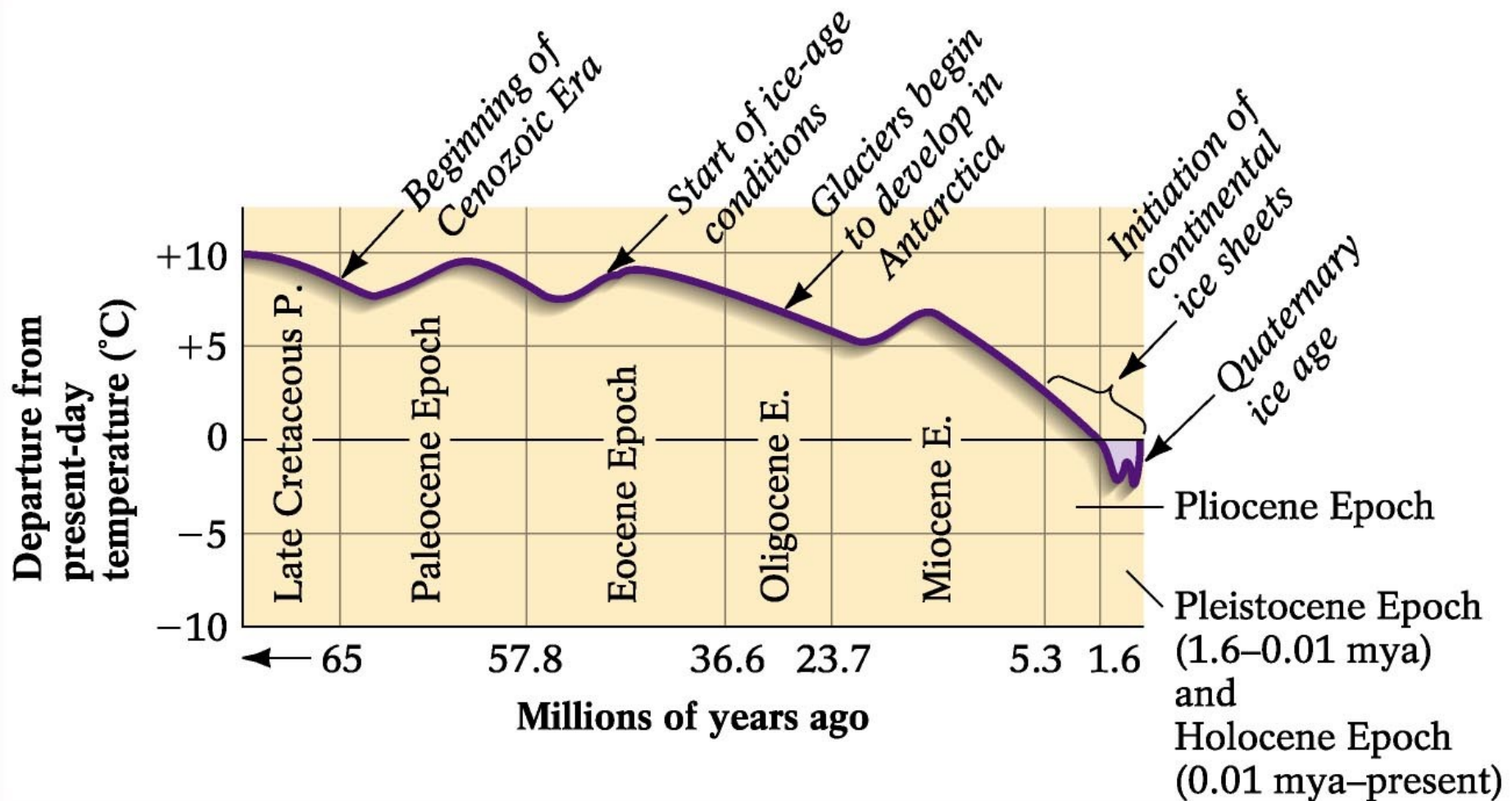


Dnešní obraz planety

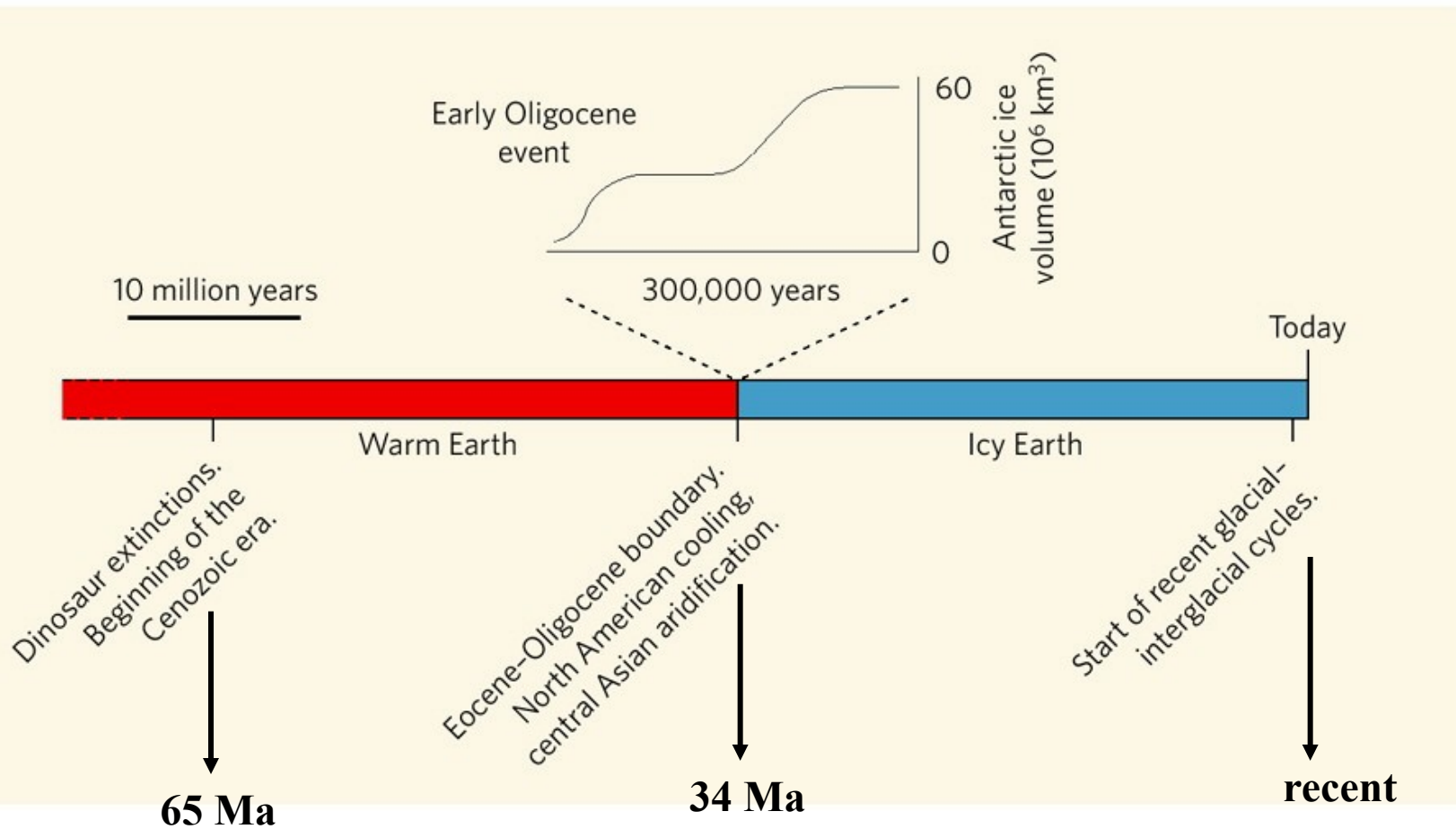
Modern World



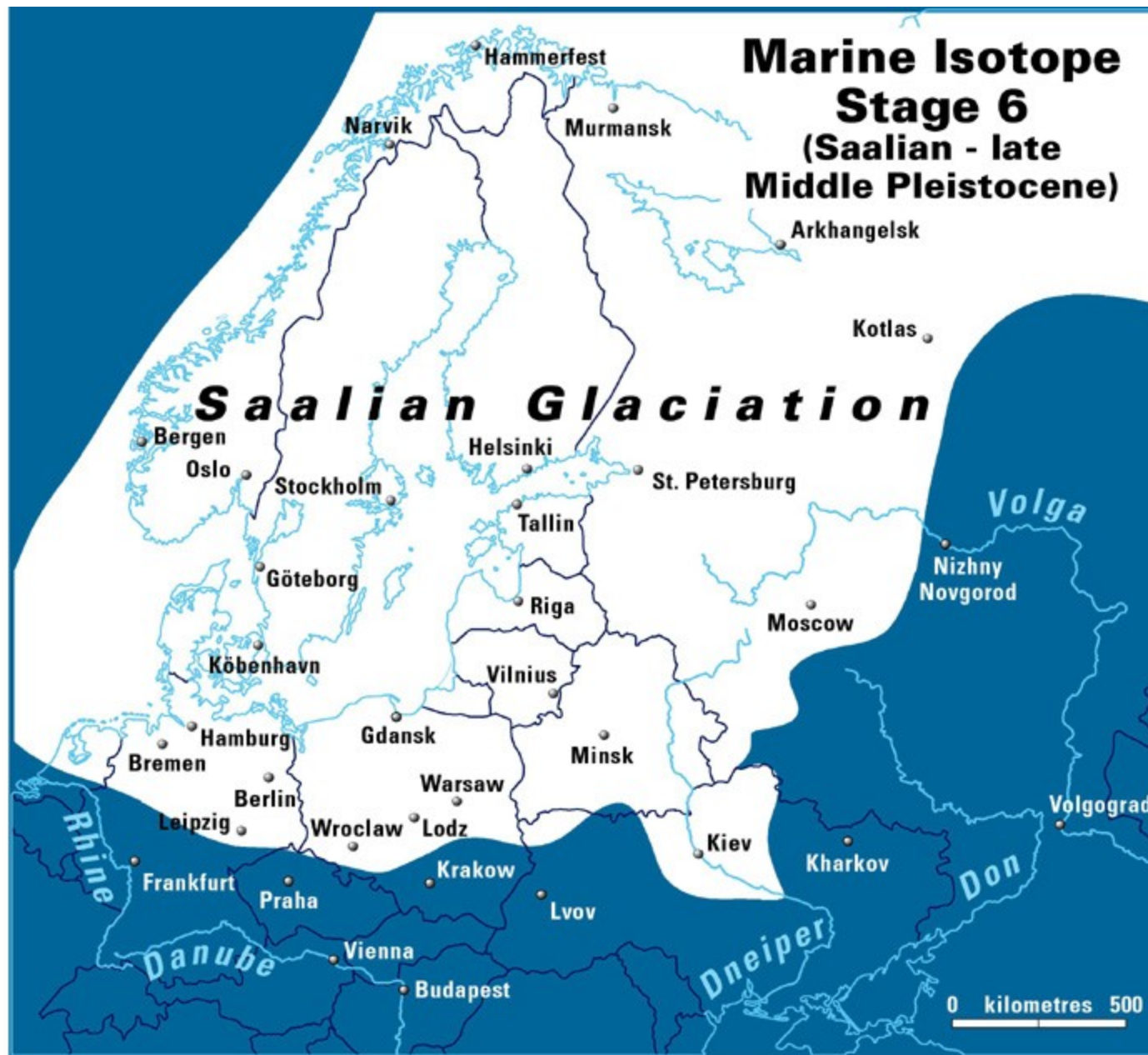
Křivka globálních klimatických změn během kenozoika



Událost na hranici eocén/oligocén – „grand copouře“

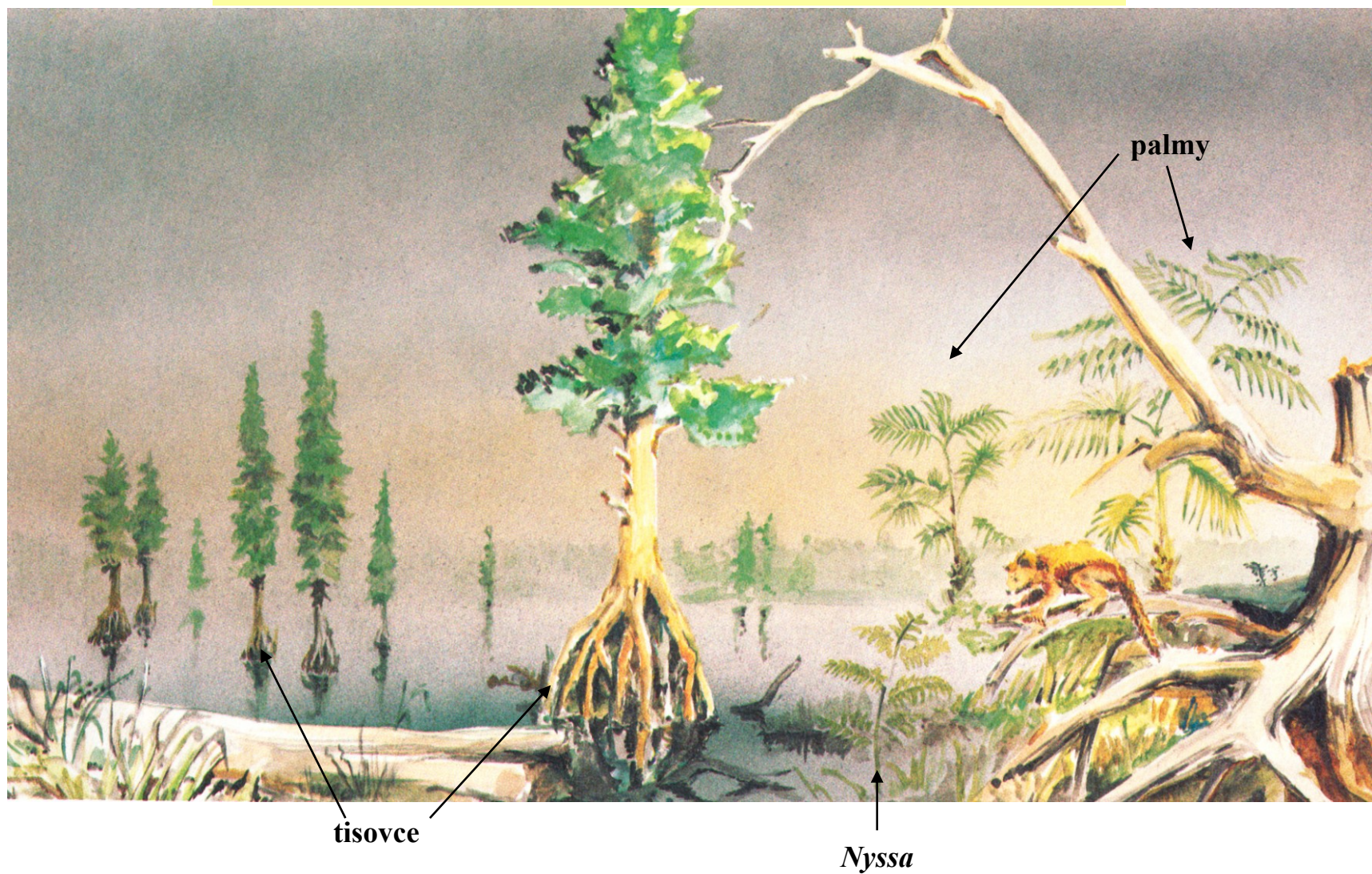


Rozšíření kontinentálního ledovce v Evropě – střední pleistocén



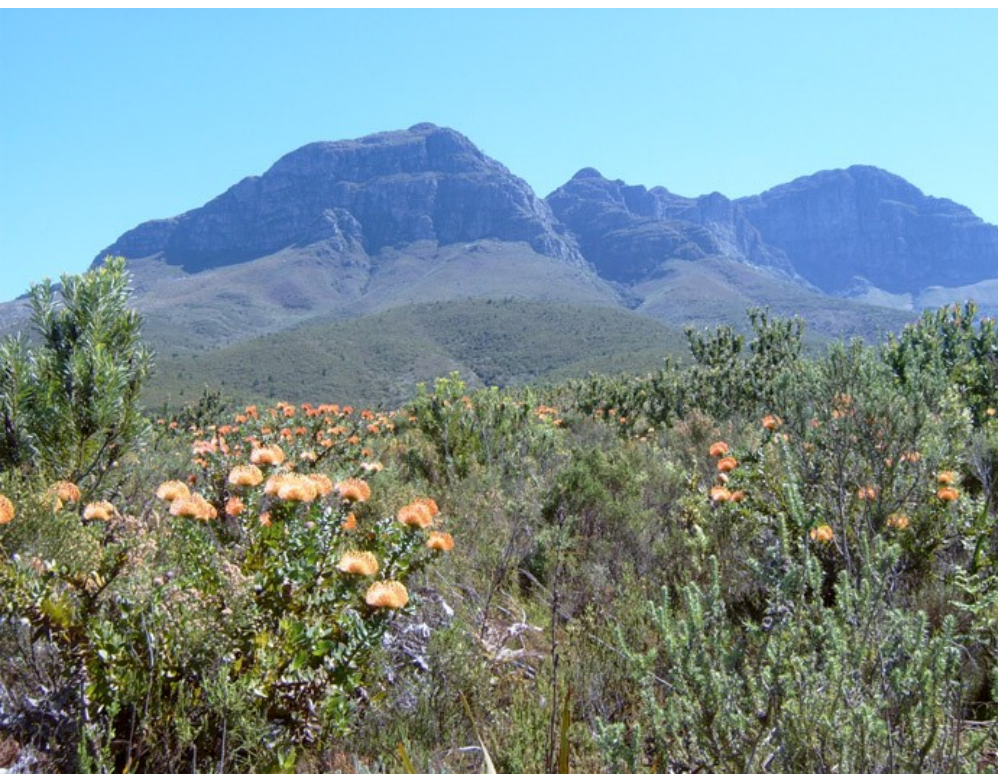
Život v kenozoiku

Bažinaté lesy severní polokoule v eocénu



Fynbos – dnešní porost Jižní Afriky – analog převládající vegetace v oligocénu ?





Fynbos

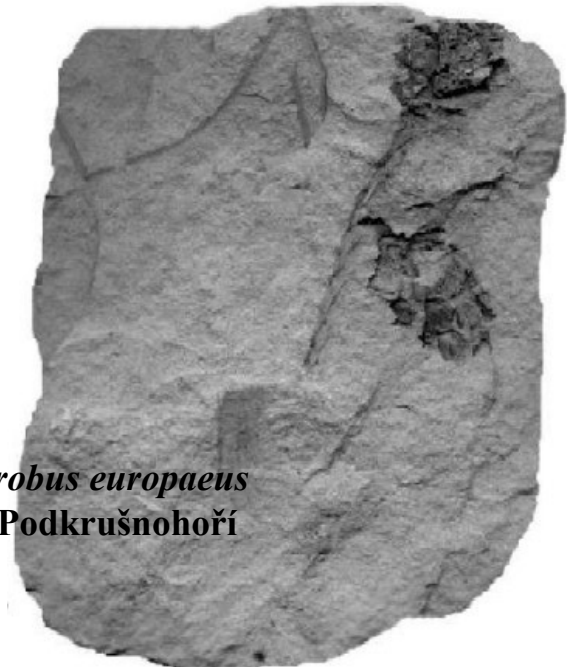
Typičtí zástupci jehličnanů neogénu



Taxodium dubium, neogén, vídeňská pánev



Sequoia affinis, neogén, Kalifornie

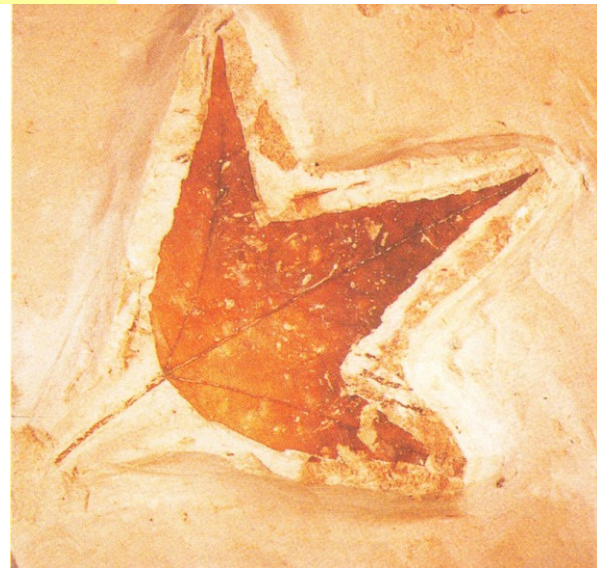


Glyptostrobus europaeus
neogén, Podkrušnohoří

Ukázky flóry kenofytika



Platanus cuneiformis, sv. křída, Kunštát



Acer tricuspidatum, miocén, Bílina



Alnus julianiformis, miocén,
Březno u Chomutova



Comptonia acutiloba,
miocén, Bílina



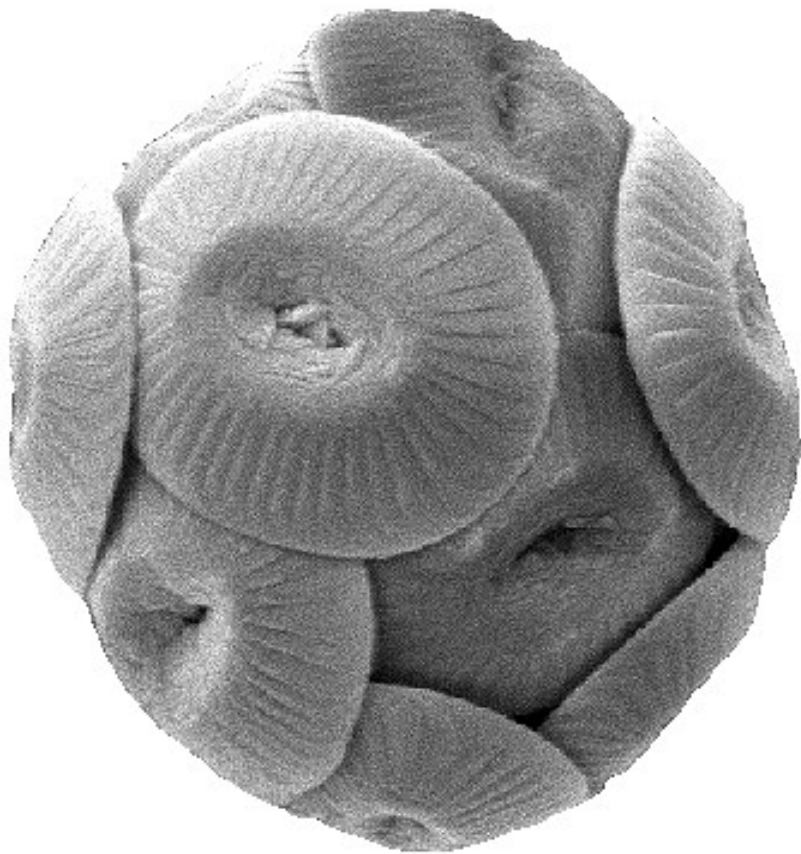
Juglans acuminata
miocén, Mor. N. Ves

Mořský plankton a bezobratlí

- Kokolitky, rosivky, dinoflageláti obnovují po K/T krizi diverzitu – rozvoj fytoplanktonu
- Foraminifera jak planktonní (Globigerinida) tak bentická opět rozrůzňují a hrají i horninotvornou roli (např. numuliti v tethydní oblasti)
- Koráli (Hexacoralla) se stávají dominantní útesotvornou skupinou
- Bivalvia a gastropoda nabírají na četnosti
- Echinoidea evolvují do nových forem, zvyšují svoji diverzitu

Obnovený rozvoj fytoplanktonu:

- Coccolithophyceae – kokolitky
- Silicoflagellata – silikoflageláti
- Bacillariophyceae - rozsivky



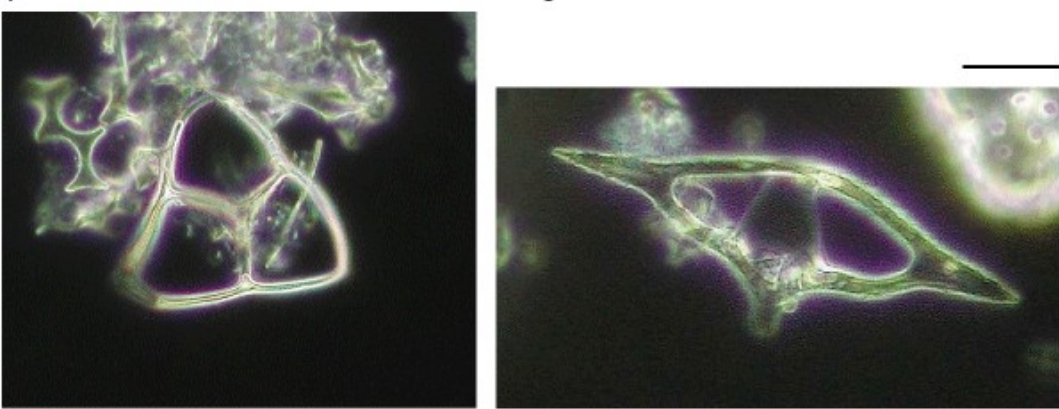
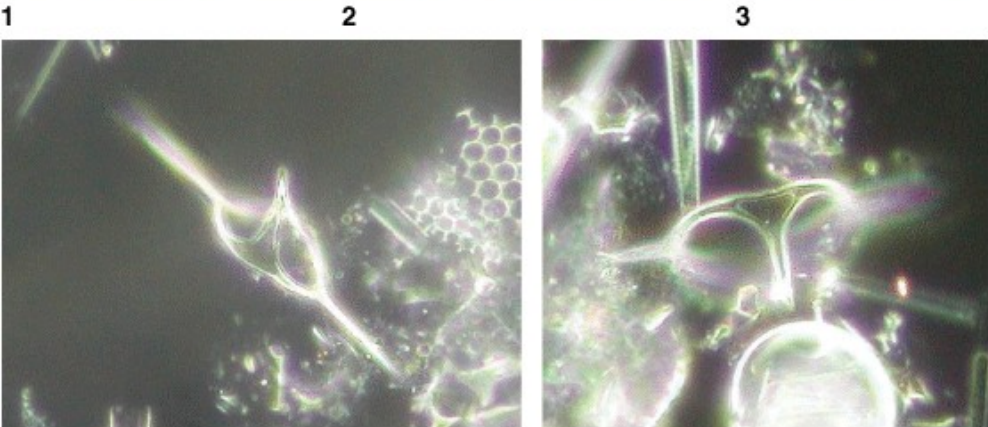
kokosféra

Coccolithus pelagicus, miocén

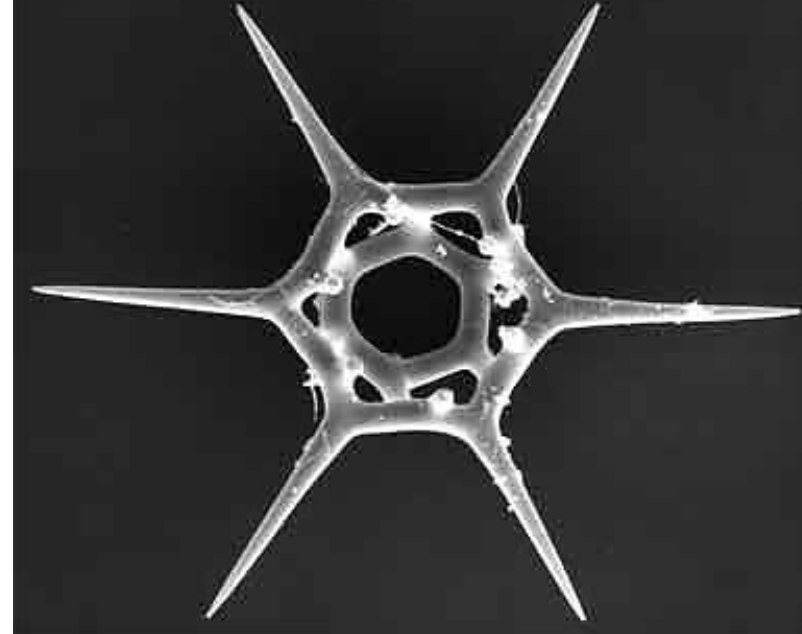
Kokolitky, fytoplankton,
jednobuněční bičíkovci,
kalcifikované šupinky
<kalcit, < autotrofní,
moře



kokolit

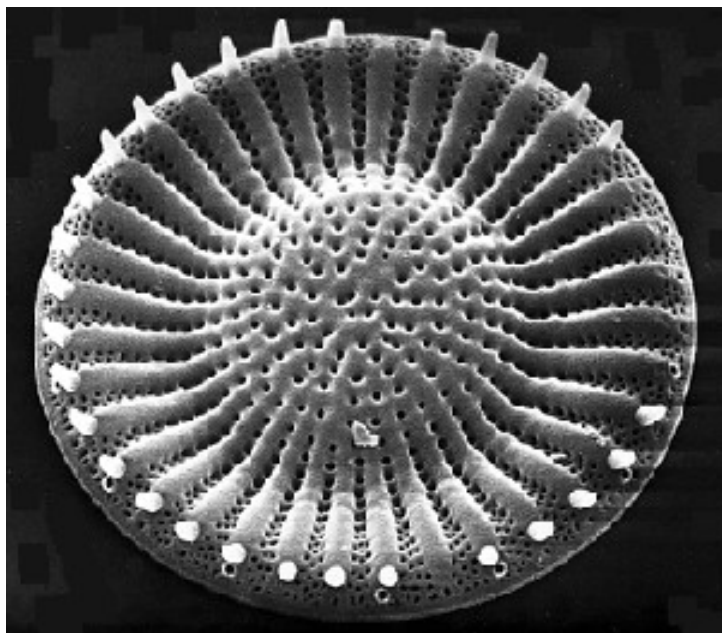
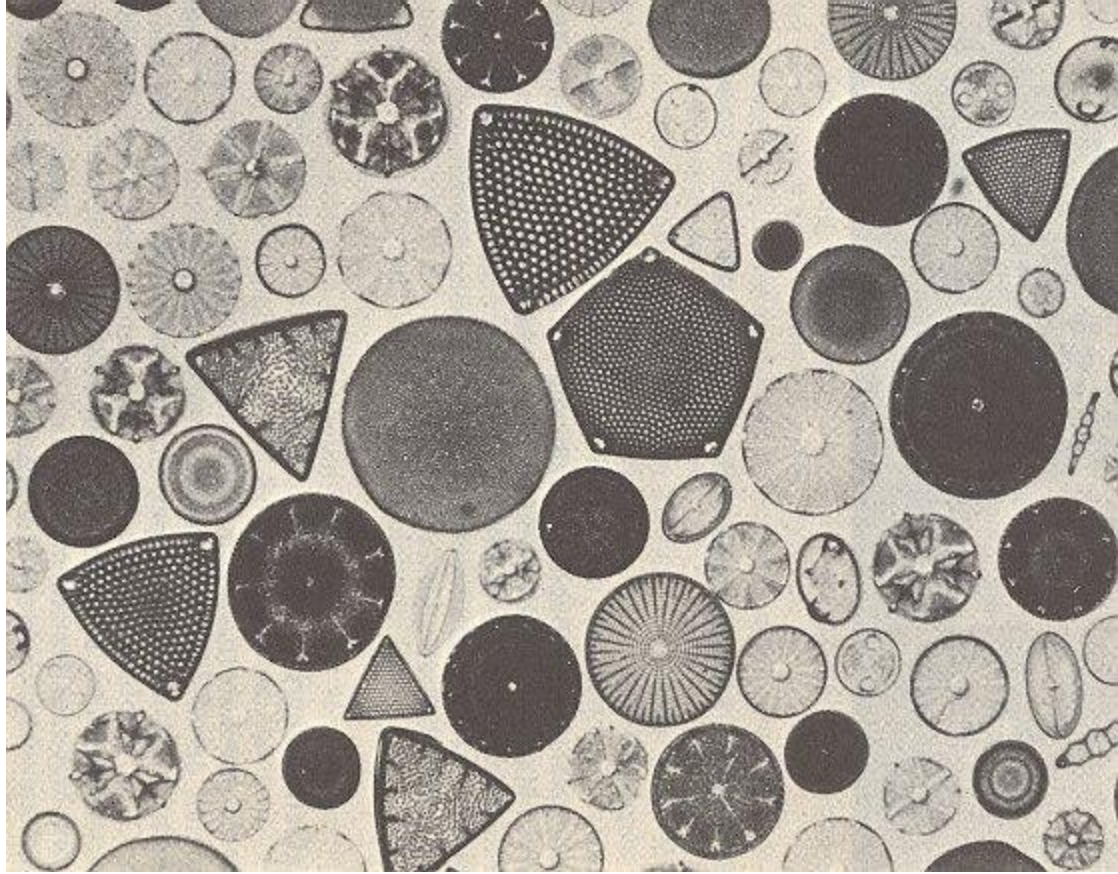
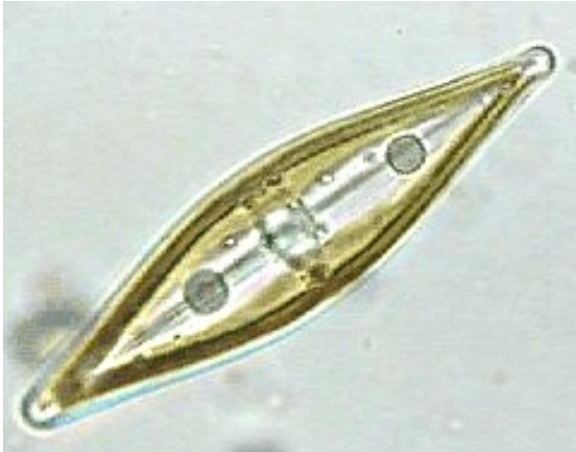


6
7
příklady recentních silikoflagelát



Dictyocha, recent

Silicoflagellata, mořští bičíkovci
fytoplankton
autotrofní,
kostřička z opálu

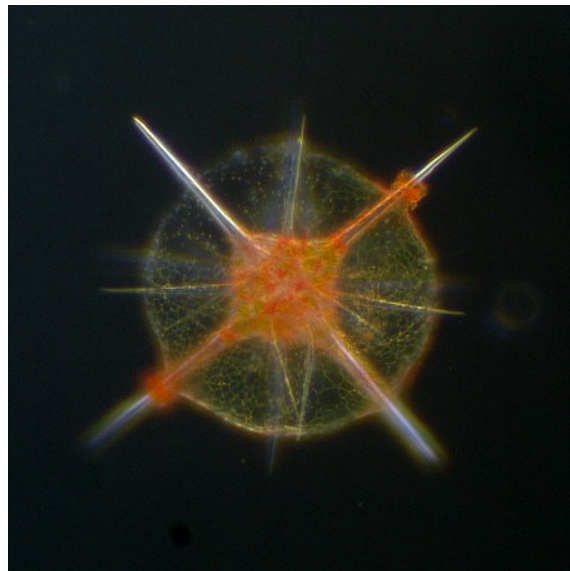


**Bacillariophyceae (Diatomeae)- rozsivky,
jednobuněční i koloniální,
opálová schránka,
mořské i sladkovodní**

Obnovený rozvoj zooplanktonu:

- Radiolaria – mřížovci
- Foraminifera - dírkovci

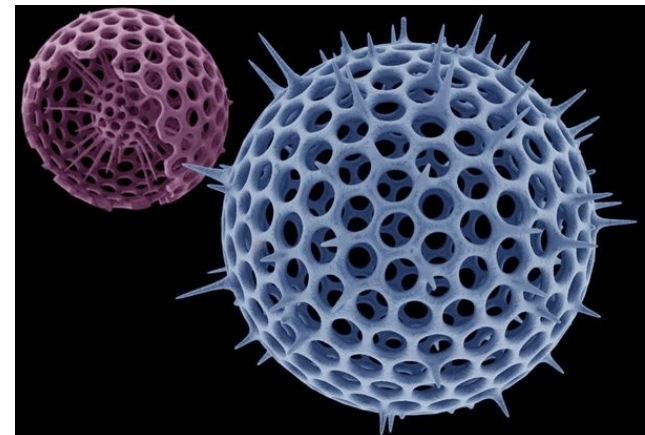
Radiolaria, jednobuněčný plankton,
křemitá kostra (opál),
radioláriová bahna



živý organizmus

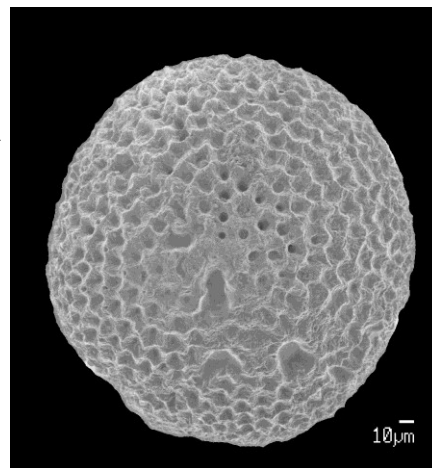


kostříčky

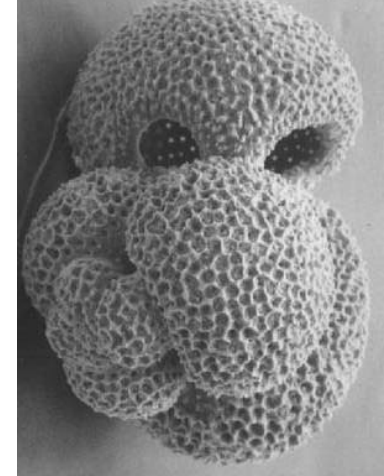


Foraminifera, jednobuněční,
v kenozoiku rozkvět globigerinid – plankton,
globigerinová bahna

bentos – v paleogénu horninotvorný rod *Nummulites*
= numulitové vápence (Tethys)



Praeorbulina circularis



Globoquadrina ?



Elphidium, endemické druhy
v Paratehys





Litophyllum sp., recent
ruduchy

útesy



osmičetní koráli (Octocoralla)

šestičetní koráli (Hexacoralla)



Triaenodon obesus
The White-Tip Reef Shark~Eniwetok Atoll
PHOTO BY PETER V. FANKBONER



Coral Taxonomist
Dick Randall
Eniwetok Atoll
PHOTO BY PETER V. FANKBONER



Dendrophyllia cornigera, miocén, Pauvrelay, Francie

HEXACORALLA



Flabellum sp.,
miocén
Korytnica, Polsko



Balanus concavus, miocén, Eggenburg, Dolní Rakousko

CIRRIPEDIA



Creusia phrya, pliocén, Almería, Španělsko

Bivalvia



Pecten coalingensis, pliocén, Kalifornie

Echinoidea



Dendraster, pleistocén, Kalifornie



Ostrea titans, pliocén, Kalifornie

Clypeaster partschi, miocén, Rakousko

Gastropoda



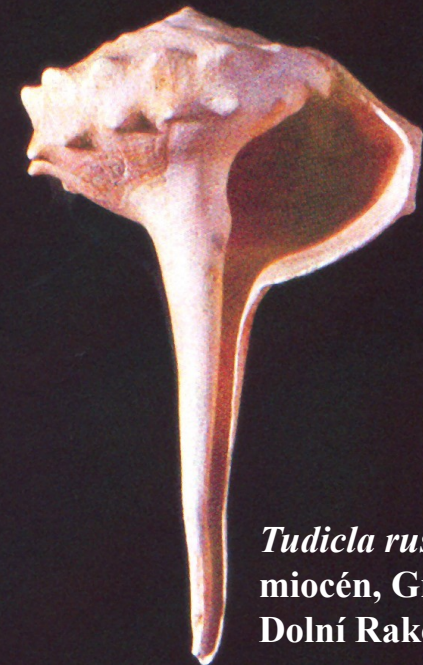
Phalium saburon, miocén
Rakousko



Cancellaria cancellata
pliocén, Sicílie



Murex, miocén,
Rakousko



Tudicla rusticula
miocén, Grund,
Dolní Rakousko



Leptoconus diversiformis
eocén, Grignon, Francie

Vertebrata

Teleostei

Elasmobranchii



Carcharocles, miocén



Mene rhombea,
Monte Bolca, eocén,
Itálie, 45 Ma

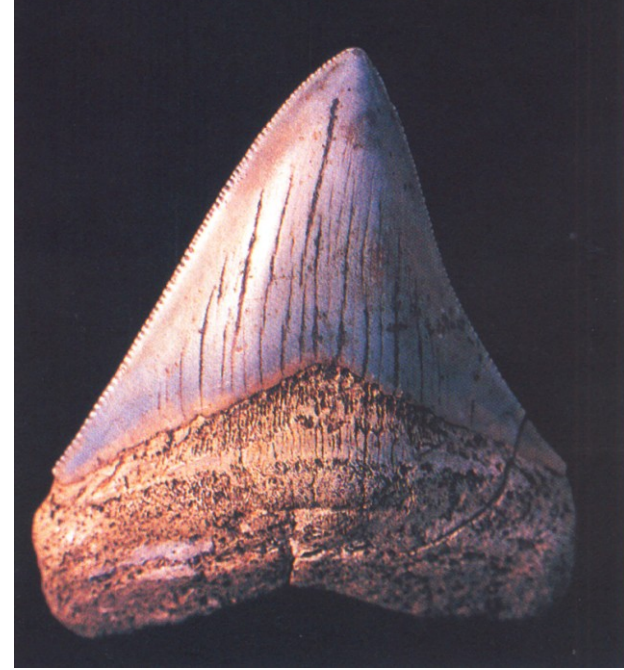


Archaeohippus asper, Monte Bolca, eocén



Isurus hastalis, miocén Mikulov,

**Elasmobranchii
(izolované zuby)**



Carcharocles megalodon, miocén, Mikulov



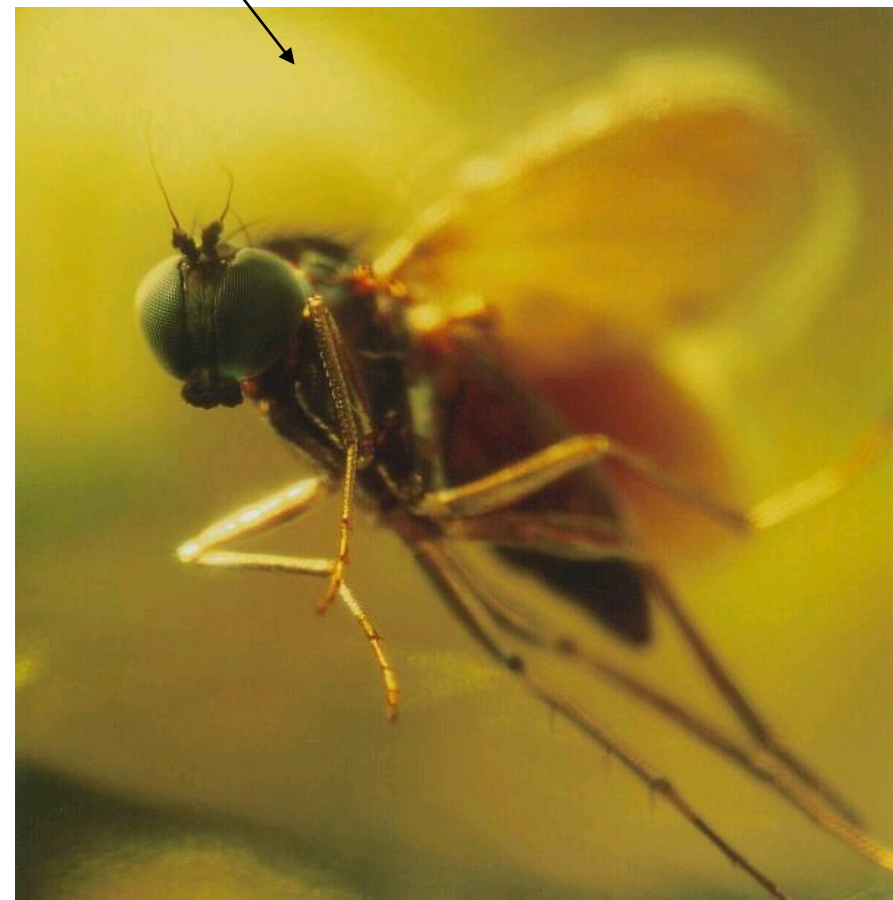
Hemipristis serra, miocén, Mikulov



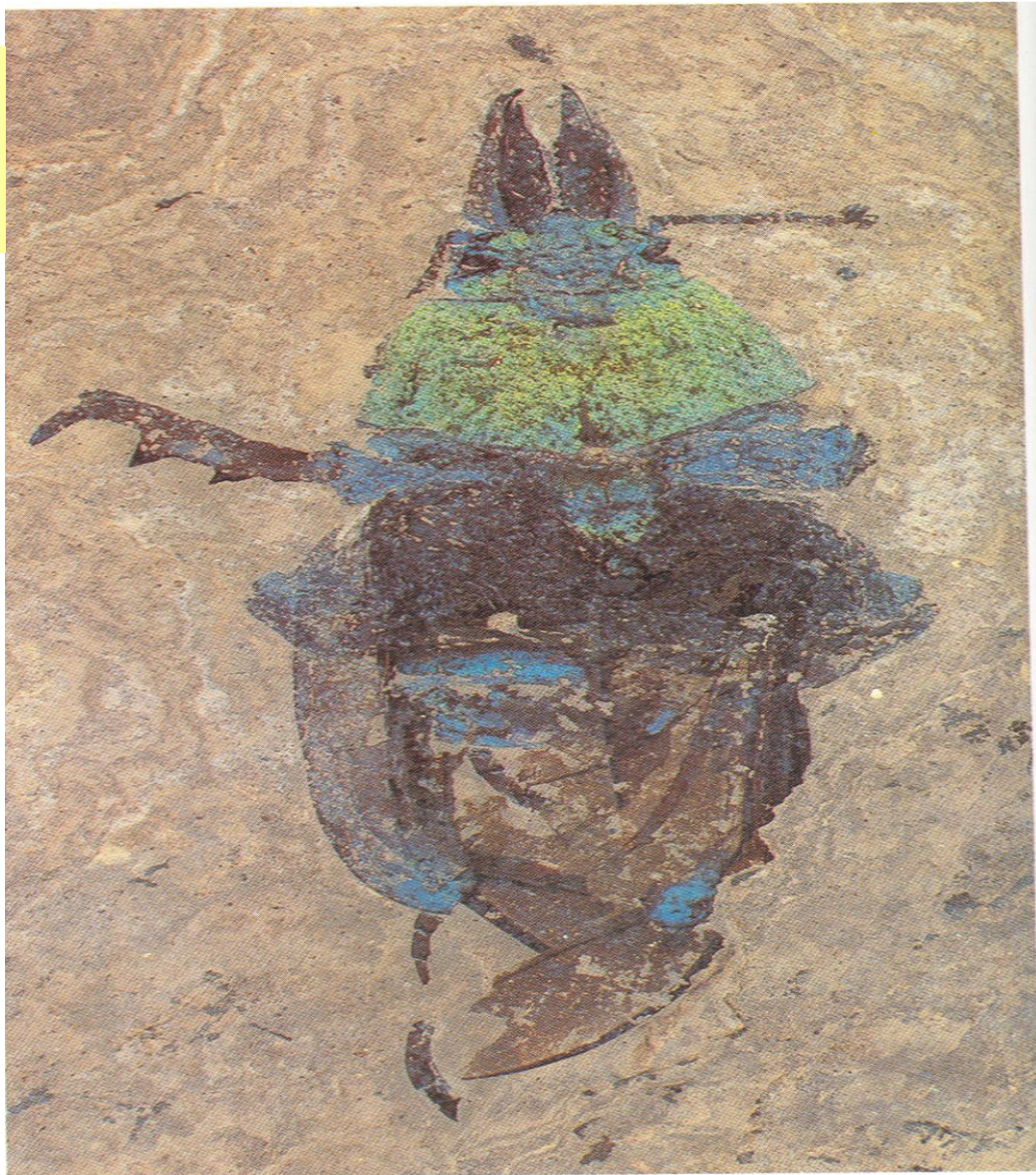
Galeocerdo aduncus, miocén, Mikulov

Souše

Kenozoický jantar a
jeho svědectví o hmyzu
(komáři,
mouchy,
vážky)



**Fosilní „nosorožík“,
Messel (Německo),
Eocén (~ 48 Ma)**



Amphibia



Andrias scheuchzeri (Urodela), neogén, Öhningen, Švýcarsko,
~ 70 cm, („Homo diluvii tristis“)

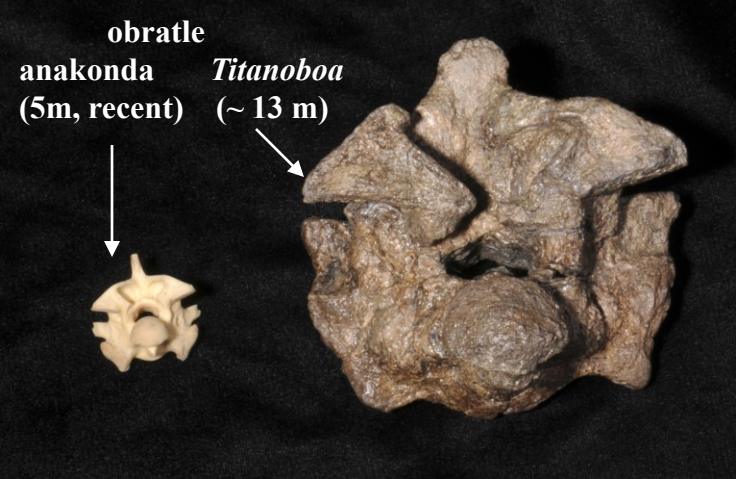
SQUAMATA, OPHIDIA



Palaeopython – fosilní krajta, Messel (Německo), eocén (~ 48 Ma)



J. Barron Dec 2008



Titanoboa cerrejonensis
paleocén, Cerrejón, Sev. Kolumbie

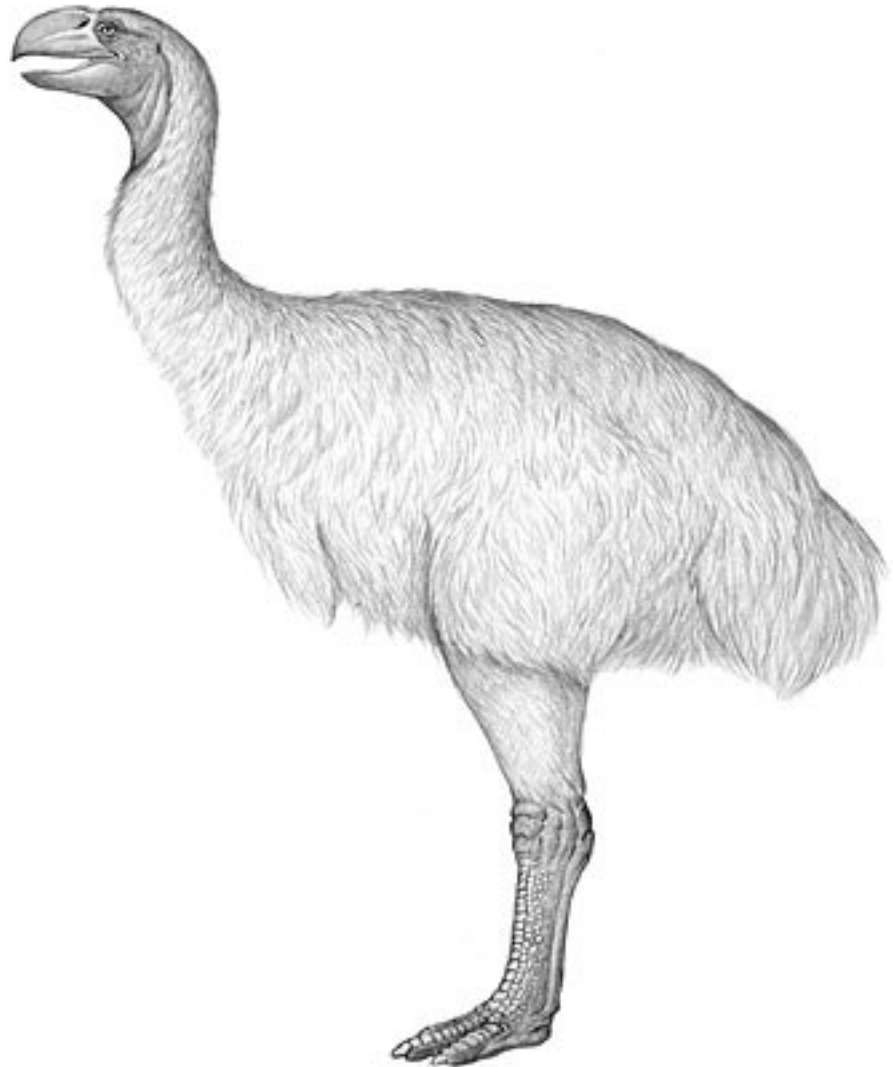
AVES



Diatryma, ptáci, ~ 2 m
sp. eocén, Sev. Amerika, Evropa



Phorusrhacus, obří nelétavý
pták, endemit Jižní Ameriky,
1.5 m



Genyornis newtoni, pleistocén, Austrálie – jeho vymření je prokazatelně spojeno s příchodem člověka na kontinent (~ 40 Ka)

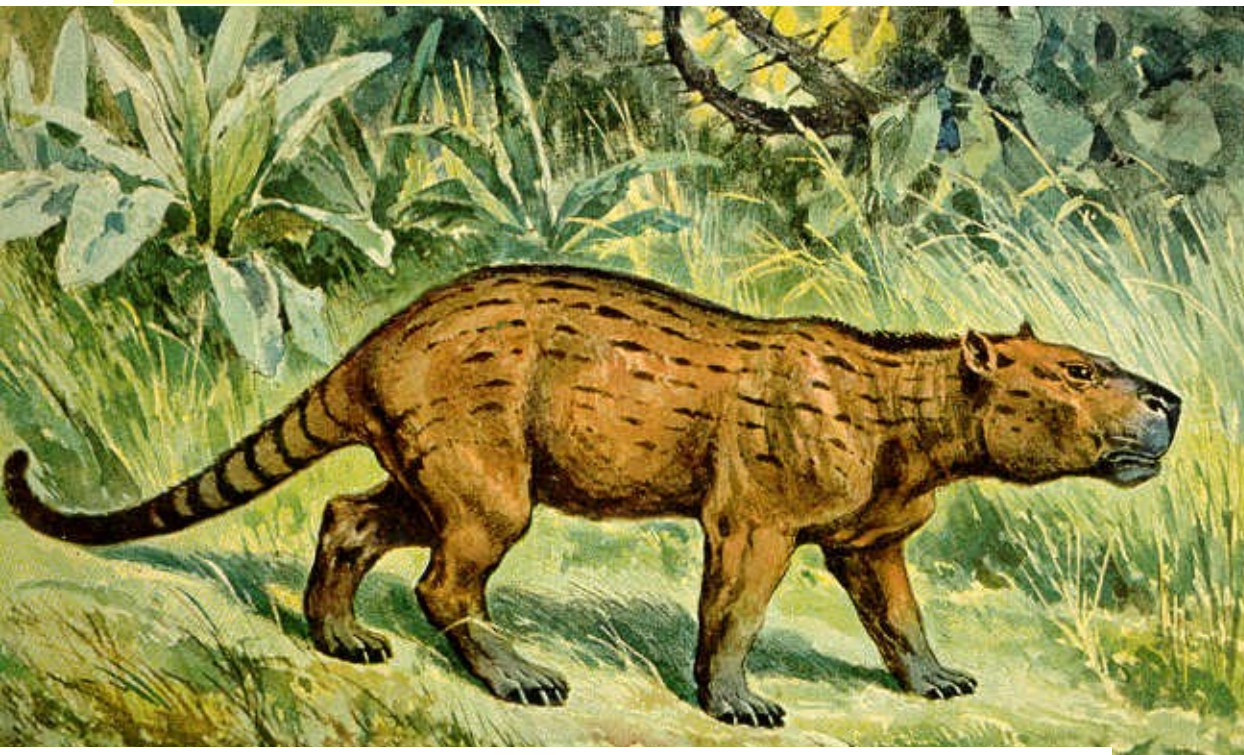


C.BUELL

Titanis walleri,
obří (cca 2 m, 150 kg) nelétavý pták,
imigrant při velké americké výměně,
Texas, nejvyšší pliocén (5-2.2 Ma)



MAMMALIA



Pantolambda, Eutheria,
placentálové, paleocén
S. Amerika, insektivorní zuby,
velikost ovce



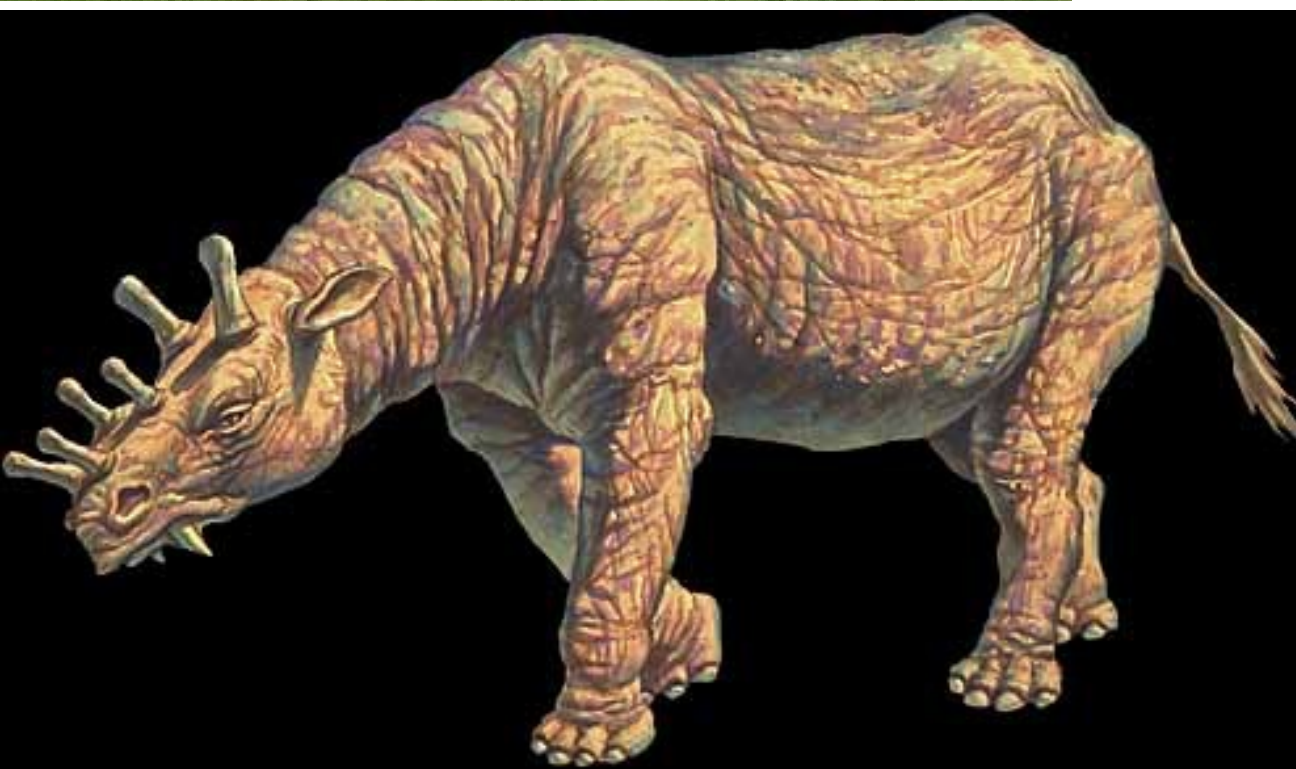
Ptilodus, rozšířený v paleocénu na západě
Sev. Ameriky, Multibuberculata, vakové kosti,
živorodí, stromoví lezci, cca 50 cm



Prothylacinus, vačnatý dravec (Marsupialia),
silné špičáky, rozvoj v miocénu Ameriky



Hyaenodon, Creodonta,
masožravý placentál, Amerika,
čeled' od eocénu i Eurasie,
velikost medvěda,
v miocénu Creodonta vymírají,
dříve ? předchůdci šelem - dnes paralelní
polyfyletická skupina



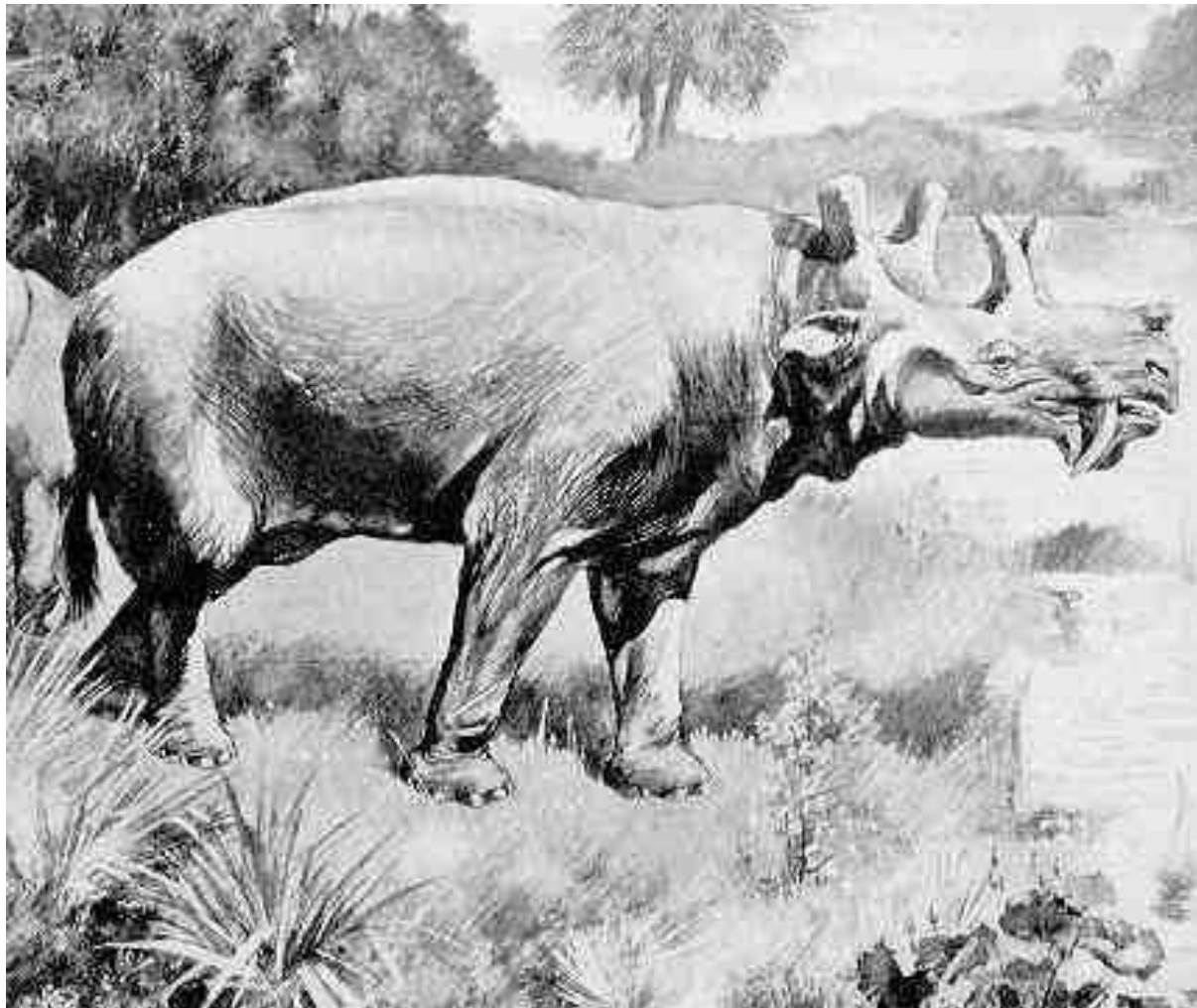
Uintatherium býložravý
placentál,
velikost slona, řezáky krní,
špičáky = funkce klů, největší
zvířata v paleocénu

Paramys, paleocén-eocén, první hlodavci

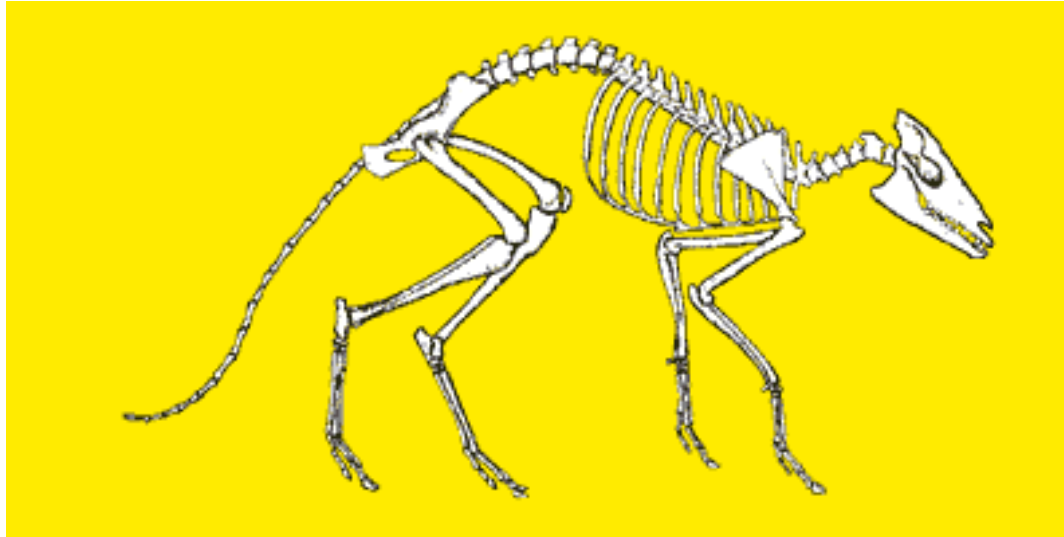




***Tingamarra*, 55 Ma, všežravý drobný kopytník,
jediný placentál zjištěný v Austrálii,
mizí ještě během paleocénu**



***Eobasileus* – šestirohý nosorožcovitý býložravec, ~ 2 m, charakteristická forma časných savců tropického prostředí eocénu. Měl malý mozek ve srovnání s proporcemi těla (viz též dříve dinosauři).**



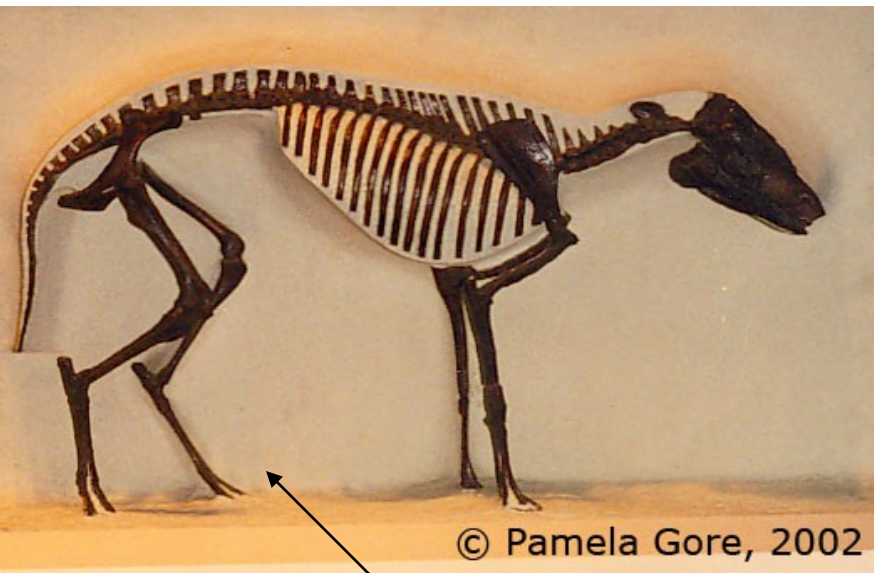
***Diacodexis* – úsvit sudokopytníků,
Suimorpha, spodní eocén,
Evropa, Asie, Amerika**



Megaceros, „jelen“, pleistocén Evropy

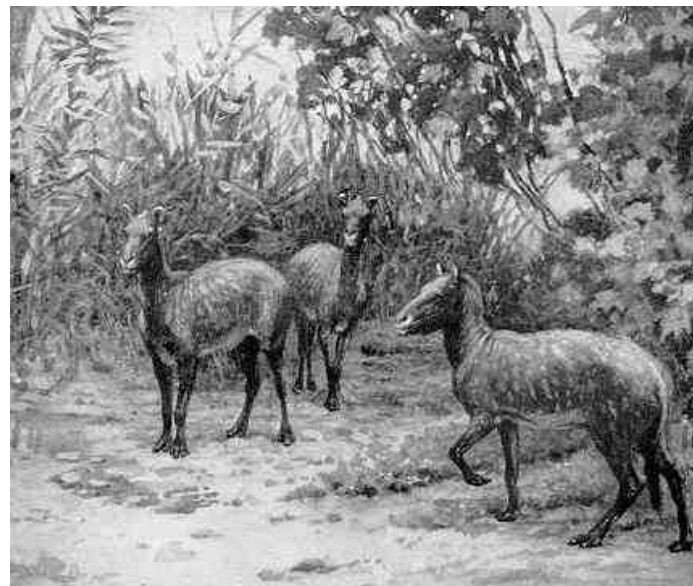


Nástup lichokopytníků – koňů, eocén

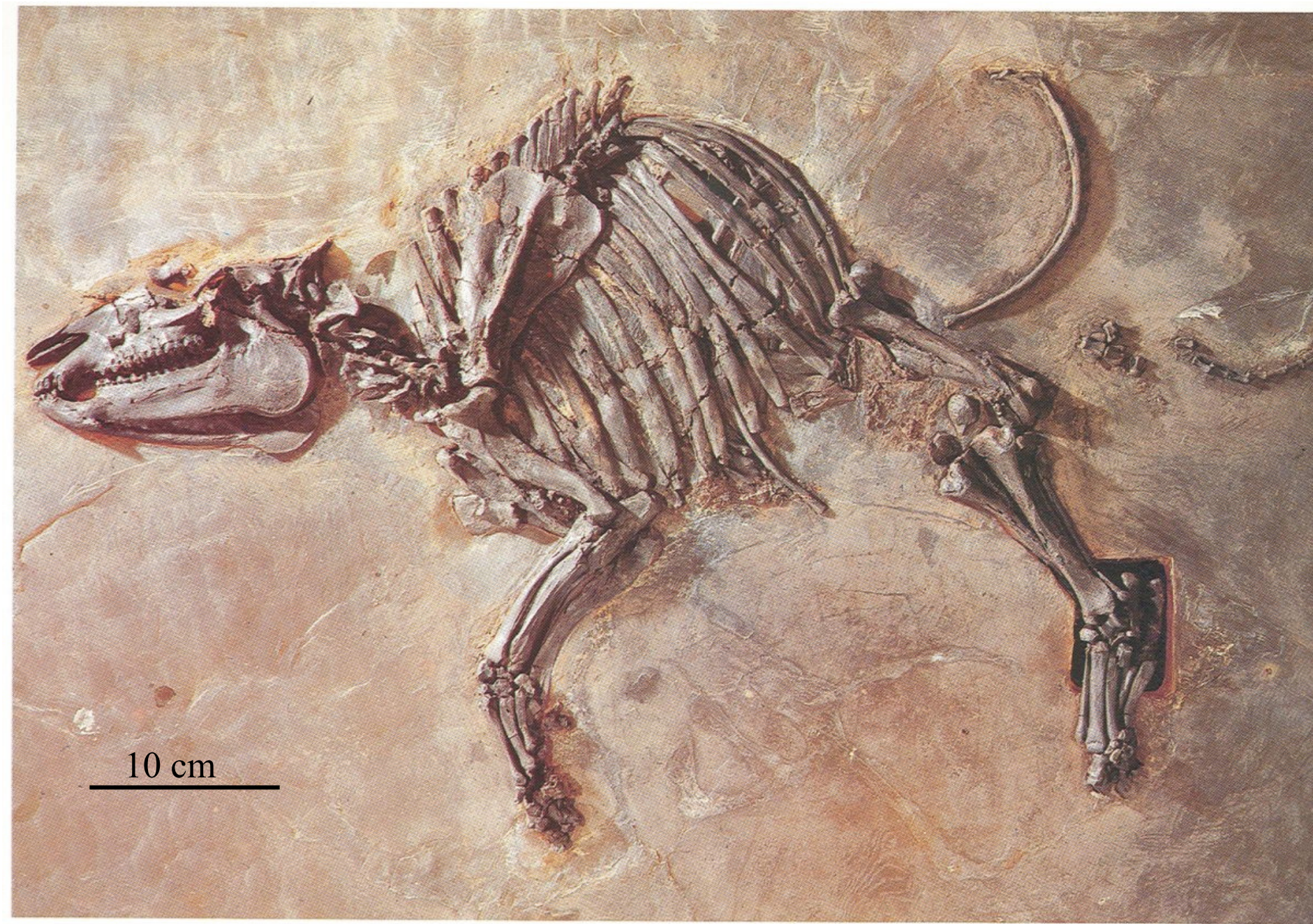


premoláry nemají
charakter stoliček

Hyracotherium, eocén,
kostra, zuby



Heptodon, tapír (lichokop.),
tapíři - nástup sv.eocén



***Propalaeotherium* – „prakoník“, Messel (Německo), eocén (~ 48 Ma)**

Eurohippus messelensis



pregnant mare (*Eurohippus messelensis*), Grube Messel (Germany); age 47 million years

Copyright: Senckenberg Forschungsinstitut Frankfurt

The tiny specimen—full grown, *Eurohippus* was about the size of a modern fox terrier—preserves a mare and her unborn foal (circled in the image above) in exquisite detail, with many of the bones in anatomical position. Also visible are parts of the uterus, including the placenta and the so-called broad ligament that attaches the uterus to the mare's lumbar vertebrae and helps support the fetus. The soft tissue is not preserved directly, but as images formed by the petrification of bacteria that replaced the soft tissue when the animals died.

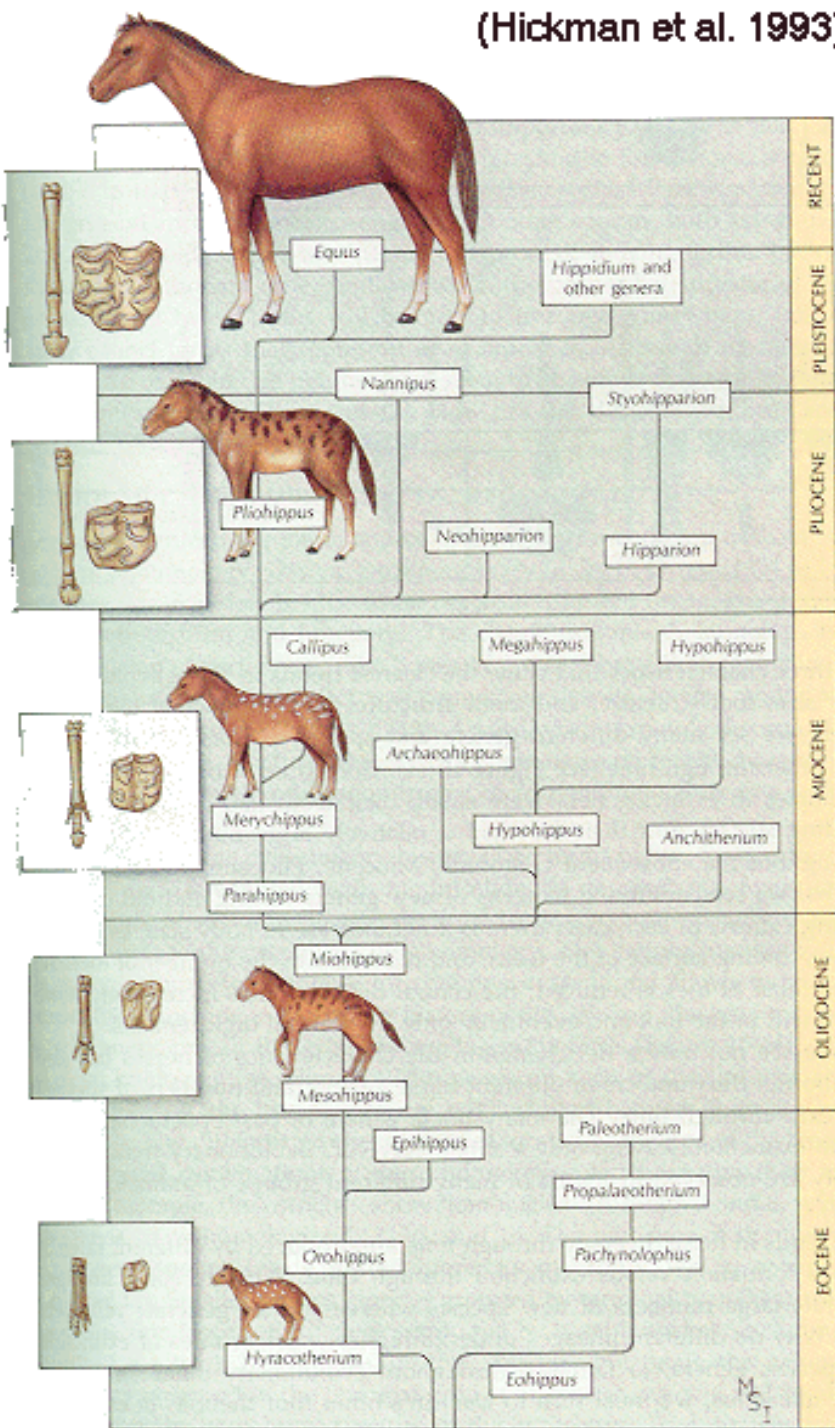
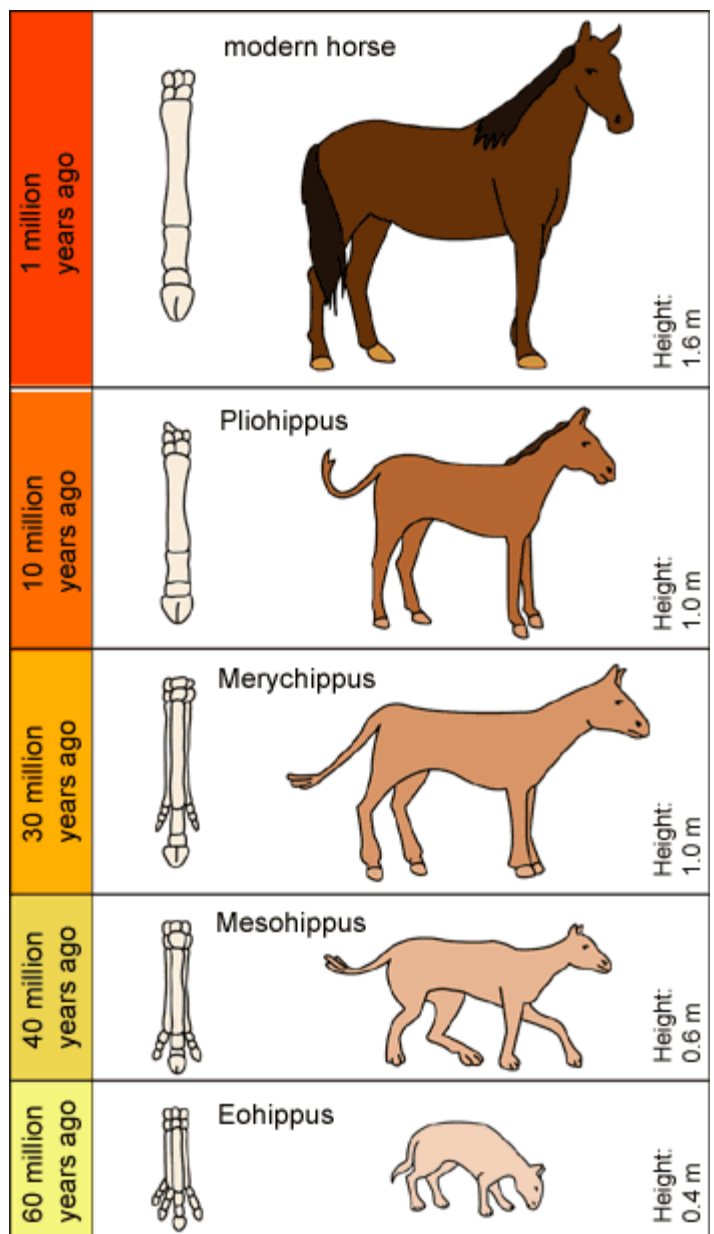
Comparing the fossil to the known phases of fetal development and birth in modern horses, Jens Lorenz Franzen of the Senckenberg Research Institute and his colleagues determined that the mare did not die during birth. The fetus was nearly at term when the pair died, but it was still facing upside down rather than having rotated into the right side up birth position.

The exact cause of death of the mare and foal is unknown. But like many of the animals at Messel, they may well have perished from asphyxiation when ancient Lake Messel belched up a cloud of noxious carbon dioxide gas, as it did from time to time as a result of volcanic activity.

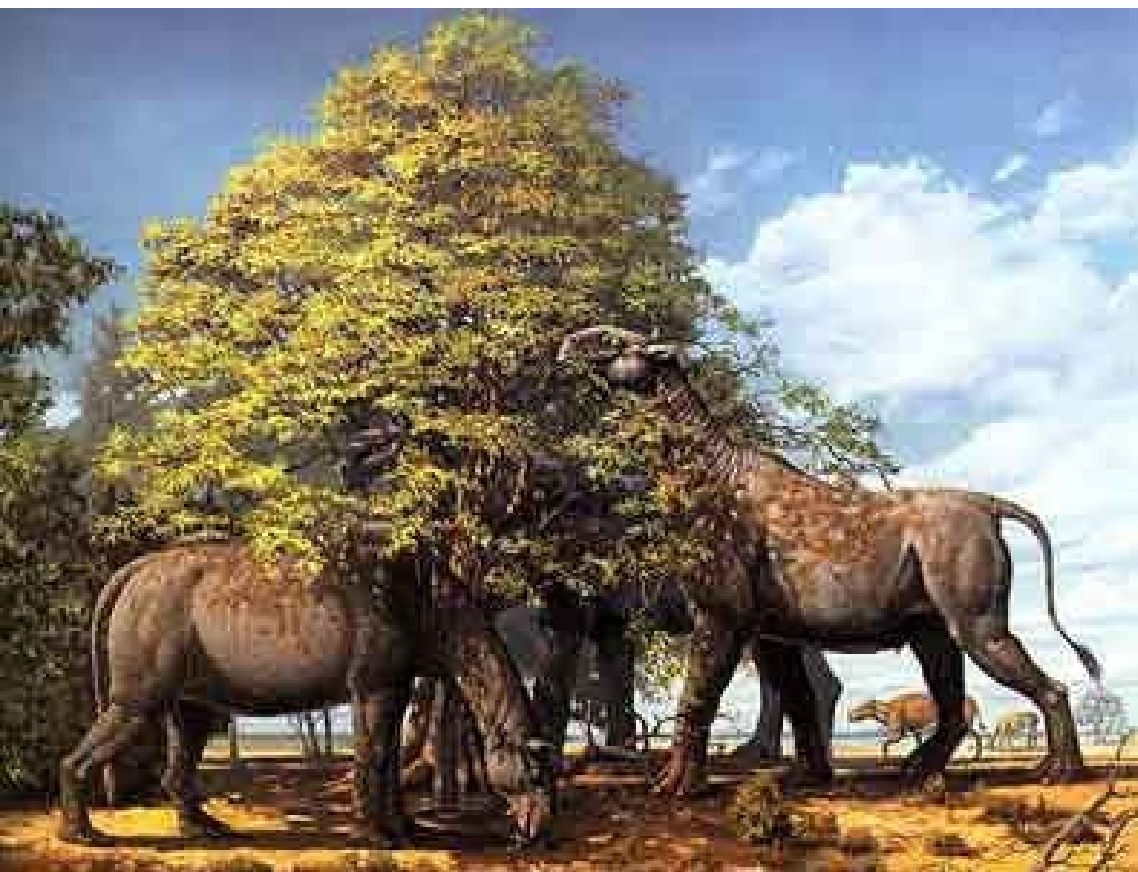


HEINRICH HARDER

Mesohippus bairdi, tříprstý oligocénní koník, pohyblivý, spásající listy (nikoliv trávy), cca 55 cm vysoký.



Indricotherium, nosorožcovití
lichokopytníci, dosahovali
v oligocénu Asie značných
velikostí – 9m

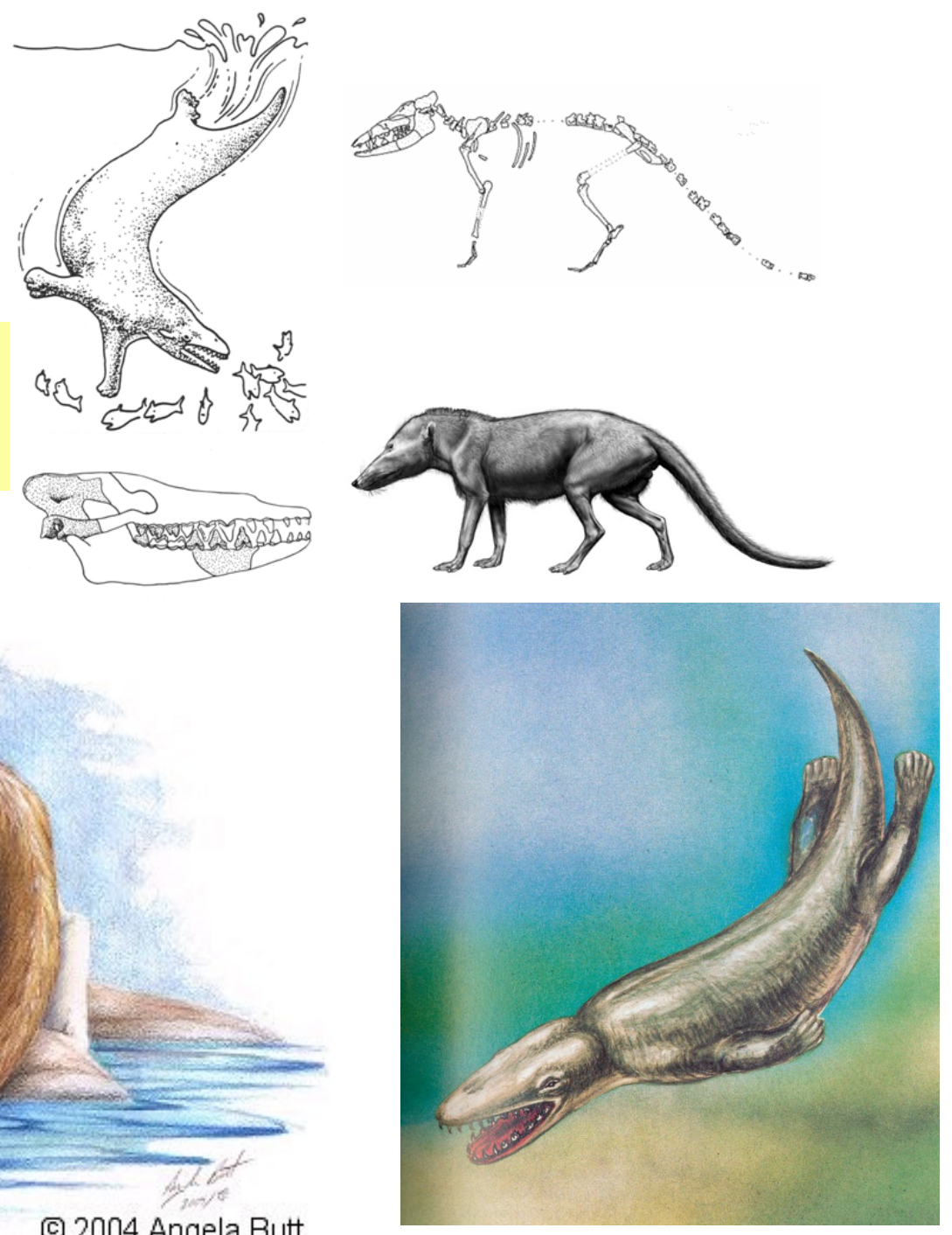


Coelodonta antiquitatis,
srstnatý nosorožec,
pleistocén
součastník člověka



CETACEA

Pakicetus, první kytovec, Pakistán,
spodní eocén, < ještě souše, odštěpení
od kopytníků

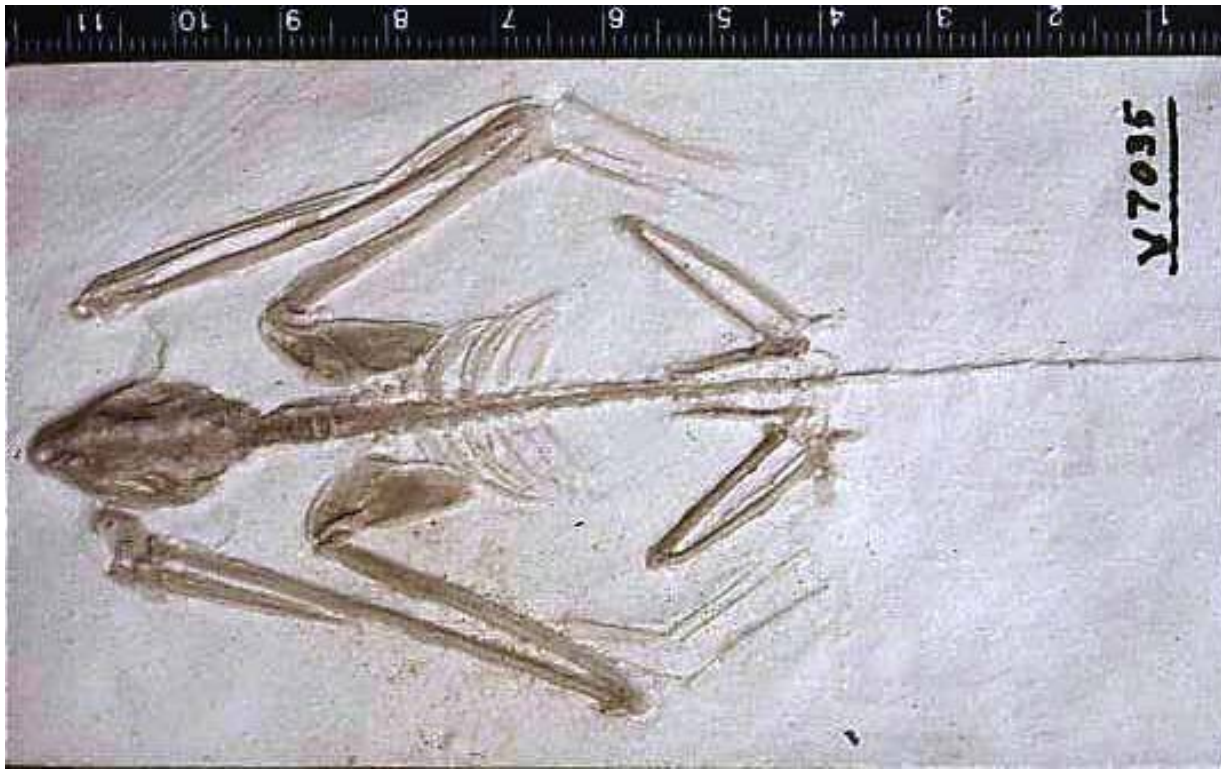


LAGOMORPHA



Palaeolagus, zajícovci, sv. eocén, Sev. Amerika

CHIROPTERA – nástup spodní eocén, původ nejasný (paleocén Francie, zoubky -? hmyzožravci)



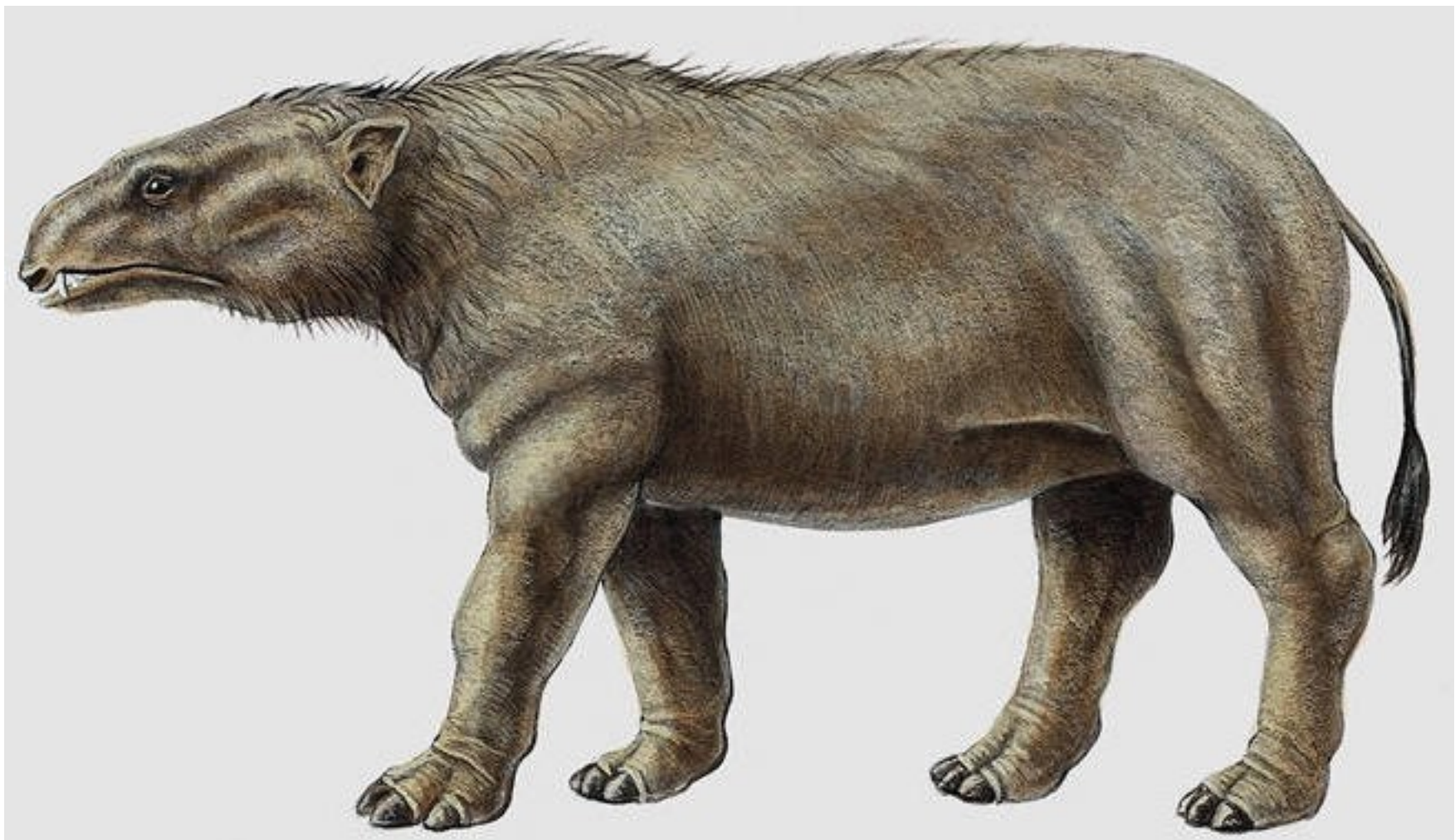
(kresba - recent)

Icaronycteris index, eocén, nejstarší známý netopýr, v ušní oblasti již specializace kostí ukazující na schopnost echolokace.

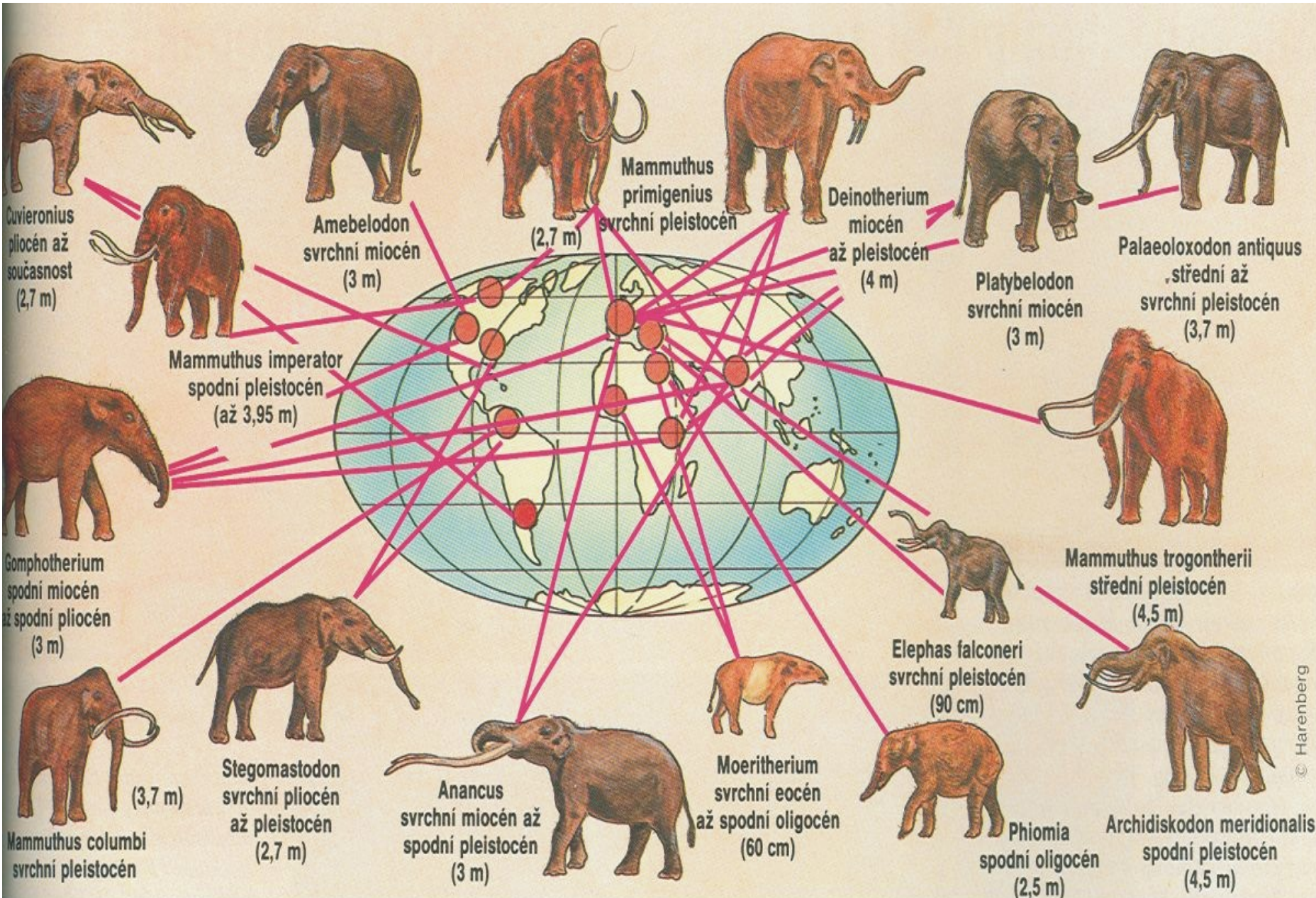


Palaeochiropteryx tupaiodon, 25-30 cm, nejhojnější druh netopýrů v eocénu,
Messel, Německo

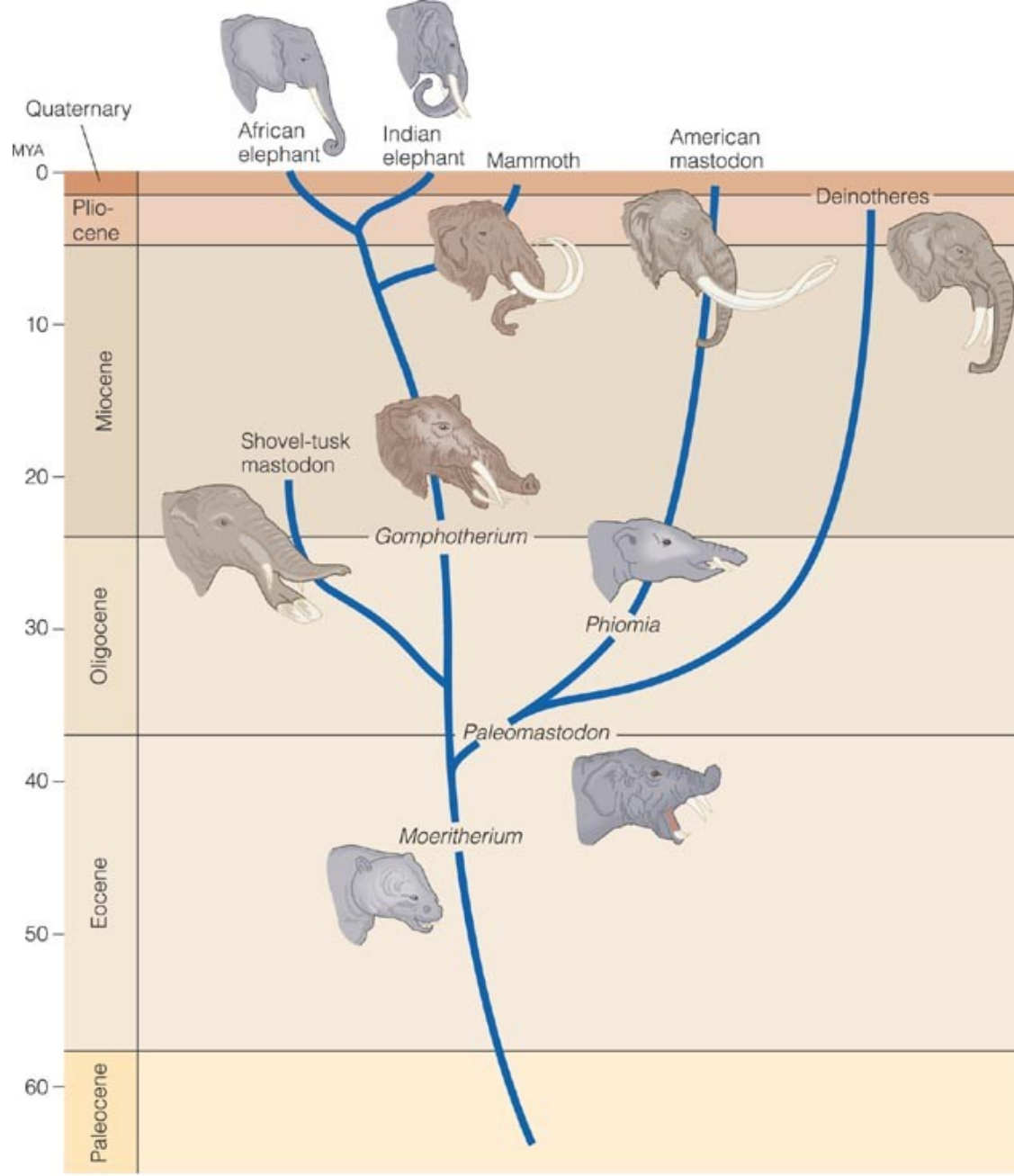
PROBOSCIDEA



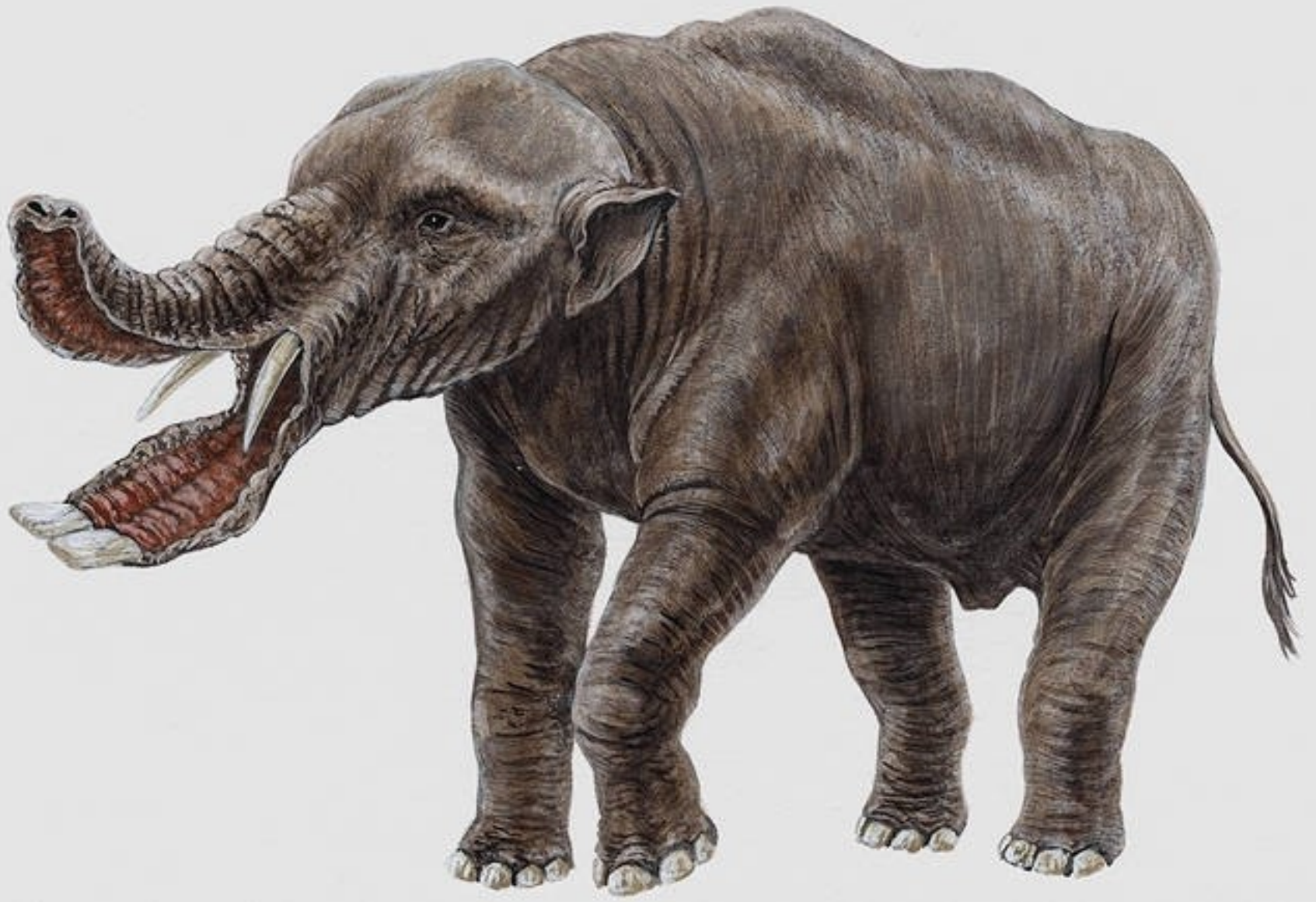
Moeritherium, velikost vepře, svrchní eocén, Egypt (Fajum), nástup chobotnatců, řezáky=kly



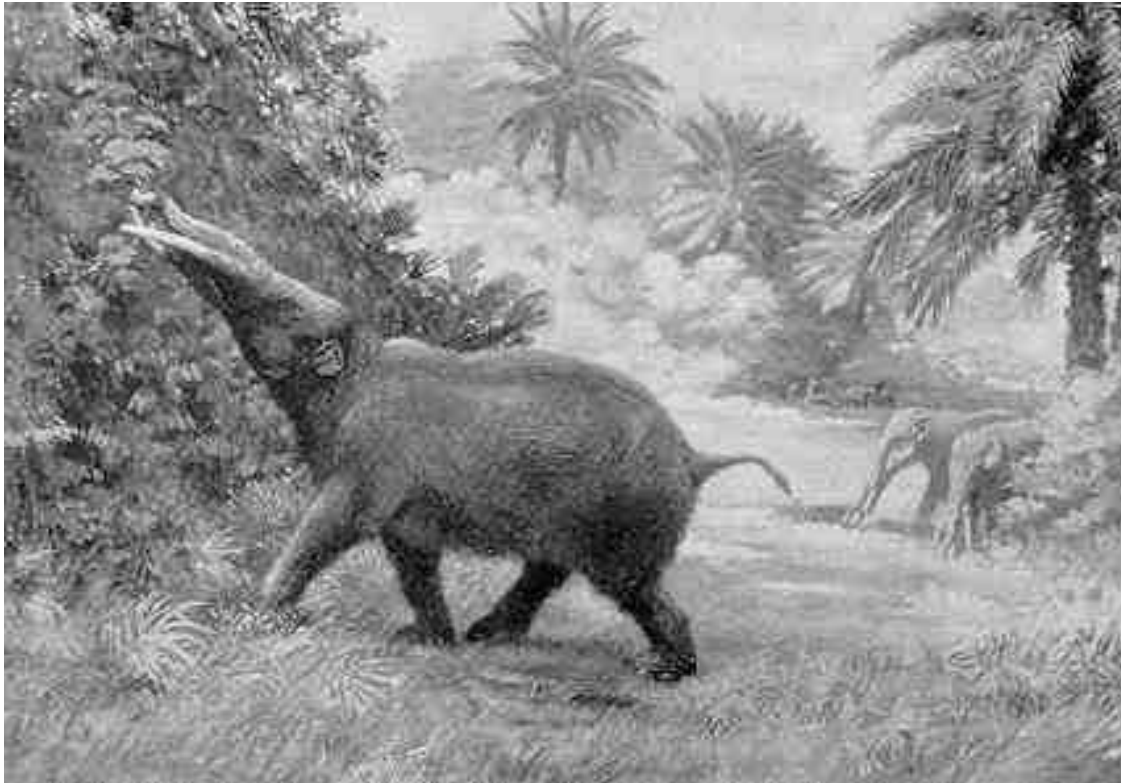
Diverzita a rozšíření chobotnatců od eocénu (~ 40 Ma)



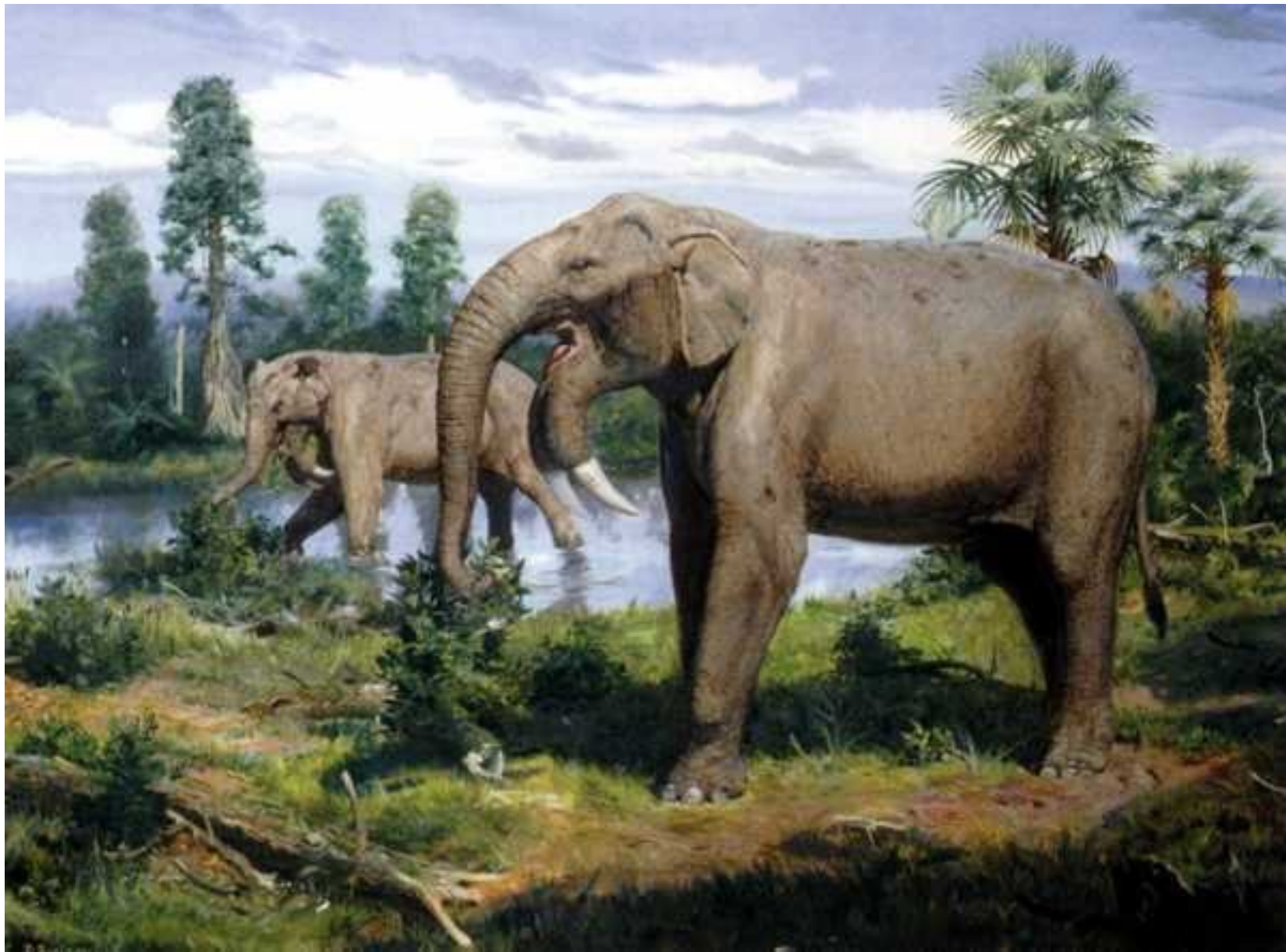
Vývoj některých významných rodů chobotnatců



Platybelodon, miocén, Eurasie



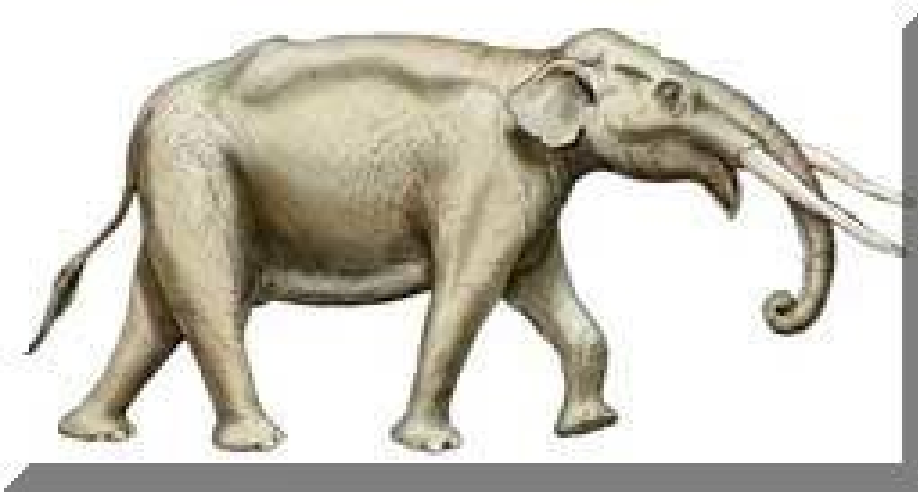
***Trilophodon*, chobotnatec se 4 kly,
rozšířený široce v Eurasii během miocénu
až pliocénu**



Deinotherium, typický zástupce miocénních (Morava) chobotnatců, přežívá až do pleistocénu, Afrika, Eurasie



Mammuthus primigenius, rozvoj a vymírání během pleistocénu
příčiny (klima, člověk ?)



Cuvieronius, drobný (~ 2m) chobotnatec z pliocénu jihu Severní a severu Jižní Ameriky, později jen Jižní Amerika až do holocénu

CARNIVORA

Šelmy

Nimravus - nástup sv. eocén, rozvoj v oligocénu
= oligocénní „šavlozubí tygři“



Nimravus brachyops





***Machairodus*, Felidae, šavlozubý „tygr“, svrchní miocén Evropy**

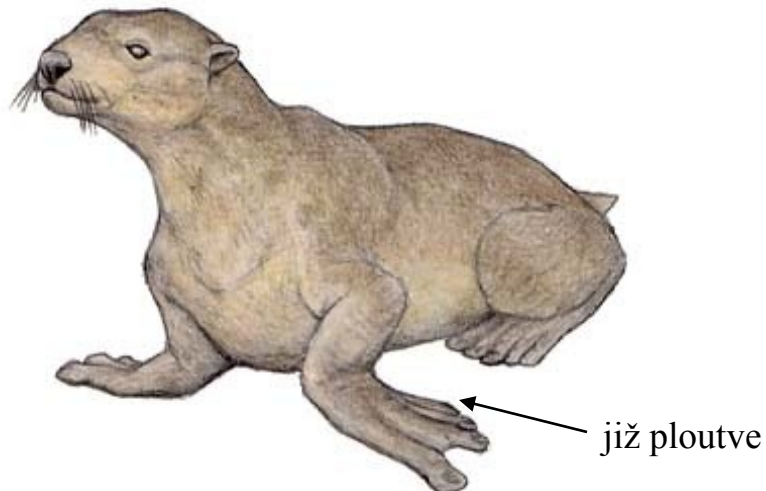


Nástup pinnipedií



Puijilla darwini – fosilní kráterové jezírko ostrova Devon (Kanada, Arktida, 20-24 Ma)

nástup pinnipedií – sladká voda, silné kosti (silné svaly, dobrý plavec), zploštělé prstní kůstky (= plovací blány, nikoliv ploutve, ale dobrý plavec), dlouhý ocas, ? mozaiková evoluce



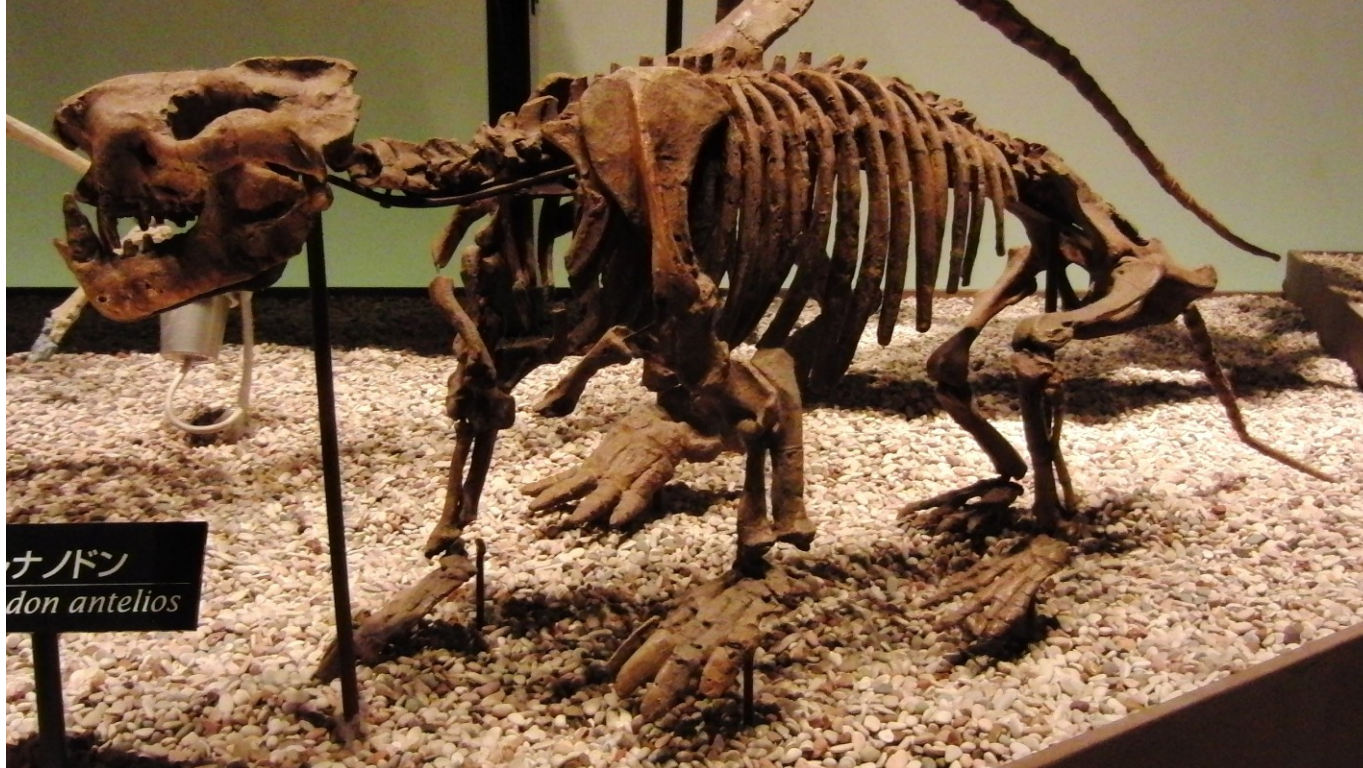
Enaliarctos, sv. oligocén/miocén (Kalifornie, Oregon), šelmy → ploutvonožci (voda)

Pholidota

Ve středním eocénu
žil na území střední Evropy
(Německo) i tento 90 cm vysoký příbuzný
luskounů (Pholidota) rodu *Eurotamandua*



Eurotamandua, stř. eocén, Německo



***Ernanodon antelios*, savec, paleocén Mongolsko, Čína, cca 50 cm.
Palaeoanodonta – sesterská skupina Pholidota.**

Ne mravenečník, ale příbuzný luskounů

The fossil of the ancient mammal was discovered in rocks in Mongolia. Peter Kondrashov and Alexandre Agadjanian from the Borissiak Paleontological Institute of the Russian Academy of Sciences in Moscow describe *E. antelios* as having strong forelimbs and large claws, which it used to scratch and dig for food. Examination of the bones led the authors to suggest that the mammal is more closely related to pangolins than it is to armadillos and anteaters.

Xenarthra



HEINRICH HARDER.

Glyptodon, obří „pásovec“ (~ 2m),
chudozubí, Cingulata,
Pleistocén, Jižní Amerika





Megalonyx jeffersoni, obří pozemní lenochod, Xeanarthra, Folivora
pleistocén, J. Amerika

Ungulata J. Ameriky

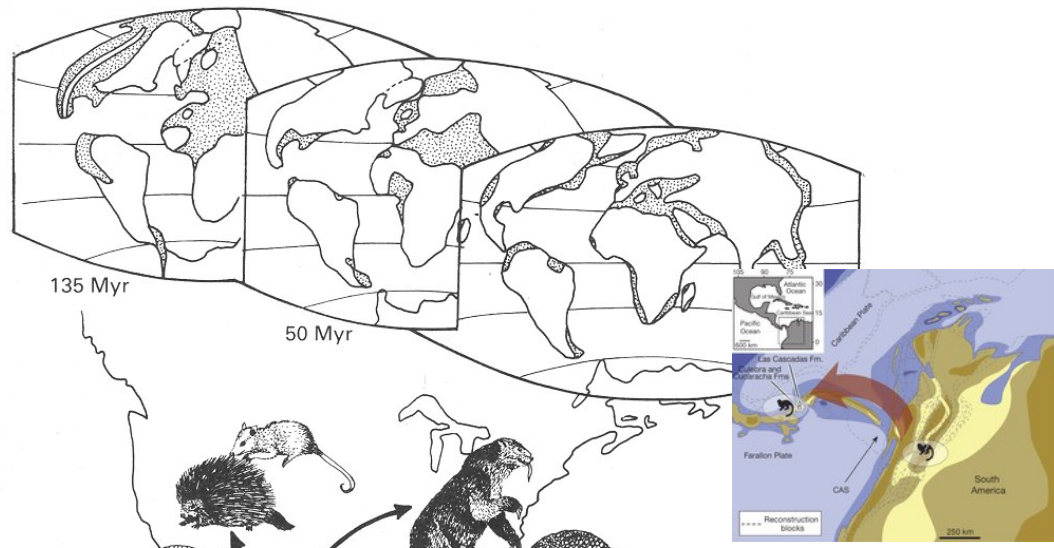


Homalodotherium, miocén, J. Amerika, typický zástupce notoungulat, endemických kopytnatců, dlouhá izolace (~ 60 Ma), konec- Panamská šíje (~ 3 Ma) - viz dále

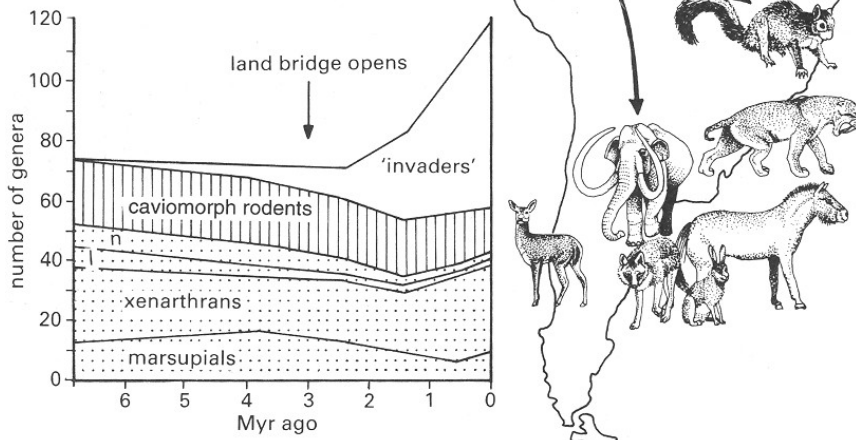
Velká americká výměna

(biogeografická historie panamské šíje,
Benton 1997)

konfigurace kontinentů



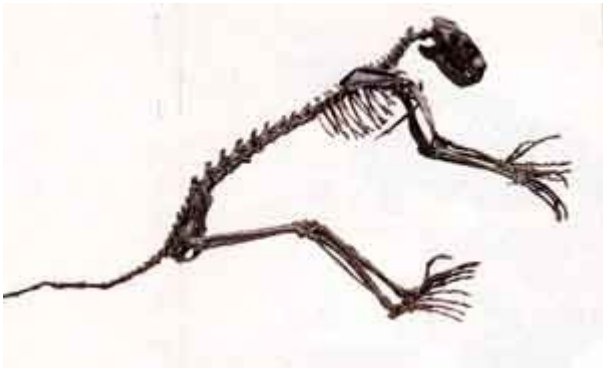
Pohyb skupin savců po vytvoření
pevninského mostu (~ 13 Ma, nový údaj):
k severu – hmyzožravci, dikobrazi,
pásovci, glyptodonti, pozemní lenochodi,
mravenečníci
k jihu – jaguáři, veverky, šavlozubí tygři,
chobotnatci, koně, zajícovci, etc.



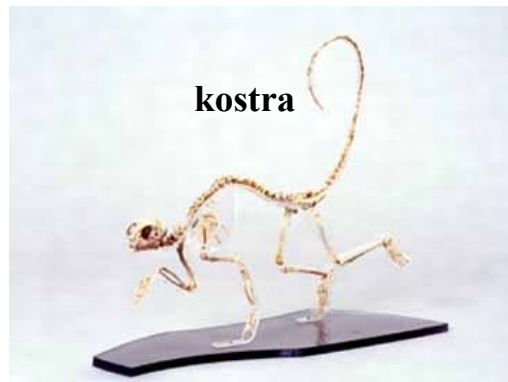
Graf znázorňující snížení
diverzity savců v Jižní Americe
po otevření suchozemského mostu
(l-litopterna, n-notoungulata)

Primates

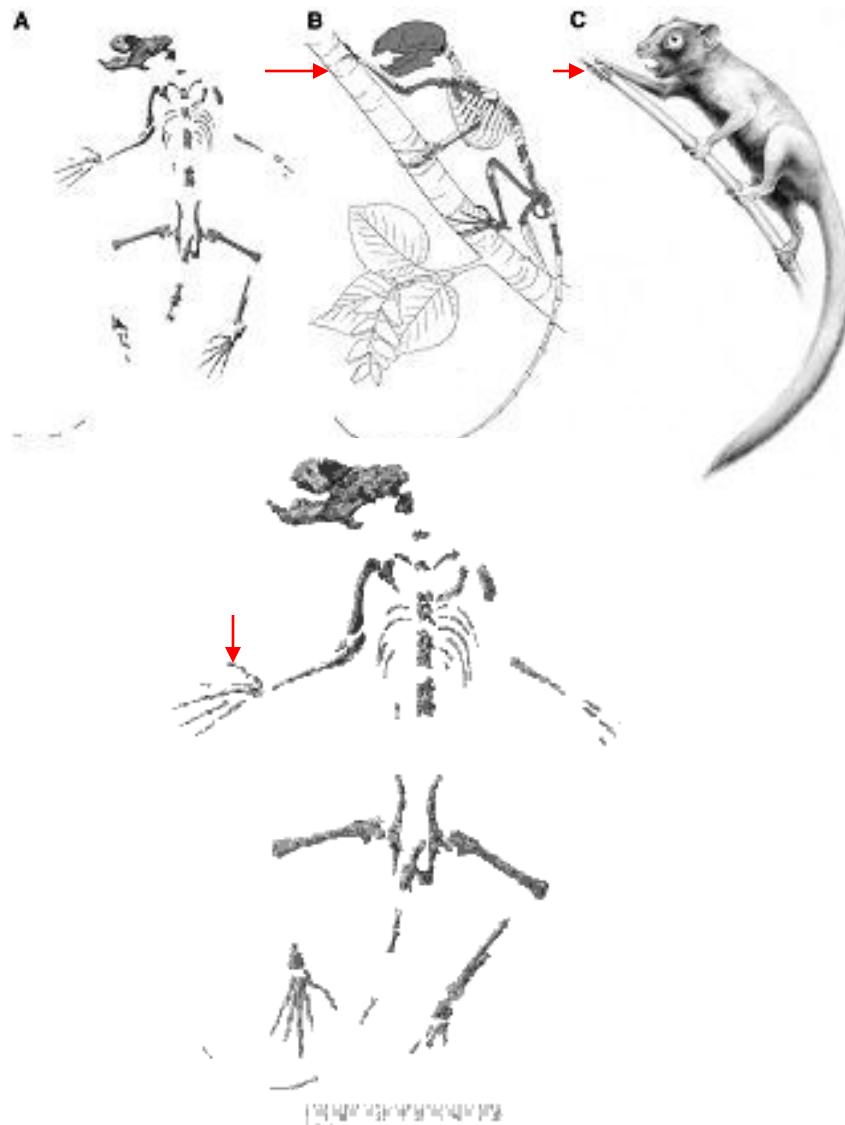
Strepsirhini



Notharctus, poloopice, sp. eocén, Wyoming



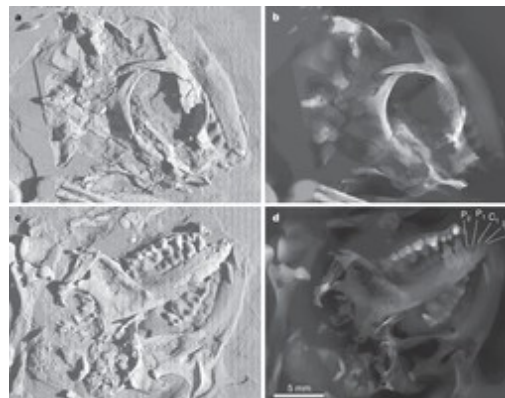
Necrolemur antiqua, poloopice,
sp. eocén, Francie



Carpolestes simpsoni, paleocén, ~57 Ma (S. Amerika),
měl už **opositní palec** (uchopování)= **nástup primátů**,
ale plesiomorfní znaky (oči na boku hlavy, neuměl
skákat), potrava – plody, listy => ne dravec

Archicebus achilleus

Čína, eocén, ~ 55 Ma, Tarsiida

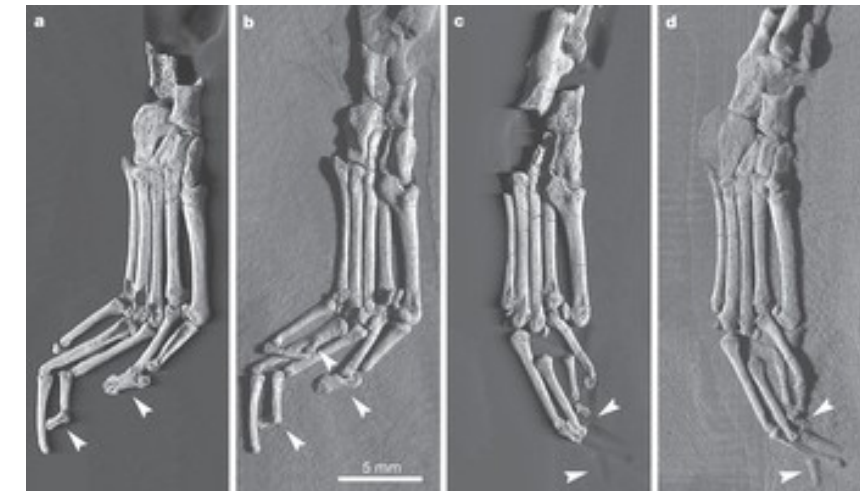


Lebka + čelisti

tomografie



Lebka, části páteře, pánev



Levá (a, b) a pravá (c, d) končetina

Zatím nejbazálnější známý člen tarsiiformního kládu. Podporuje hypotézu, že časní primáti byli pravděpodobně diurnální, arboreální a primárně insektivorní savci velikosti současných lemurů.

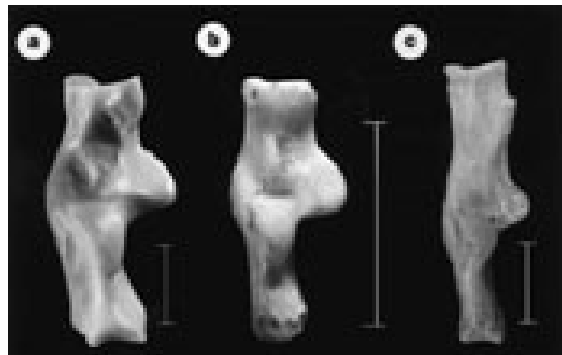
Eosimias – Jv. Asie, 45 Ma,
většina autorů považuje tyto
fosilní primáty za nejstarší
anthropoidy



čelisti



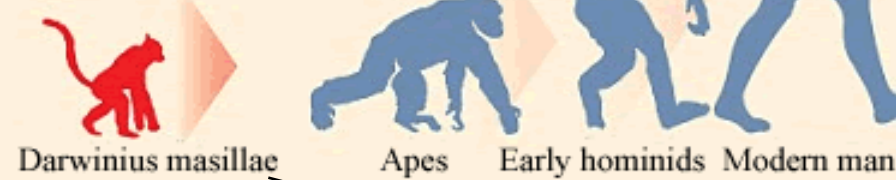
rekonstrukce



tarzální kůstky

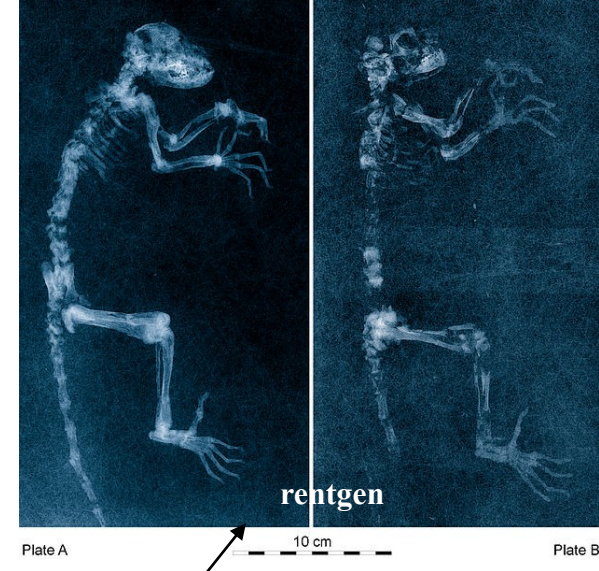


1 The fossil found at the Messel Shale Pit in Germany is similar to a lemur.



2 However, it has different types of teeth and toes, suggesting it is actually from an early group of mammals which existed before the diversification of primates.

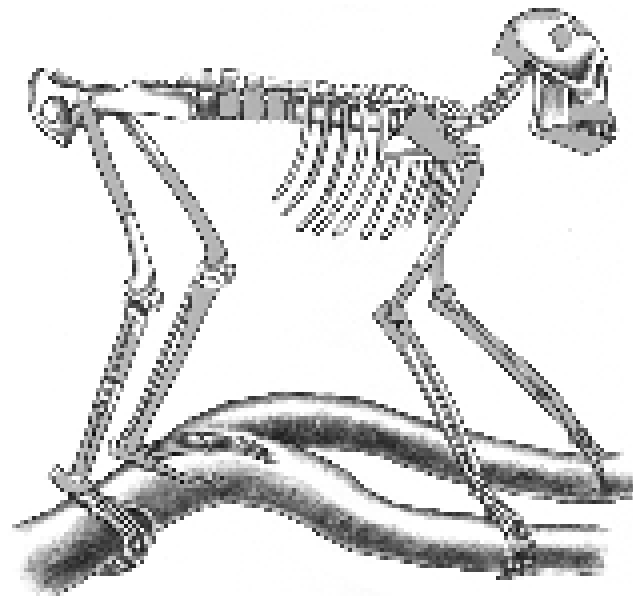
3 If that is correct then the creature known as *Darwinius masillae* may be the missing link between small mammals and the apes which evolved into humans.



Darwinius masillae, eocén, Messel, ~47 Ma, (čeled' Notharctidae) samička, obsah žaludku = ovoce, anatomie zachována perfektně (i ochlupení). Nemá osteologické znaky sdílené lemury a tarsiidy (např. čistící dráp na druhém prstu), zatímco **dlátovité přední zuby s vloženými špičáky a hlezenní kost v kotníku odhaluje vztahy k vyšším primátům**. Jde podle většiny autorů o přímého předka anthropoidů. Chybí však kostní přepážka v oční jamce, kterou většina antropoidů má.



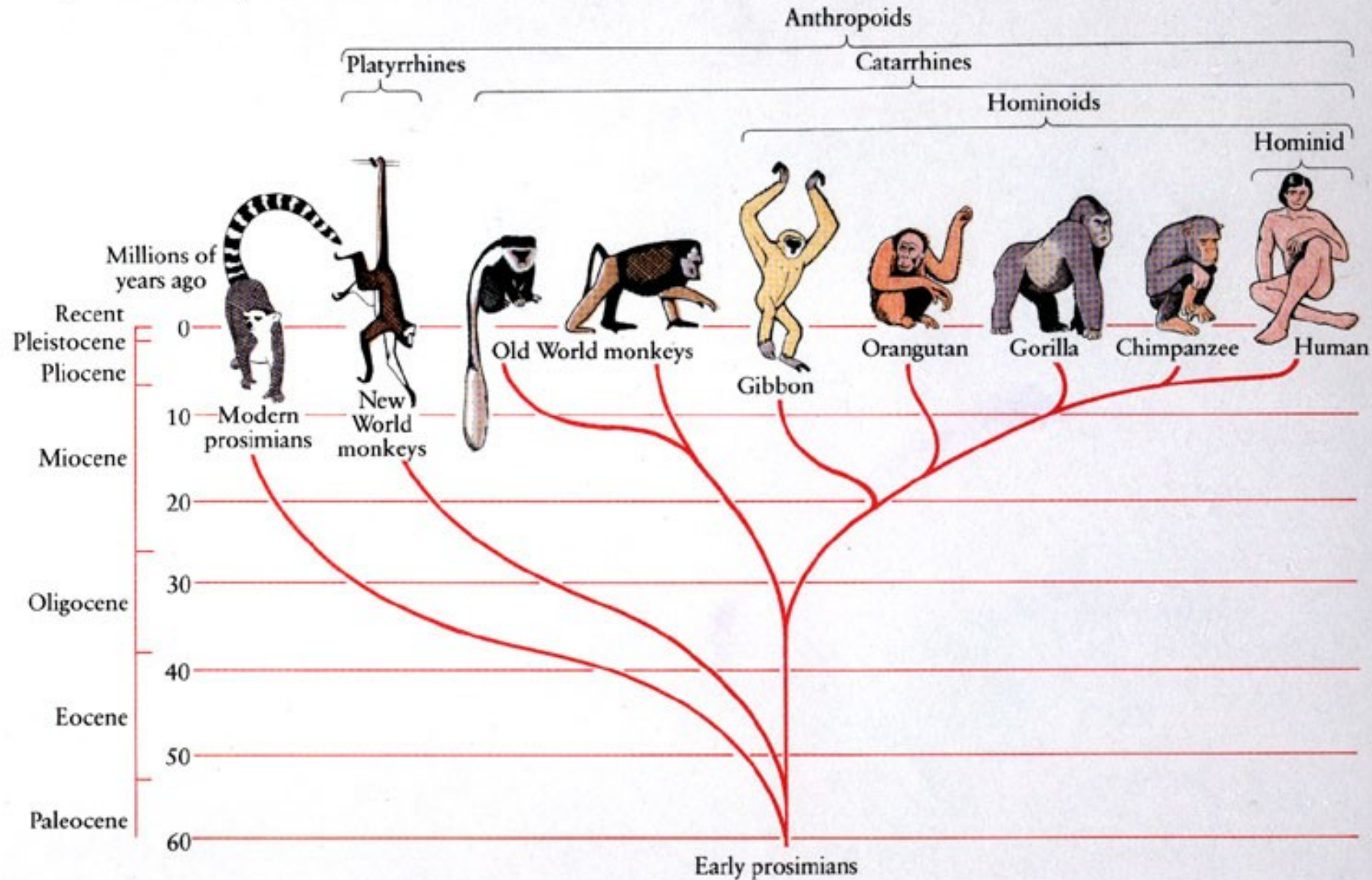
Simiiformes (Anthropoidea)



Catopithecus brownii, antropoid, sv. eocén, Egypt (Fajum), ~37 Ma,
má už postorbitální septum jako všichni primáti se žlutou skvrnou na sítnici
(septum drží očnici, ž. skvrna = koncentrace fotorecepčních buněk) => výrazné
zlepšení zraku, ostrý (nerozmazaný) asi dichromatický.

**Vazby (?) na čel. Eosimiidae (stř. eocén jv. Asie – Čína , Thajsko) =>
antropoidi pocházejí z Asie (?)**

A primate evolutionary tree

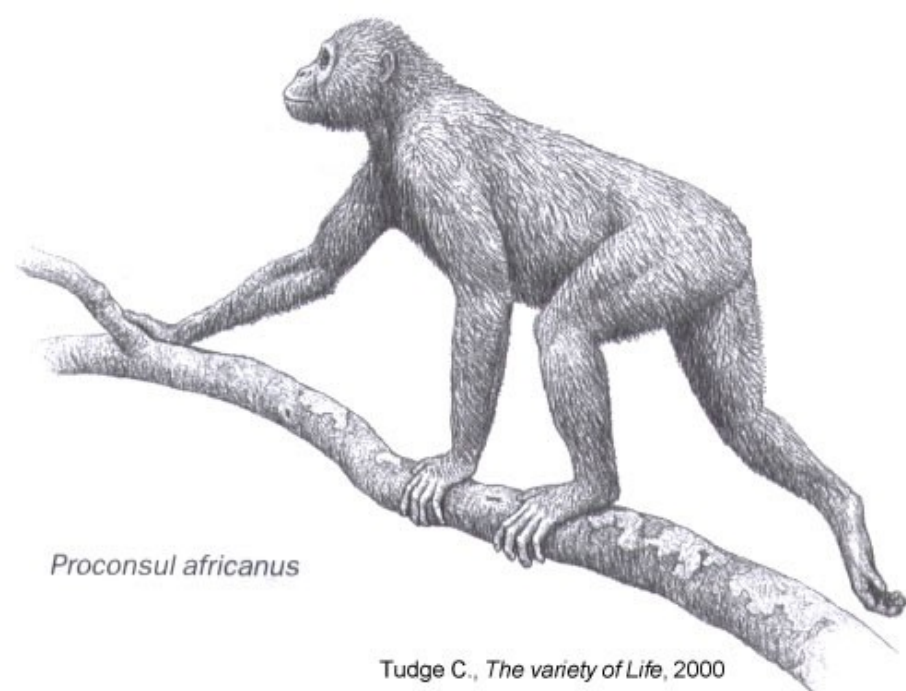


Oligocene primates from China reveal divergence between African and Asian primate evolution

Hranice eocén/oligocén

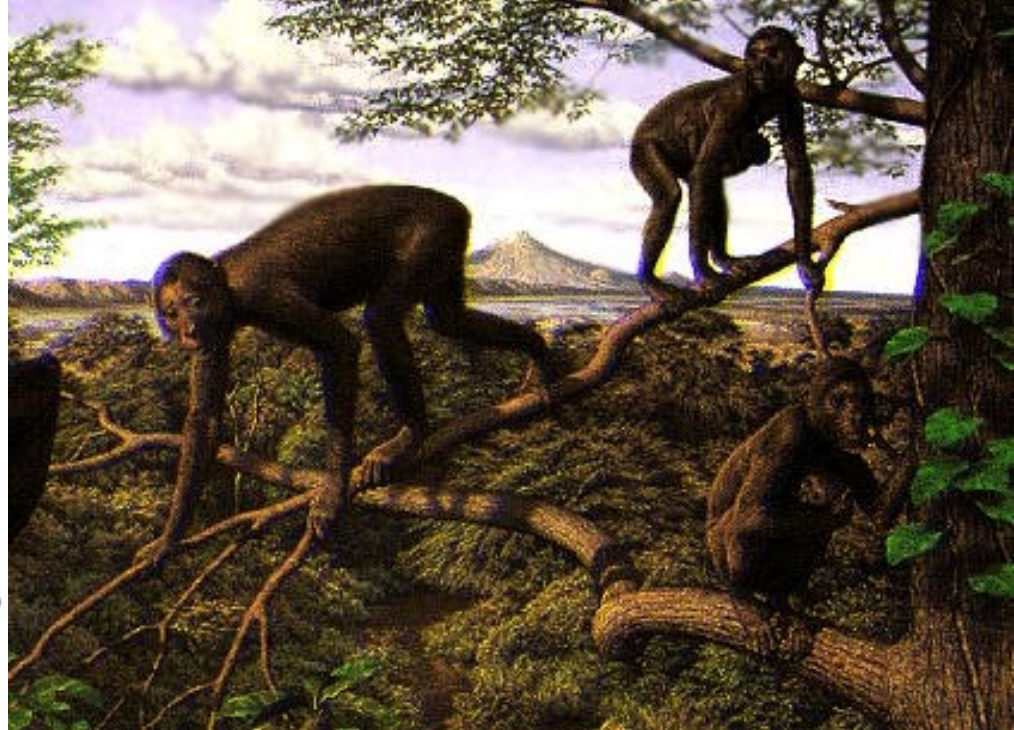
Xijun Ni,^{1,2*} Qiang Li,^{1,2} Lüzhou Li,¹ K. Christopher Beard^{3,4}

Profound environmental and faunal changes are associated with climatic deterioration **during the Eocene-Oligocene transition (EOT) roughly 34 million years ago.** Reconstructing how Asian primates responded to the EOT has been hindered by a sparse record of Oligocene primates on that continent. Here, we report the discovery of a diverse primate fauna from the early Oligocene of southern China. In marked contrast to Afro-Arabian Oligocene primate faunas, this Asian fauna is dominated by strepsirrhines. There appears to be a strong break between Paleogene and Neogene Asian anthropoid assemblages. **Asian and Afro-Arabian primate faunas responded differently to EOT climatic deterioration, indicating that the EOT functioned as a critical evolutionary filter constraining the subsequent course of primate evolution across the Old World.**

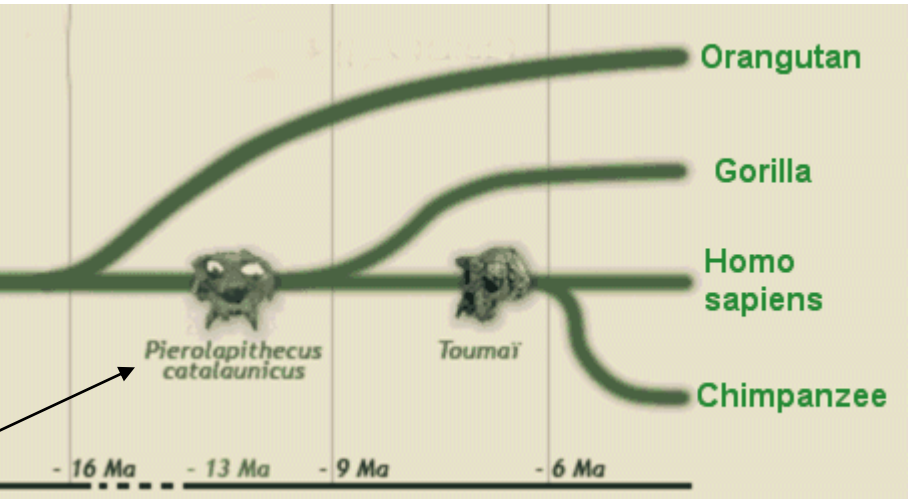
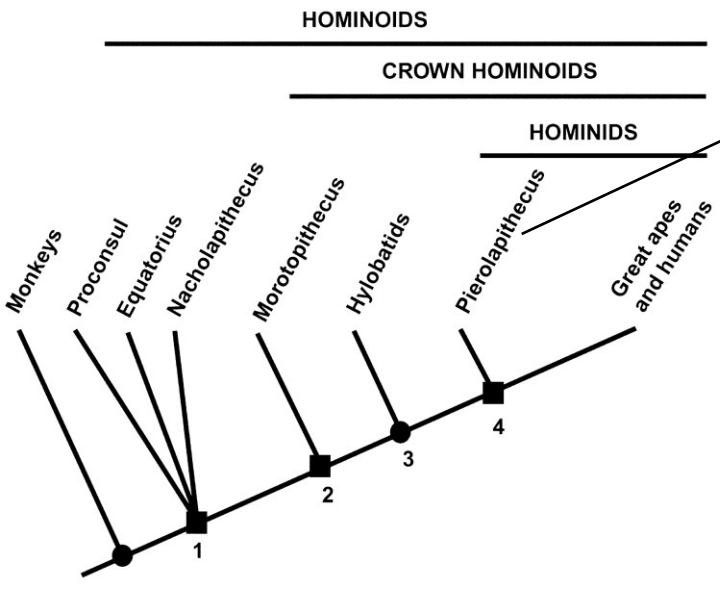
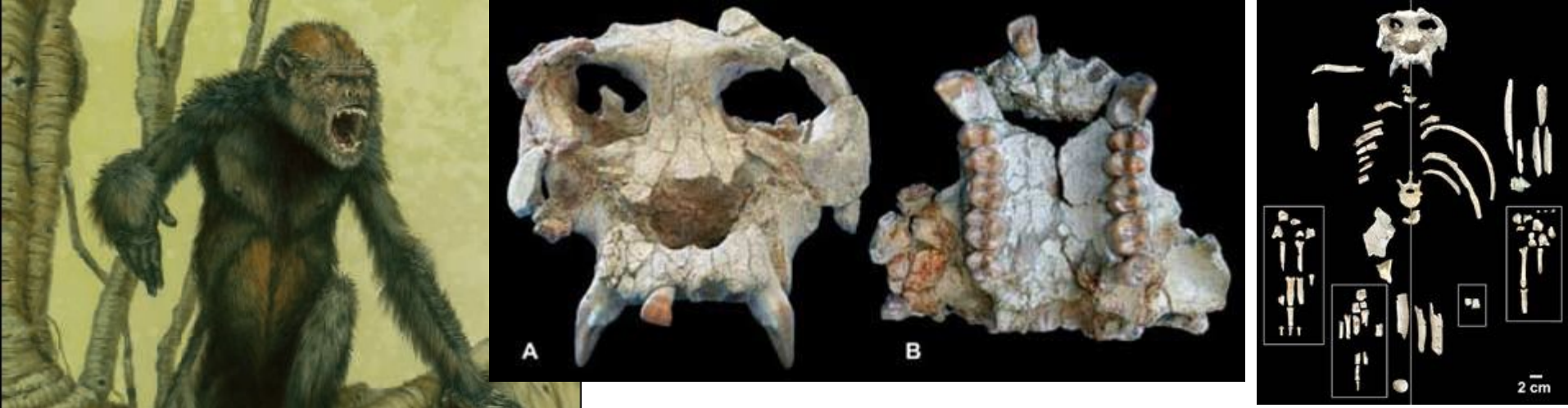


Proconsul africanus

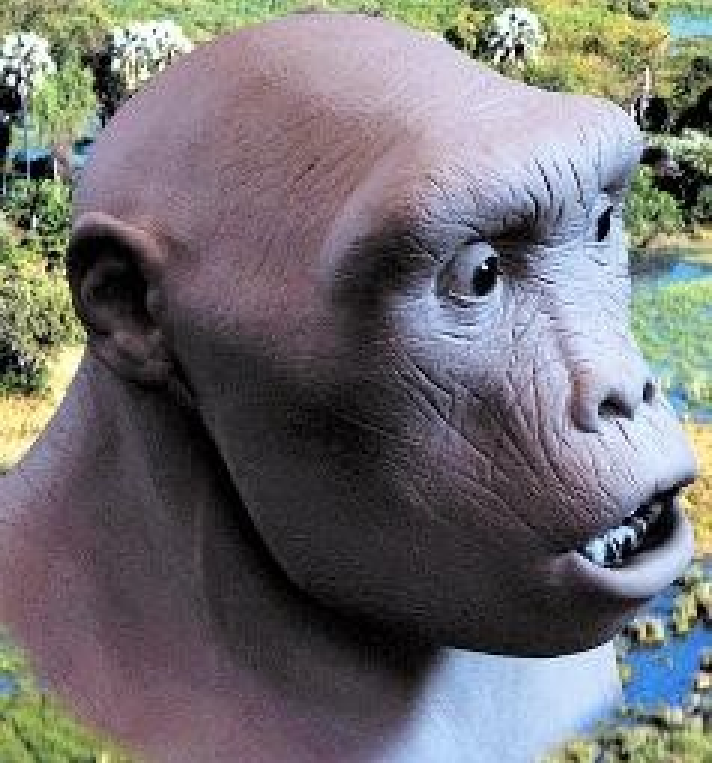
Tudge C., *The variety of Life*, 2000



***Proconsul*, hominoid, 18 Ma – stadium vedoucí k hominidům**



Pierolapithecus catalaunicus, nedávno objevený hominid, 13 Ma, pozice blízko štěpení lidoopů



Sahelanthropus tchadensis

„Toumai“

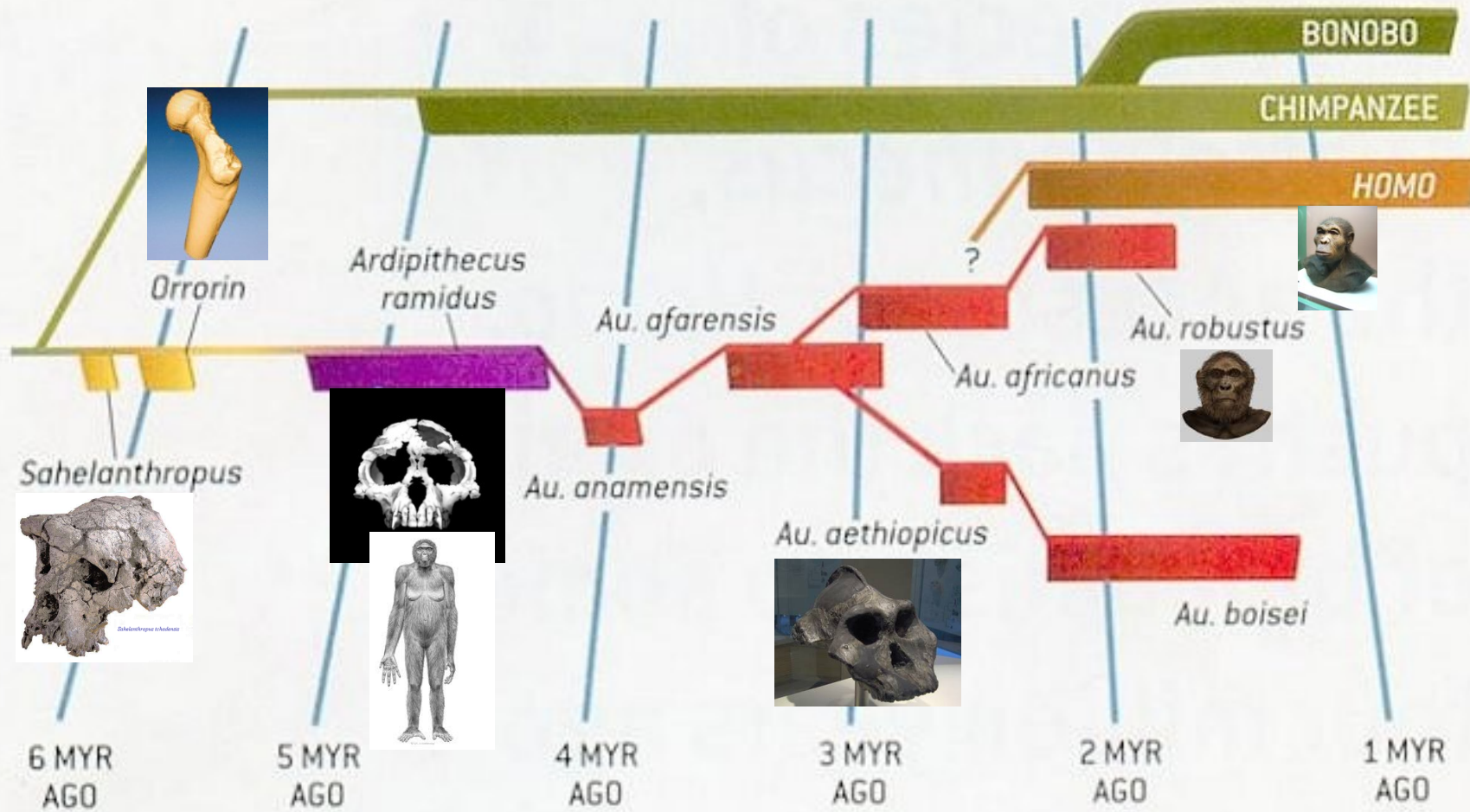
***Sahelanthropus*, hominidní znaky: řezáky
a dolní tvář, záp. břeh jezera Čad, 6.5 Ma
mozek ~ 380 cm²**



femur



***Orrorin tugenensis*, 6 Ma, první bipédní (?) hominid – viz femur
(= úsvit podčeledi Homininae)**



FAMILY TREE of the hominid *Australopithecus* (red) includes a number of species that lived between roughly 4 million and 1.25 million years (Myr) ago. Just over 2 Myr ago a new genus, *Homo* (which includes our own species, *H. sapiens*), evolved from one of the species of *Australopithecus*.

Klimatická hypotéza – východoafrický rift, vznik S-J pohoří, rozdělení populací hominidů na východní a západní, na Z ústup deštných pralesů a vznik savan = bipedie a vývoj k *Homo*, na Z pralesy a šimpanzi zůstávají na stromech (ovšem *Ardipithecus* je nalézán i v lesních společenstvech)

2 různé strategie pro život v savaně

Paranthropus -

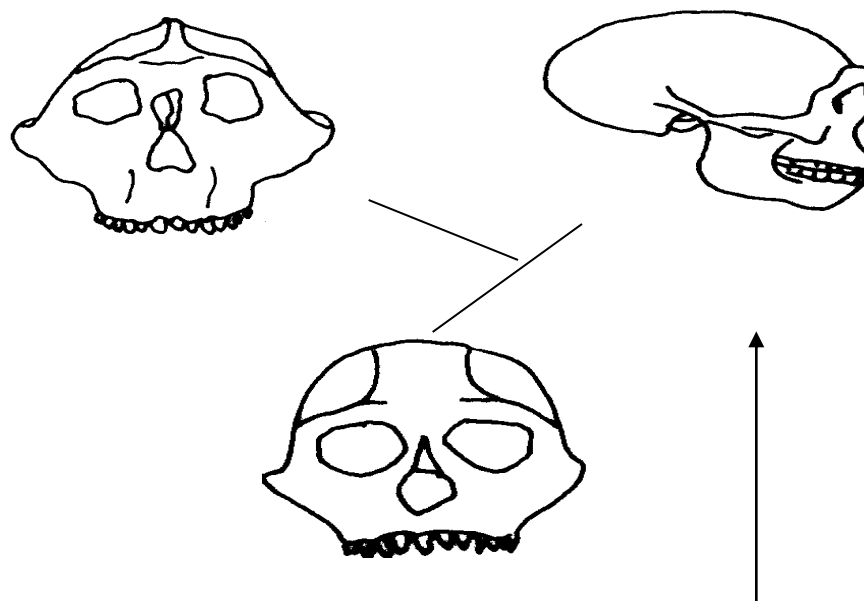
robustní

australopitekus

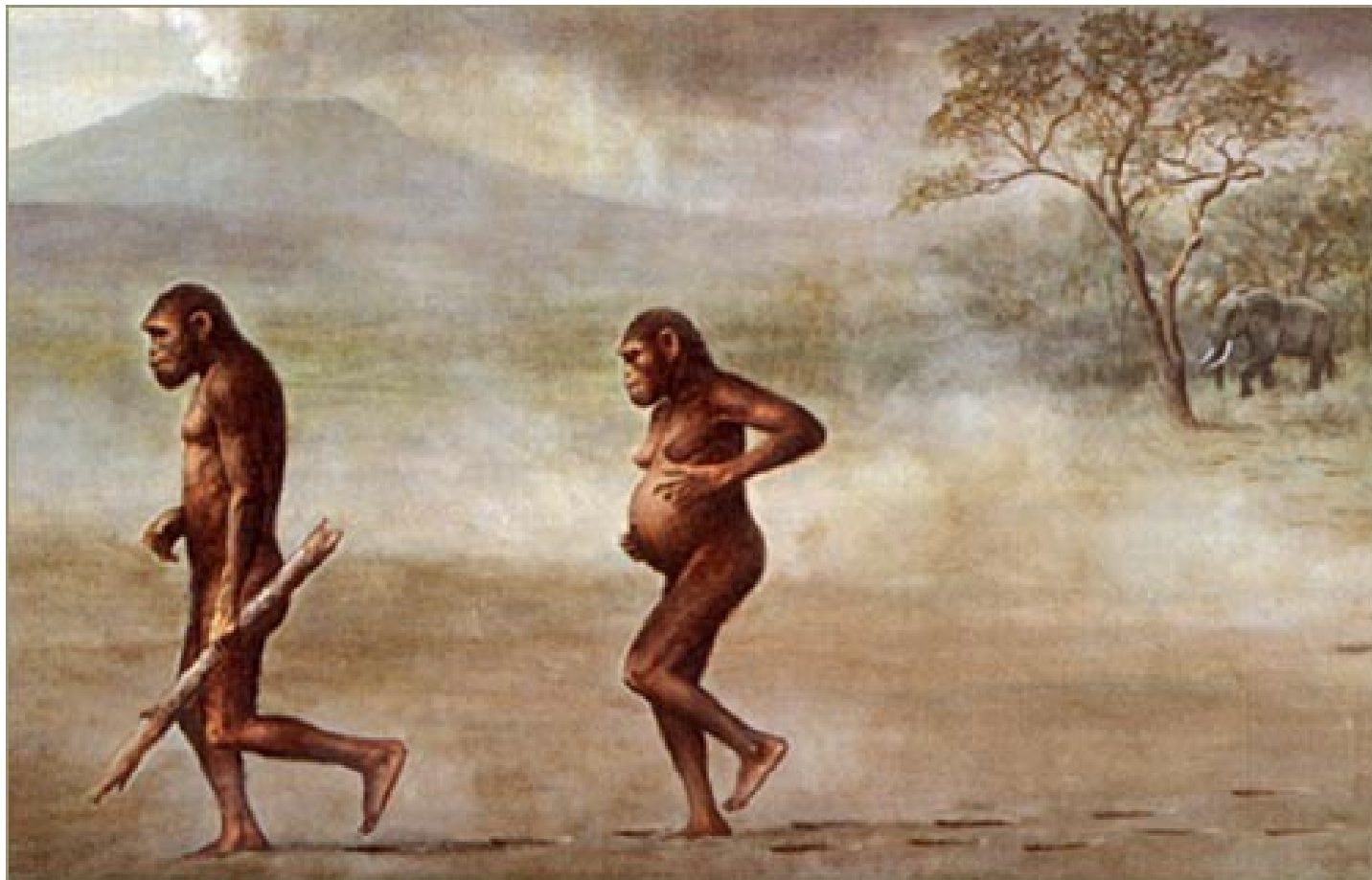
hledání nekvalitní potravy,
velké tělo, masivní lebka a
čelisti

Homo -

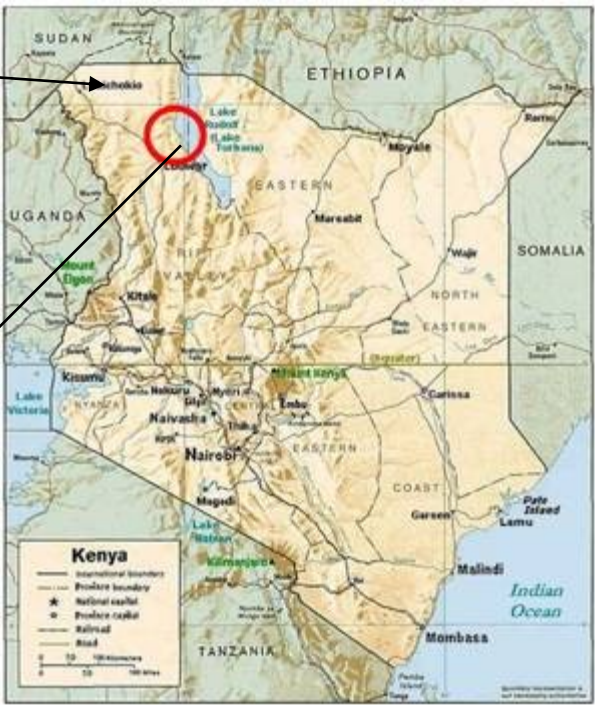
hledání kvalitní potravy,
maso, hlízy,
velký mozek, rozsáhlé
používání nástrojů



Australopithecus afarensis



Australopithecus afarensis



Kenyanthropus platyops

Kenya (potrava: traviny, jejich semena i oddenky a podobně),



Surface terrain nearby the *sediba* site



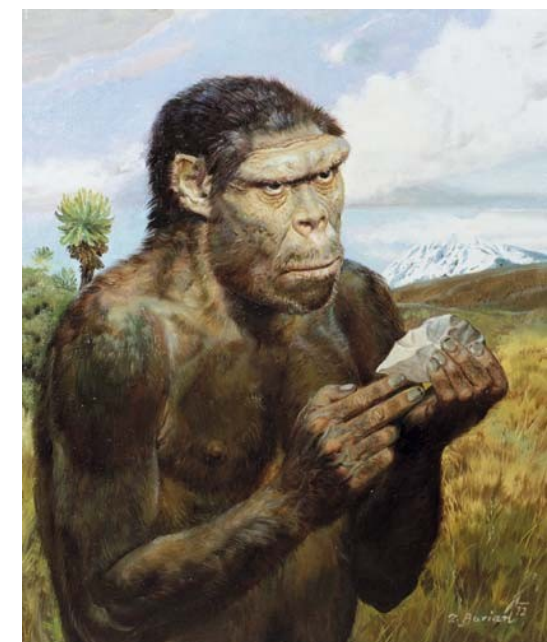
Australopithecus sediba (viz dále)



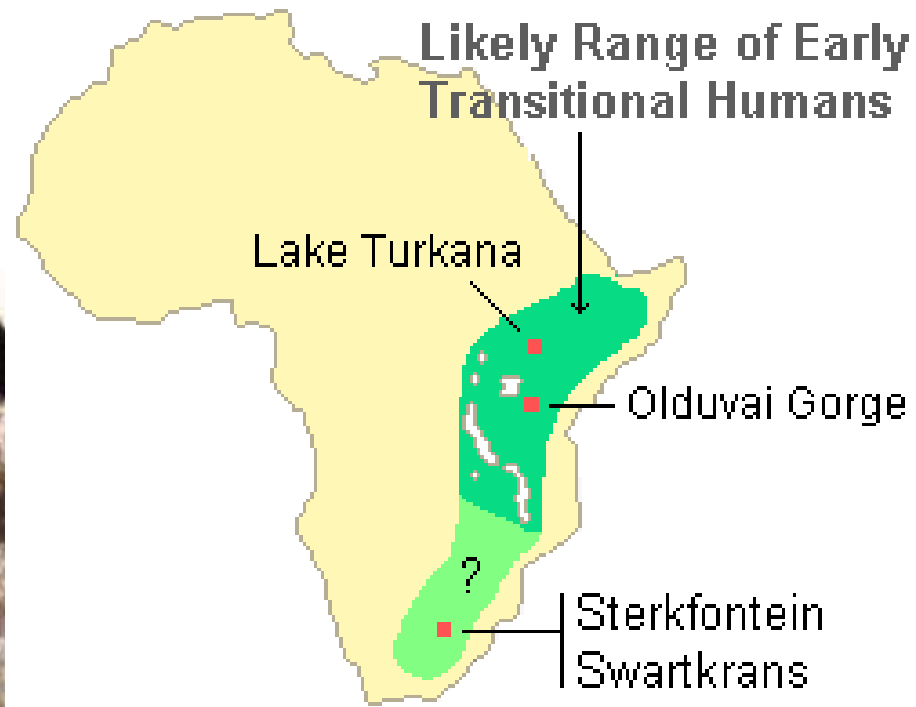
„*Paranthropus*“ *aethiopicus*



*Australopithecus (Paranthropus)
robustus*



Homo erectus



Likely Range of Early
Transitional Humans

Lake Turkana

Olduvai Gorge

?

Sterkfontein
Swartkrans

Australopithecus sediba. A New Species of Homo-Like Australopith from South Africa

Lee R. Berger,^{1,2*} Darryl J. de Ruiter,^{3,2} Steven E. Churchill,^{4,2} Peter Schmid,^{5,2} Kristian J. Carlson,^{3,6} Paul H. G. M. Dirks,^{2,7} Job M. Kibii¹

Despite a rich African Plio-Pleistocene hominin fossil record, the ancestry of *Homo* and its relation to earlier australopithecines remain unresolved. Here we report on two partial skeletons with an age of 1.95 to 1.78 million years. The fossils were encased in cave deposits at the Malapa site in South Africa. The skeletons were found close together and are directly associated with craniodental remains. Together they represent a new species of *Australopithecus* that is probably descended from *Australopithecus africanus*. Combined craniodental and postcranial evidence demonstrates that this new species shares more derived features with early *Homo* than any other australopith species and thus might help reveal the ancestor of that genus.

The origin of the genus *Homo* is widely debated, with several candidate ancestors being proposed in the genus *Australopithecus* (*1–3*) or perhaps *Kenyanthropus* (*4*). The earliest occurrence of fossils attributed to *Homo* (*H. aff. H. habilis*) is 2.33 million years ago (Ma) in Ethiopia (*5*) makes it temporally antecedent to all other known species of the genus *Homo*. Within early *Homo*, the hypodigms and phylogenetic relationships between *H. habilis* and another early species, *H. rudolfensis*, remain unresolved (*6–8*), and the placement of these species within *Homo* has been challenged (*9*). *H. habilis* is generally thought to be the ancestor of *H. erectus* (*10–13*), although this might be questioned on the basis of the considerable temporal overlap that existed between them (*14*). The identity of the direct ancestor of the genus *Homo*, and thus its link to earlier *Australopithecus*, remains controversial. Here we describe two recently discovered, directly associated, partially articulated *Australopithecus* skeletons from the Malapa site in South Africa, which allow us to investigate several competing hypotheses regarding the ancestry of *Homo*. These skeletons cannot be accommodated within any existing fossil taxon; thus, we establish a new species, *Australopithecus sediba*, on the basis of a com-

Etymology. The word *sediba* means “fountain” or “wellspring” in the seSotho language.

Holotype and paratype. Malapa Hominin 1 (MH1) is a juvenile individual represented by a partial cranium, fragmented mandible, and partial postcranial skeleton that we designate as the species holotype [Figs. 1 and 2, supporting online material (SOM) text S1, figs. S1 and S2, and table S1]. The first hominin specimen recovered from Malapa was the right clavicle of MH1 (UW88-1), discovered by Matthew Berger on 15 August 2008. MH2 is an adult individual represented by isolated maxillary teeth, a partial mandible, and partial postcranial skeleton that we designate as the species paratype. Although MH1 is a juvenile, the second molars are already erupted and in occlusion. Using either a human or an ape model, this indicates that MH1 had probably attained at least 95% of adult brain size (*15*). Although additional growth would have occurred in the skull and skeleton of this individual, we judge that it would not have appreciably altered the morphology on which this diagnosis is based.

Locality. The two *Au. sediba* type skeletons were recovered from the Malapa site (meaning “homestead” in seSotho), situated roughly 15 km NNE of the well-known sites of Sterkfontein, Swartkrans, and Kromdraai in Gauteng Province, South Africa. Detailed information regarding geology and dating of the site is in (*16*).

bination of primitive and derived characters of the cranium and postcranium.

The following is a description of *Au. sediba*: Order Primates Linnaeus 1758; suborder Anthropoidea Mivart 1864; superfamily Hominoidea Gray 1825; family Hominidae Gray 1825; genus *Australopithecus* Dart 1925; species *Australopithecus sediba* sp. nov.

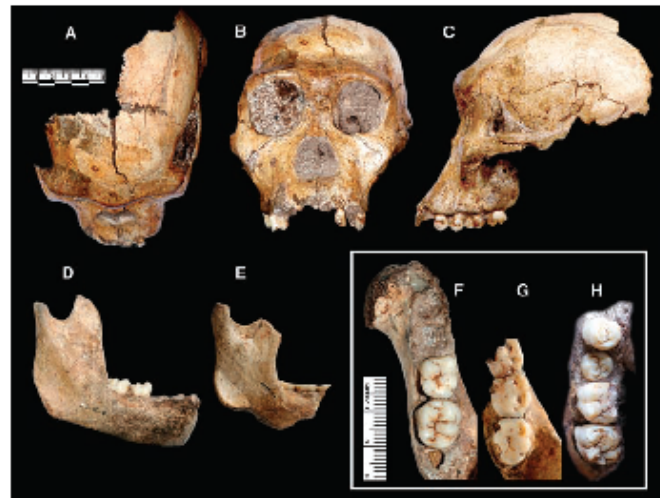


Fig. 1. Craniodental elements of *Au. sediba*. UW88-50 (MH1) juvenile cranium in (A) superior, (B) frontal, and (C) left lateral views. (D) UW88-8 (MH1) juvenile mandible in right lateral view, (E) UW88-54 (MH2) adult mandible in right lateral view, (F) UW88-8 mandible in occlusal view, (G) UW88-54 mandible in occlusal view, and (H) UW88-50 right maxilla in occlusal view (scale bars are in centimeters).

*Institute for Human Evolution, University of the Witwatersrand, Private Bag 3, Wits 2050, South Africa. †School of Geosciences, University of the Witwatersrand, Private Bag 3, Wits 2050, South Africa. ‡Department of Anthropology, Texas A&M University, College Station, TX 77843, USA. §Department of Evolutionary Anthropology, Box 90383, Duke University, Durham, NC 27708, USA. ¶Anthropological Institute and Museum, University of Zürich, Winterthurerstrasse 190, CH-8057 Zürich, Switzerland.

**Department of Anthropology, Indiana University, Bloomington, IN 47405, USA. ¶School of Earth and Environmental Sciences, James Cook University, Townsville, Queensland 4811, Australia.

To whom correspondence should be addressed. E-mail: protobrger@yahoo.com

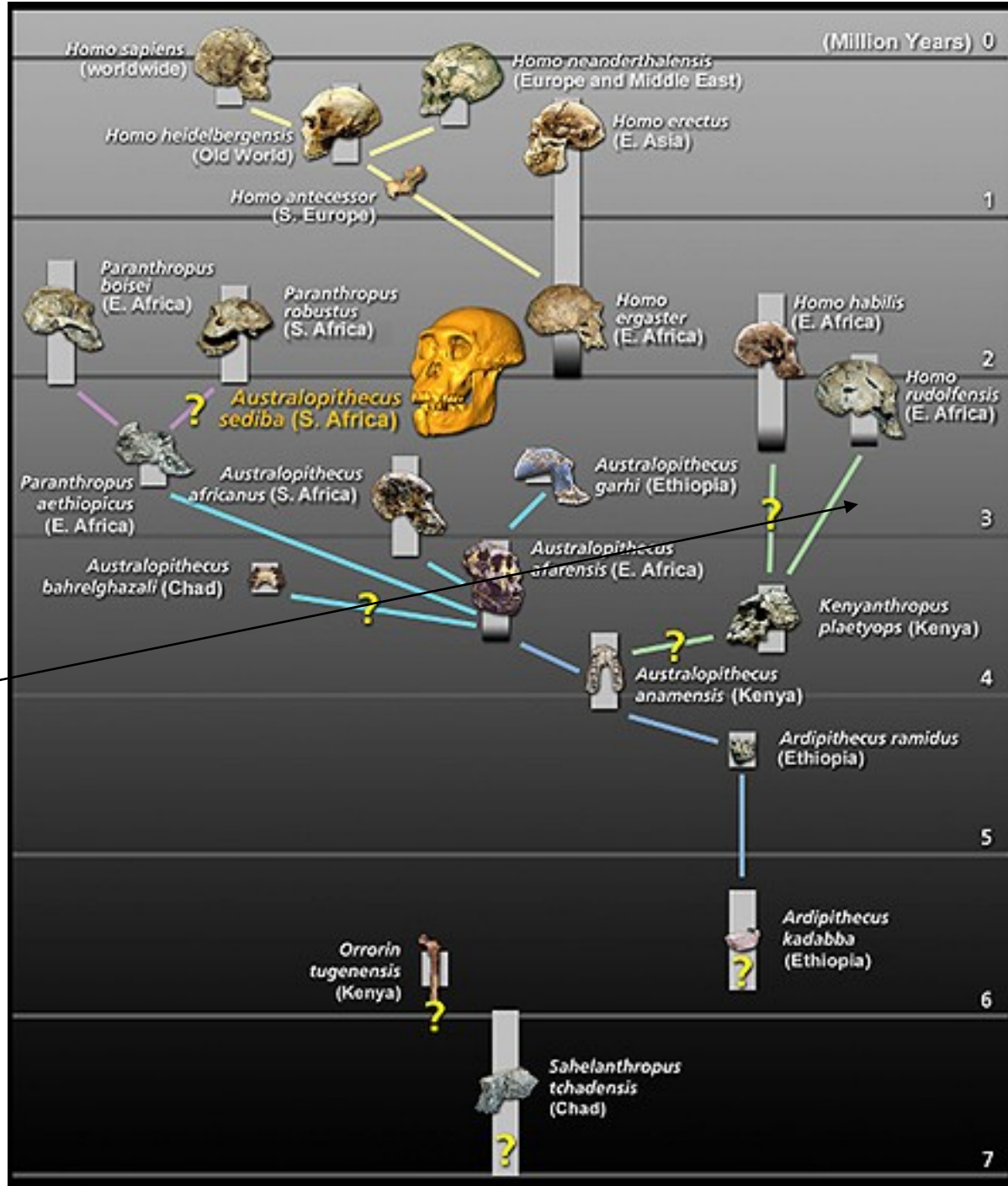
1,95–1,78 Ma

Stable carbon isotope, and dental microwear texture data for two individuals of *Au. sediba*, 2-million-year-old hominins from South Africa, show that they consumed a mostly C3 diet that probably included harder foods, and both dicotyledons (for example, tree leaves, fruits, and wood or bark) and monocotyledons (for example, grasses and sedges); this diet contrasts with previously described diets of other early hominin species.

Downloaded from www.sciencemag.org on April 10, 2010

Další z možných interpretací vývoje hominidů (Samadhi 2014)

Viz nové nálezy
u Ledi Geraru, 2.8 Ma





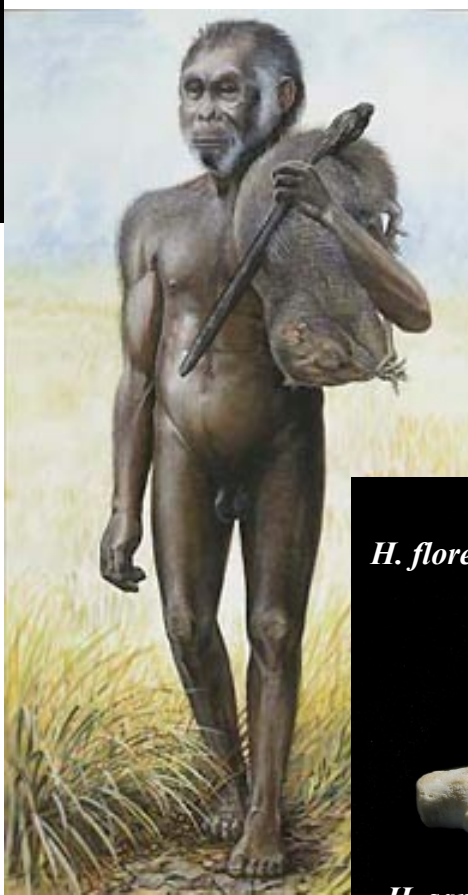
H. floresiensis

H. sapiens

Homo floresiensis – vymírá před 12. 000 lety !

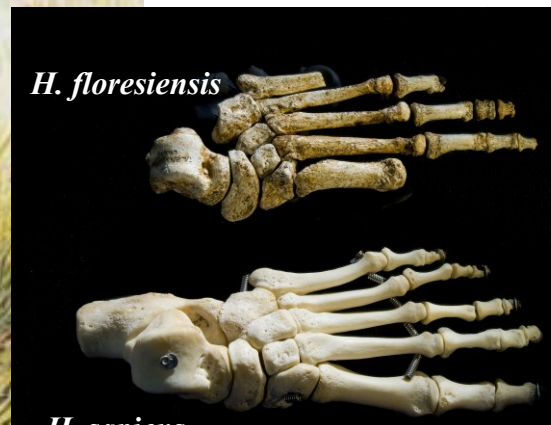
Názory:

- ? trpasličí forma větve *Homo erectus*
- ? trpasličí forma *H. sapiens*
- nebo kreténská forma *H. sapiens* –
(hypothyreoidismus, nannocephalie))
- samostatný druh (viz kosti chodidla vpravo)



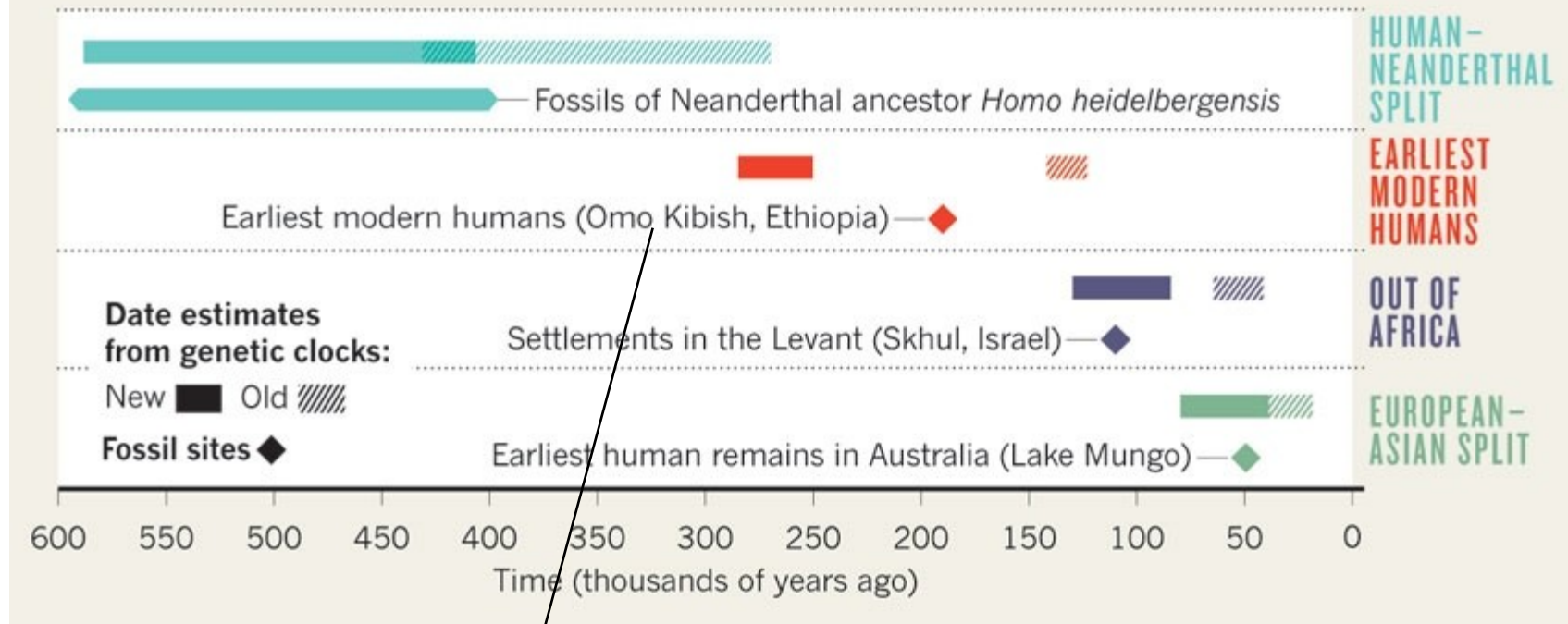
H. floresiensis

H. sapiens



BETTER AGREEMENT OVER THE HUMAN STORY

Dates estimated from DNA evidence conflicted with those from fossil sites that document key events in prehistory, but dates gained using a slower DNA clock are resolving some conflicts.



Údaje genetiků a paleoantropologů se sbližují



lokalita



Lebka *H. sapiens*

Omo Kibish, Etiopie

Nature 489, 7416, 2012

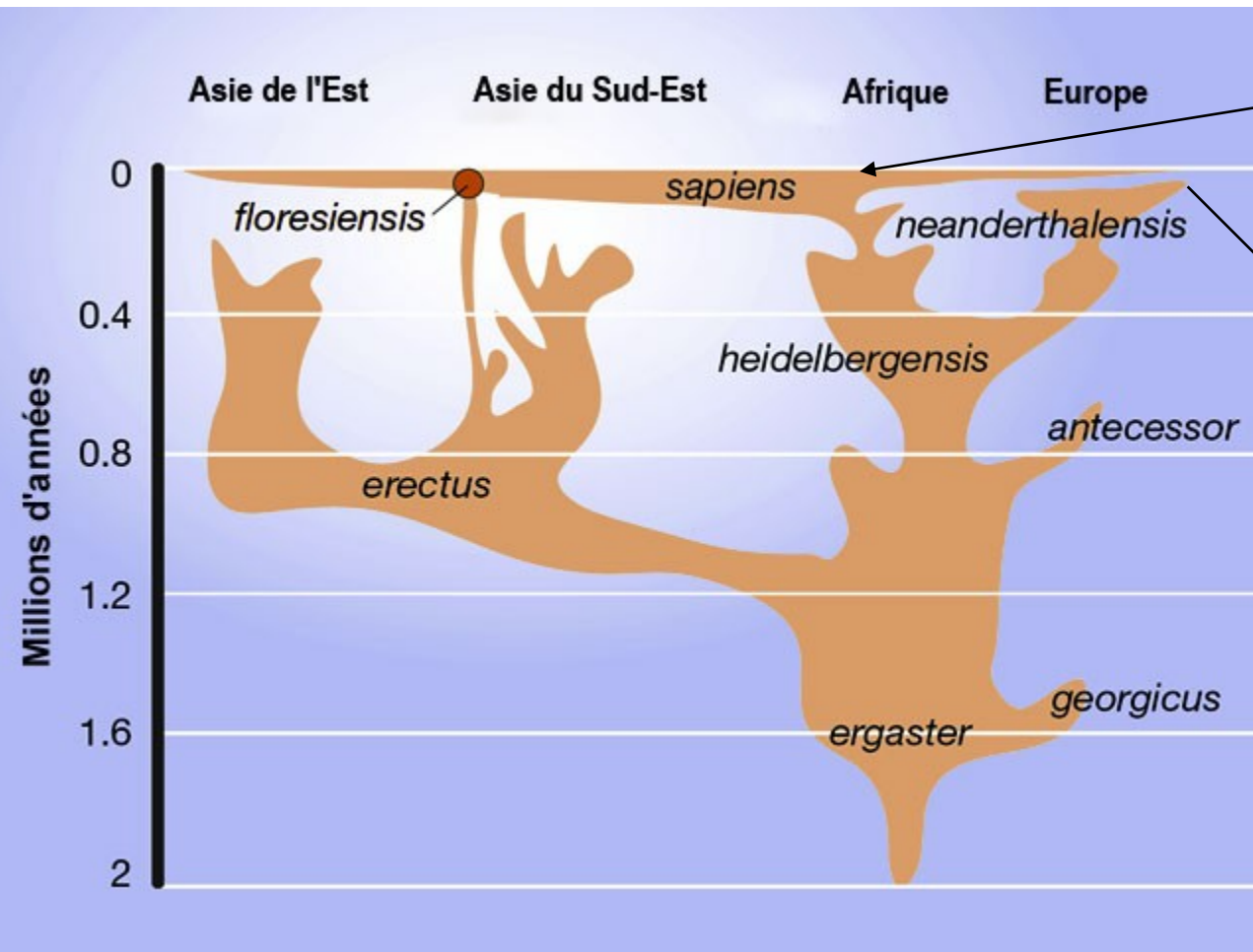


Figure 1. *Homo floresiensis* in the context of the evolution and dispersal of the genus *Homo*.

a, The new species as part of the Asian dispersals of the descendants of *H. ergaster* and *H. erectus*, with an outline of the descent of other *Homo* species provided for context.

b, The evolutionary history of *Homo* is becoming increasingly complex as new species are discovered. *Homo floresiensis* (left) is believed¹ to be a long-term, isolated descendant of Javanese *H. erectus*, but it could be a recent divergence. 1, *H. ergaster/African erectus*; 2, *georgicus*; 3, Javanese and Chinese *erectus*; 4, *antecessor*; 5, *cepranensis*; 6, *heidelbergensis*; 7, *helmei*; 8, *neanderthalensis*; 9, *sapiens*; 10, *floresiensis*. Solid lines show probable evolutionary relationships; dashed lines, possible alternatives.

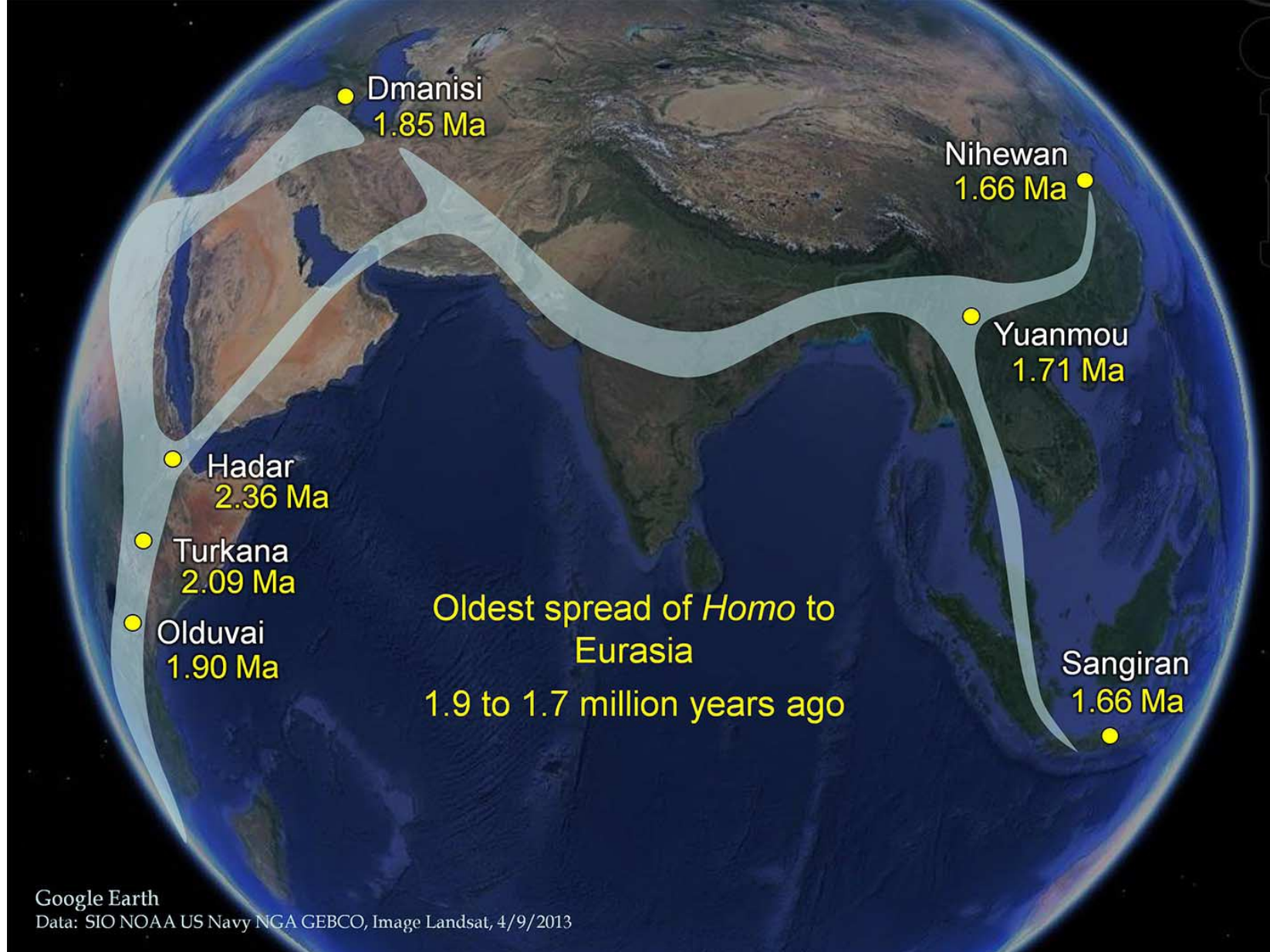


Fig. 2. Key sites and first appearances in the dispersal of early *Homo* from Africa.

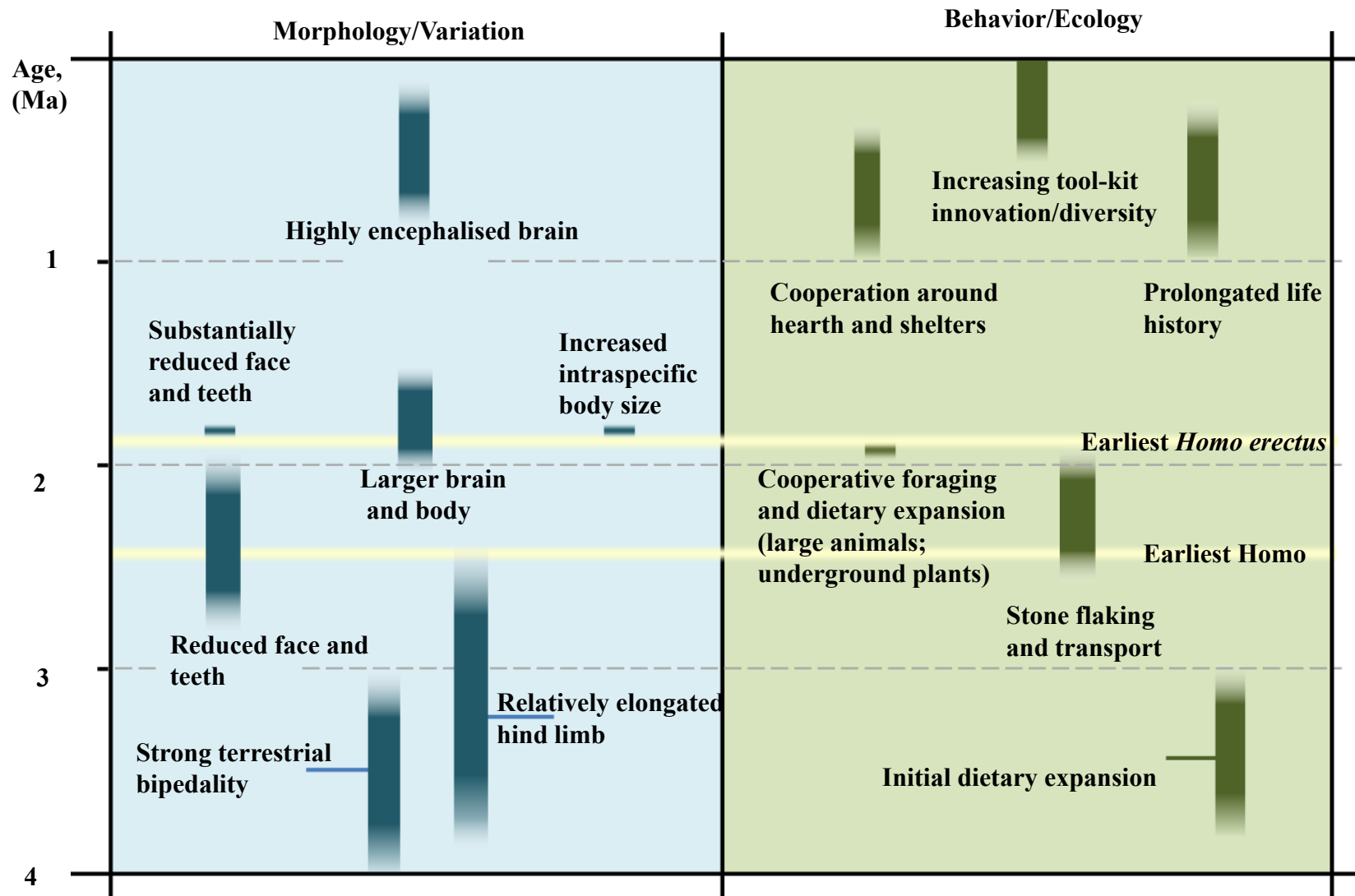


Fig. 3. Evolutionary timeline of important anatomical, behavioral, and life history characteristics that were once thought to be associated with the origin of the genus *Homo* or earliest *H. erectus*.

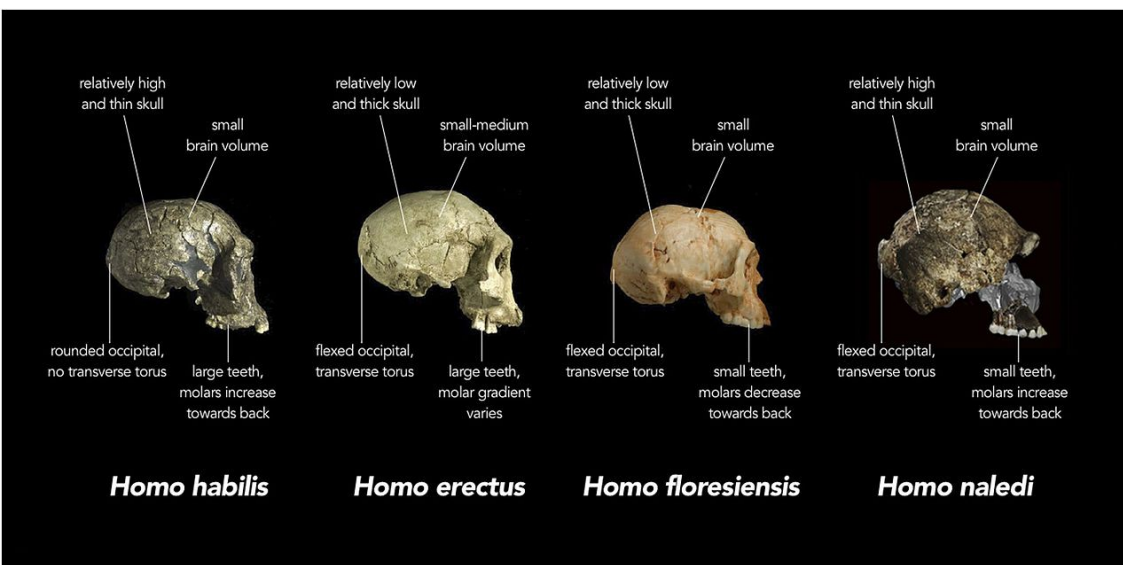
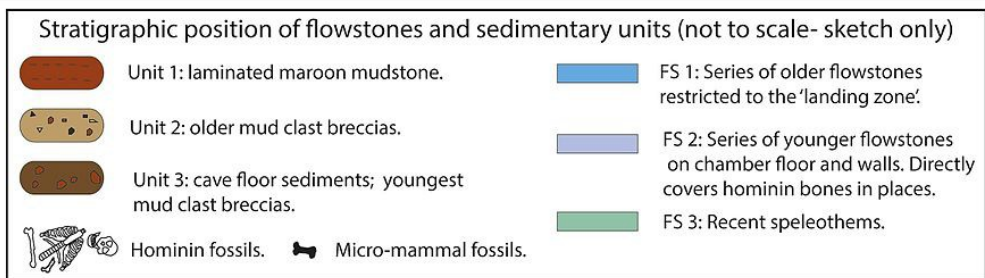
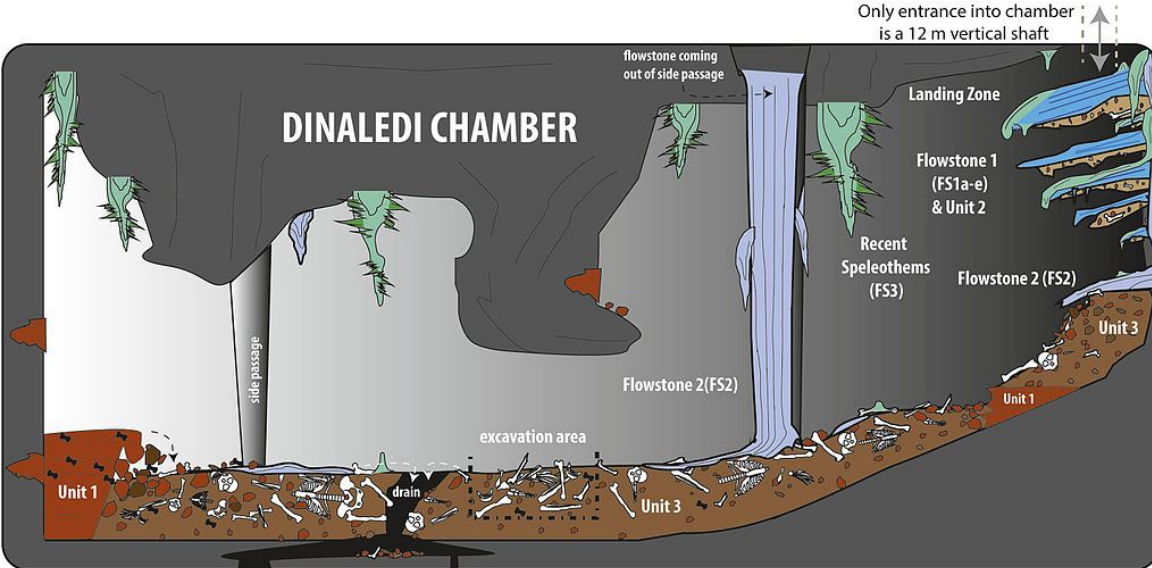
Homo



LD 350-1 is a fossil [hominin mandible](#) fragment discovered in 2013 at the Ledi-Geraru site. It was stratigraphically dated to 2.80 to 2.75 million years old



The oldest known fossil of our genus comes from an evolutionary hotspot in Ethiopia, a place already known as home of *Australopithecus* (Lucy), the oldest stone tools and younger *Homo* species.
Ledi-Geraru, 2.8 Ma (samozřejmě s velkou debatou)



Homo naledi, 45 kg, 150 cm, bipedální, pánev a ramena cca Australop., nohy spíše Homo, stáří - asi mladší než 3 Ma, ?? Nejstarší Homo, slepá vývojová větev ??, (Lee Berger 2013), V oblasti lokalit Swartkrans a Sterkfontain



Společná cesta Hn a Hs (~ 400, 000 let)

Figure 1 | Skull-shape differences. Structural differences in ancient skulls can illuminate evolutionary steps. Replica casts of the original skulls are shown. **a**, A skull found in Sima de los Huesos, Spain, that is around **430,000 years old**¹² is thought to represent an early form of Neanderthal. The Sima cranium exhibits some traits observed in more-recent Neanderthals, such as the characteristic Neanderthal brow-ridge shape, but also retains some more ancestral features not seen in later Neanderthals, such as a broader face and smaller average brain size. **b**, An approximately **60,000–40,000-year-old**¹⁶ skull from La Ferrassie, France, is an example of a late Neanderthal. **c**, Hublin *et al.*¹ and Richter *et al.*² report approximately **350,000–280,000-year-old** fossils from Jebel Irhoud in Morocco that could represent an early stage in *Homo sapiens* evolution. The facial shape of a Jebel Irhoud fossil previously discovered at the site⁵ shows similarities to the structure of more-modern humans, such as the presence of delicate cheekbones. However, the shape of the braincase (the section of the skull enclosing the brain) is archaic in form, and has an elongated shape that is less globular than the structure of more-modern *H. sapiens*. **d**, An approximately **20,000-year-old**¹⁶ *H. sapiens* fossil from Abri Pataud, France, has a globular braincase. Scale bar, 5 cm.



zuby (stol., třen.)

lokalizace



Homo luzonensis
(Filipiny, 3 jedinci, 50 000 let,
velikost – hobit)

článek prstu (noha)

We identified a mosaic of features including facial, mandibular and dental morphology that aligns the Jebel Irhoud material with early or recent anatomically modern humans and more primitive neurocranial and endocranial morphology. In combination with an age of 315 ± 34 thousand years (as determined by thermoluminescence dating)³, this evidence makes Jebel Irhoud the oldest and richest African Middle Stone Age hominin site that documents early stages of the *H. sapiens* clade in which key features of modern morphology were established. Furthermore, it shows that the evolutionary processes behind the emergence of *H. sapiens* involved the whole African continent.

New fossils from Jebel Irhoud, Morocco and the pan-African origin of *Homo sapiens*

Nature
546,
289–292
(08 June 2017)

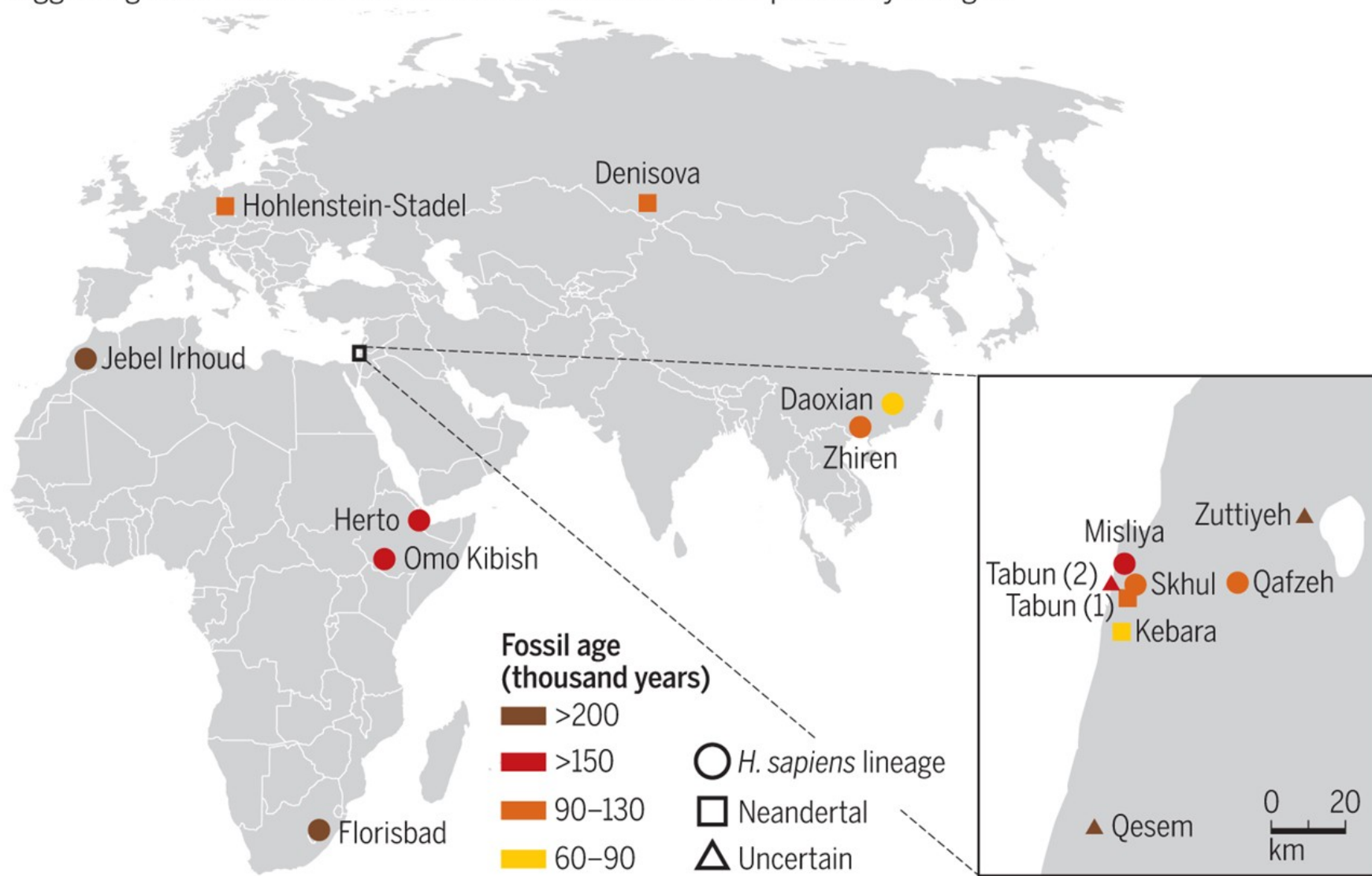


Misilia Cave (Israel) – *Homo sapiens*, 177-194.000 let (nejstarší nález mimo Afriku!!!!)

Nature (2018)

Earliest modern human migrations from Africa

Hershkovitz *et al.* report an age of ~180,000 years for a modern human fossil from Misliya in Israel, suggesting that modern humans left Africa much earlier than previously thought.



Použité prameny:

- Benton, M.J., 1997: Vertebrate Palaeontology. – Chapman & Hall, pp.452. London.
- Courtillot, V., 1999: Evolutionary Catastrophes, The Science of Mass Extinction. – Cambridge University Presss, pp.173, Cambridge (UK).
- Gould J.S. (ed.), 1998: Dějiny planety Země. – Knižní klub, Columbus, pp. 256, Praha.
- Hallam, A., Wignall, P.B., 1997: Mass Extinctions and their Aftermath. – Oxford Univ. Press, pp. 320. Oxford.
- Kalvoda, J., Bábek, O., Brzobohatý, R., 1998: Historická geologie. – UP Olomouc, pp. 199. Olomouc.
- Lovelock, J., 1994: Gaia, živoucí planeta. – MF, MŽP ČR, Kolumbus 129, pp. 221. Praha.
- Margulisová, L., 2004: Symbiotická planeta, nový pohled na evoluci. – Academia, pp. 150. Praha.
- Paturi, F. X., 1995: Kronika Země. - Fortuna Print, pp. 576. Praha
- Pálfy, J., 2005: Katastrophen der Erdgeschichte – globales Aussterben ? – Schweizerbart. Ver. (Nägele u. Obermiller), pp. 245, Stuttgart.
- Pokorný, V. a kol., 1992: Všeobecná paleontologie. – UK Praha, pp. 296. Praha.
- Raup, D.M., 1995: O zániku druhů. – Nakl. LN, pp.187. Praha.

Internet – různé databáze (především obrazová dokumentace)

Plutonium from atomic weapons testing, found in soil beginning in 1951, could mark the Anthropocene.

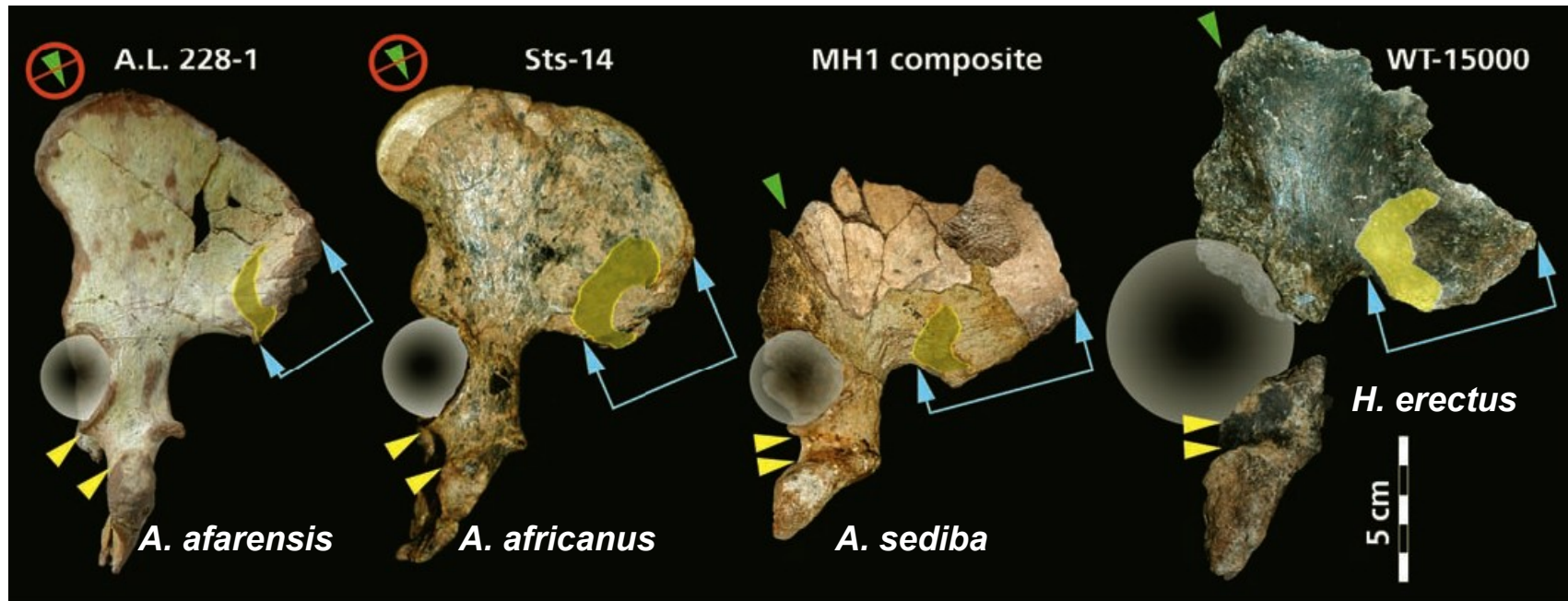


Fig. 4. Representative ossa coxae, in lateral view, from left to right, of *Au. afarensis* (AL 228-1), *Au. africanus* (Sts 14), *Au. sediba* (MH1), and *H. erectus* (KNM-WT 15000). The specimens are oriented so that the iliac blades all lie in the plane of the photograph (which thus leads to differences between specimens in the orientation of the acetabula and ischial tuberosities). MH1 possesses derived, Homo-like morphology compared to other australopithecines, including a relative reduction in the weight transfer distance from the sacroiliac (yellow) to hip (circle) joints; expansion of the retroauricular surface of the ilium (blue arrows) (determined by striking a line from the center of the sphere representing the femoral head to the most distant point on the posterior ilium; the superior arrow marks the terminus of this line, and the inferior arrow marks the intersection of this line with the most anterior point on the auricular face); narrowing of the tuberoacetabular sulcus (delimited by yellow arrows); and pronunciation of the acetabulocristal (green arrows) and acetabulosacral buttresses.

www.sciencemag.org SCIENCE VOL 328 9 APRIL 2010 203

RESEARCH ARTICLES

Downloaded from www.sciencemag.org



Femur *A. afarensis*



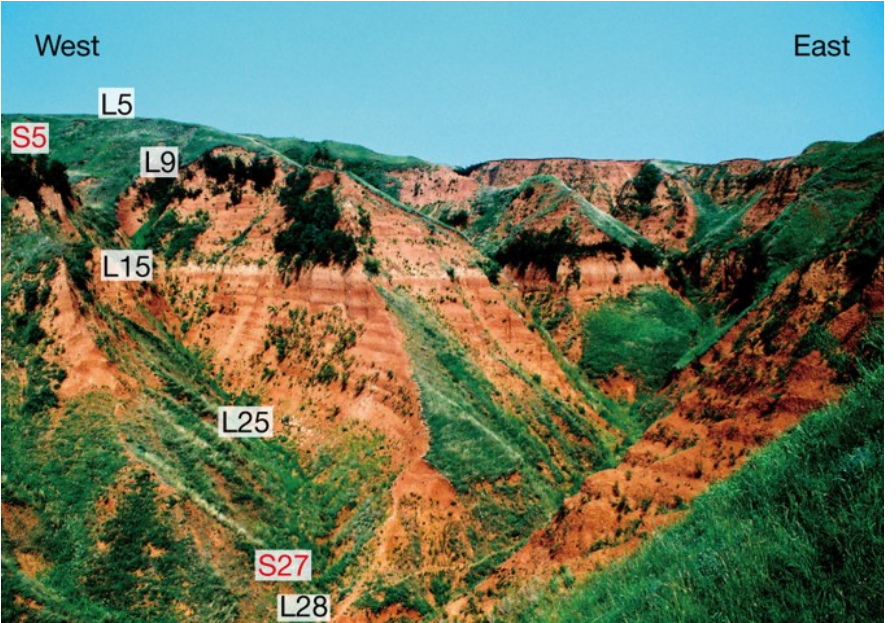
Korálky (náhrdelník z mušlí) staré 44 000 let, Jižní Afrika.

Evidence for symbolic behaviour, such as shell beads, appeared at least 80,000 years ago in southern Africa. This behaviour then seemingly disappeared and did not return until roughly 20,000 years ago — when humans with cultural links to modern San hunter-gatherers began to produce engraved bones and other complex artefacts.

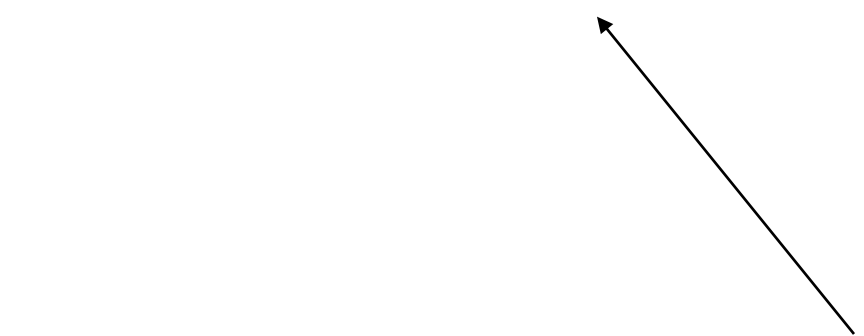


Homo sapiens, Misliya Cave (Israel), 177-194 Ka, nejstarší nález mimo Afriku

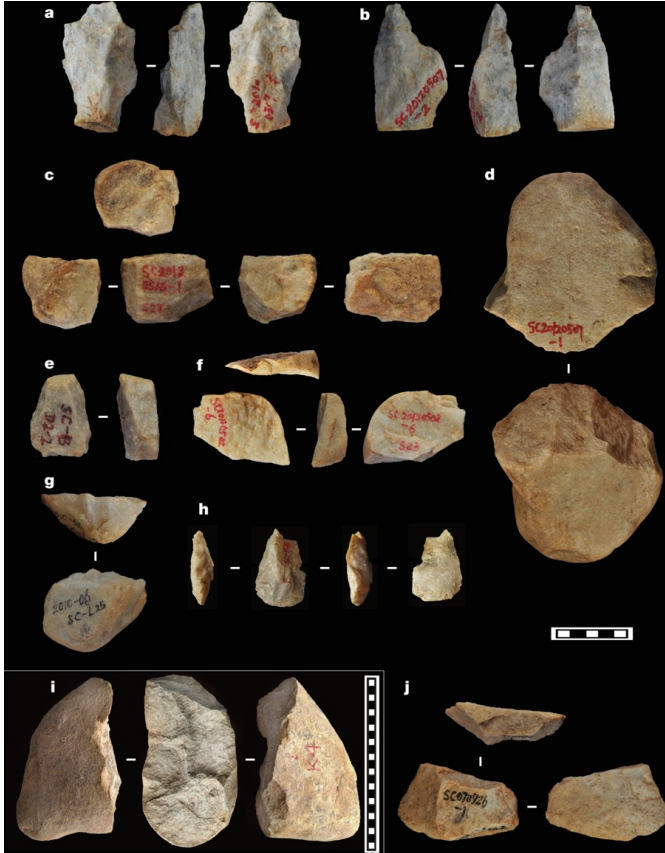
Their team discovered the jaw fragment in 2002, in Misliya Cave, the highest of Mt Carmel's caves. It is just a few kilometres away from the Skhul cave, one of the sites where the 80,000–120,000-year-old remains were found in the 1920s and 1930s. Using several different methods, the team estimates the jaw and teeth to be 177,000–194,000 years old. (Nature 7684, 2018)

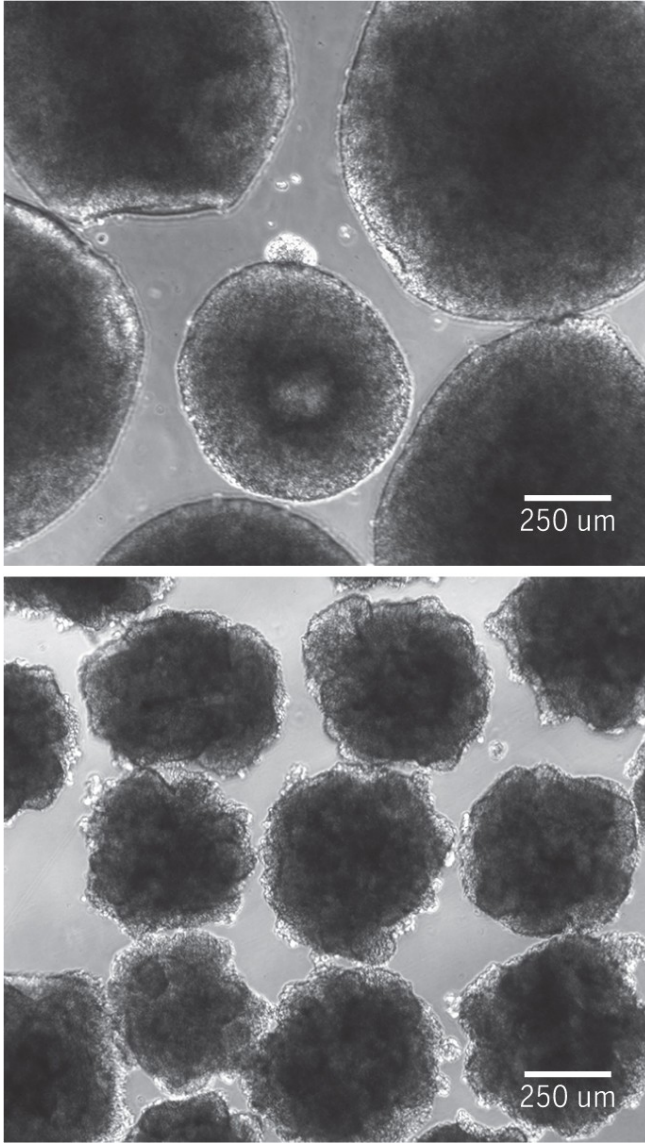


East



Stř. Čína – Čínské sprášové plató, Quin-Ling Mts., nástroje homininů, 2.1 Ma – nejstarší doklady mimo Afriku





Compared with brain organoids grown from ordinary human cells (top), those with a Neanderthal gene variant (bottom) differ in appearance and behavior